

■ Vue réaliste plein cadre - Champ visuel horizontal de l'image : 120°



■ Vue réaliste plein cadre - Champ visuel horizontal de l'image : 120°



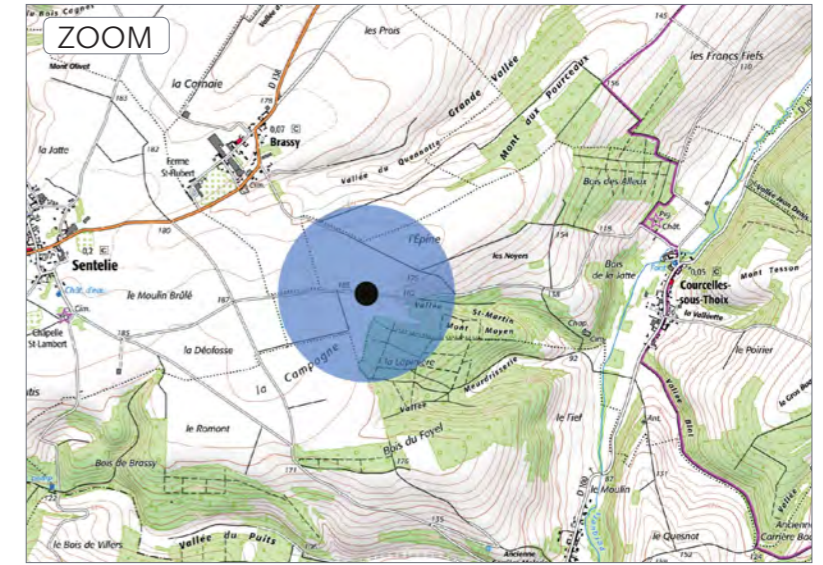
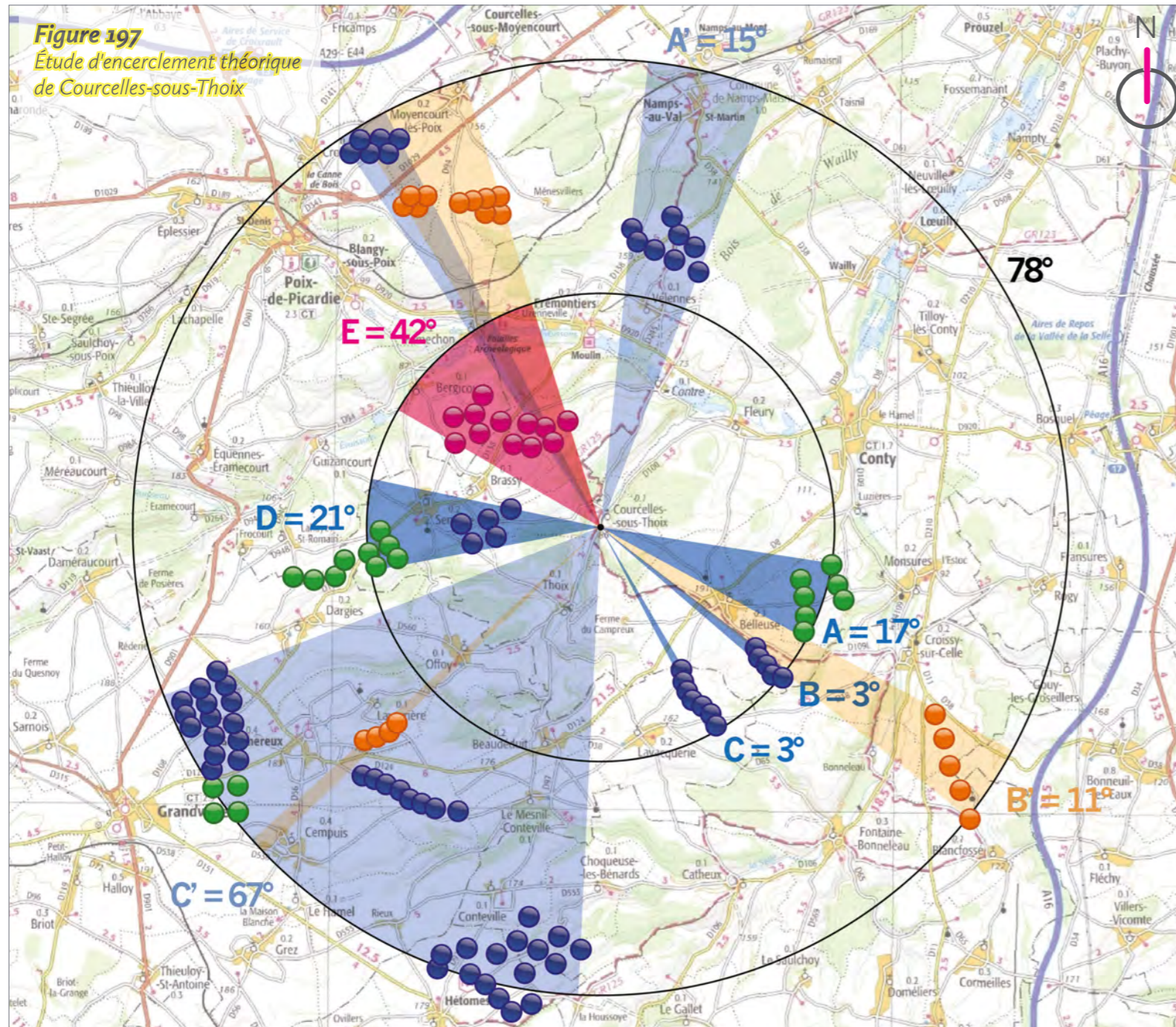
■ Vue réaliste plein cadre - Champ visuel horizontal de l'image : 120°



► PDV 15 Courcelles-sous-Thoix : à l'ouest par la route de Sentelie

Date de prise de vue	Focale (équ. 24x36)	Latitude	Longitude	Altitude (NGF)
14/01/2019	Panoramique 360°	N 49°43'18,5"	E 02°03'14,5"	183 m
Distance à l'éolienne projetée la plus proche	Distance à l'éolienne projetée la plus éloignée	Nombre d'éoliennes des projets visibles	Lieu	
E8 : 1,6 km	E5 : 2,8 km	12	COURCELLES-SOUS-THOIX - À l'ouest par la route de Sentelie	

Étude d'encerclement théorique



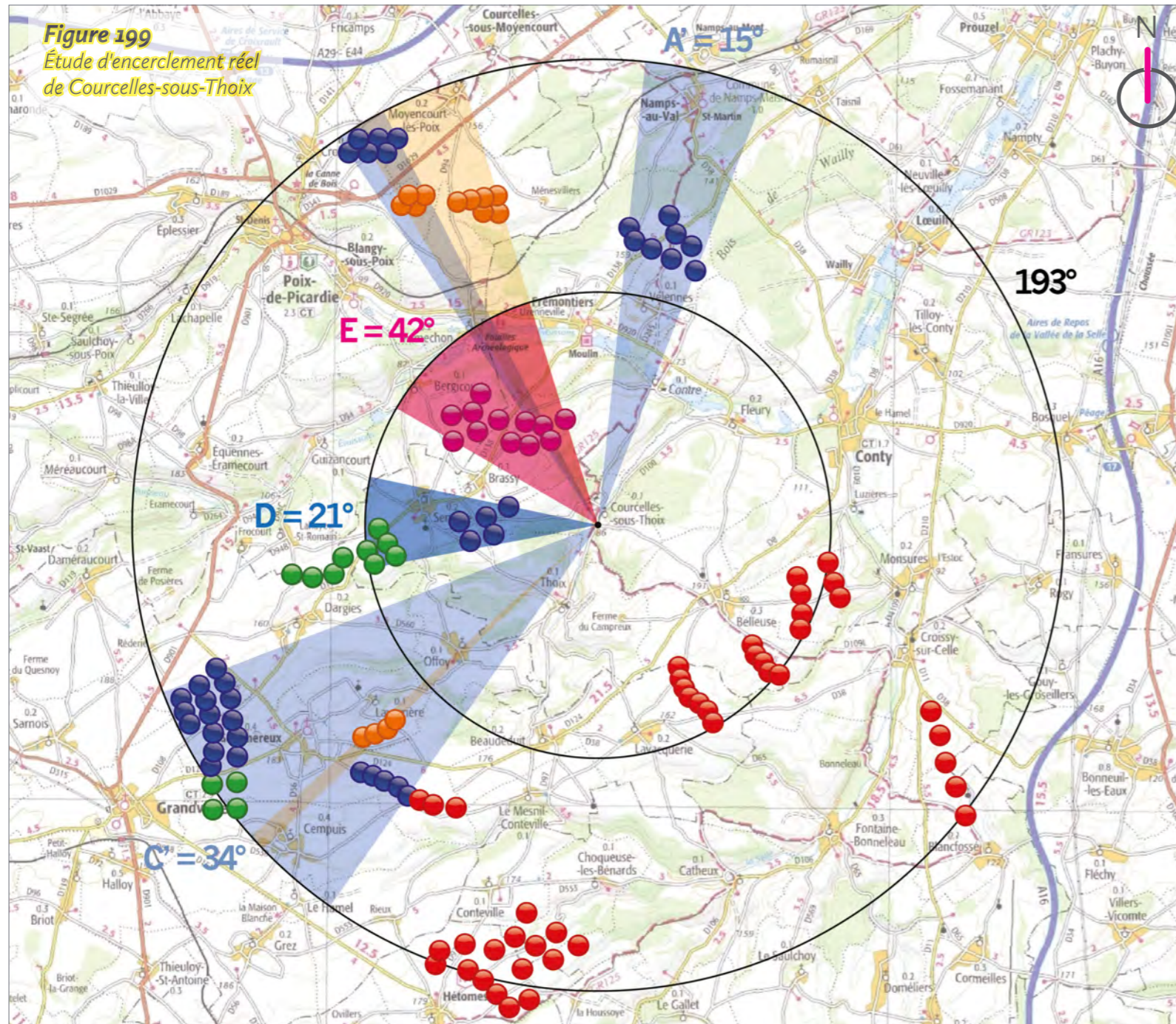
Commentaires

L'observateur se situe cette fois à l'ouest de Courcelles-sous-Thoix, en direction de Sentelie, sur une route locale. C'est la sortie éloignée du village puisque l'observateur a quitté la vallée des Parquets dans laquelle prend place le village. Les vues sont ouvertes car l'observateur se trouve désormais sur le même plateau que le site des projets. Seules les vues vers l'est sont fermées par la végétation de la vallée des Parquets.



Figure 198
Tableau de synthèse de l'étude d'encerclement théorique et réelle

Village étudié	Secteur angulaire du projet dans les 5 km	Indice de densité	Seuil d'alerte	Cumul angulaire	Seuil d'alerte	Plus grand espace de respiration	Seuil d'alerte
Courcelles-sous-Thoix théorique	42	0,25	Atteint	179	Atteint	78	Atteint
Courcelles-sous-Thoix réel	42	0,23	Atteint	112	En-dessous	193	En-dessous



Commentaires

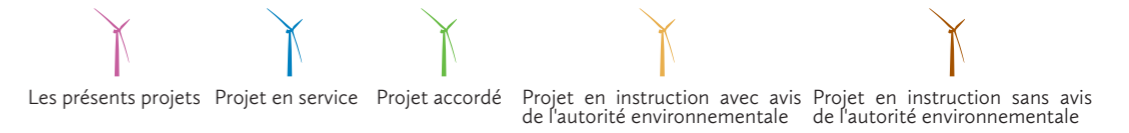
Depuis la sortie ouest de Courcelles-sous-Thoix, plusieurs parcs et projets éoliens sont masqués. Les éoliennes masquées, ou très peu incidentes, sont notées en rouge sur le diagramme ci-contre.

Dans le périmètre de 0 à 5 km, les secteurs A, B et C sont supprimés car les éoliennes du projet accordé de Monsures et celles des parcs construits de Lavacquerie et Belleuse sont masquées par le relief et la végétation. Le secteur D est conservé car les éoliennes du parc construit du Chemin de l'Ormelet et des projets accordés du Cornouiller du Routis sont toutes visibles depuis ce point de vue. Enfin, le secteur E est conservé car toutes les éoliennes des projets de Corbillon Est et Ouest sont visibles.

Dans le périmètre de 5 à 10 km, le secteur A' est conservé car les éoliennes du parc construit de Blanc Mont sont visibles depuis ce point de vue. Le secteur B' est supprimé car les éoliennes du projet en instruction avec avis d'AE de la Cressonnière sont masquées par le relief et la végétation. Le secteur C' est fortement réduit car les éoliennes des parcs construits du Mont Moyen, d'Hétomesnil et une partie de celles de Marendeuil sont masquées par la végétation.

Le tableau de synthèse de l'étude d'encerclement théorique et réelle (fig. 198) indique donc logiquement une baisse du cumul angulaire entre le théorique et le réel, passant de 179° à 112°, soit une baisse de 67°. Le plus grand angle de respiration augmente de 115°, passant de 78° à 193°. L'indice de densité diminue également.

L'étude d'encerclement théorique mettait en évidence un seuil d'alerte atteint pour les deux indicateurs importants (cumul angulaire et plus grand espace de respiration visuelle). Le cumul angulaire, qui était supérieur au seuil d'alerte de 120°, n'est plus atteint selon l'étude d'encerclement réel depuis ce point de vue. Il en est de même avec le plus grand espace de respiration visuelle, qui repasse sous le seuil d'alerte de 160°. Ainsi, le risque d'effet d'encerclement que mettait en évidence l'étude d'encerclement théorique n'existe pas d'après l'étude d'encerclement réel.



■ **Esquisse filaire plein cadre avec indexation du contexte - Champ visuel horizontal de l'image : 120°**



■ **Esquisse filaire plein cadre avec indexation du contexte - Champ visuel horizontal de l'image : 120°**



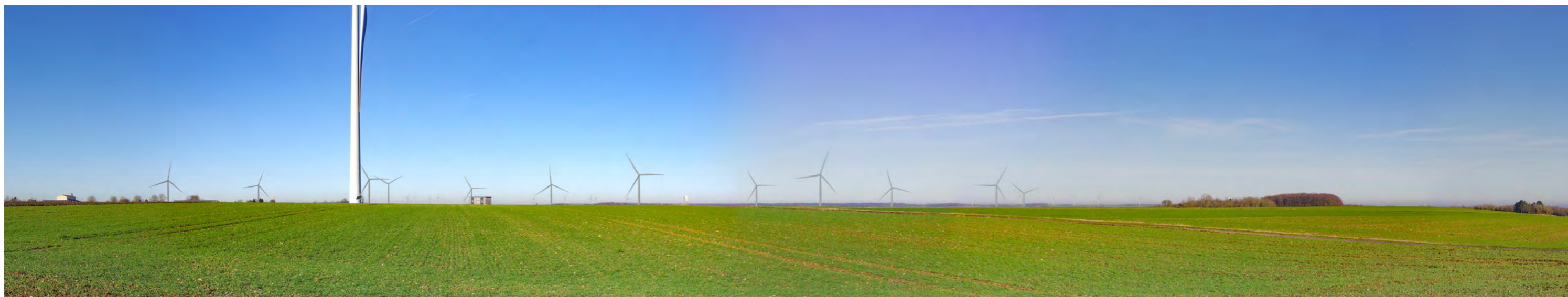
■ **Esquisse filaire plein cadre avec indexation du contexte - Champ visuel horizontal de l'image : 120°**



■ Vue réaliste plein cadre - Champ visuel horizontal de l'image : 120°



■ Vue réaliste plein cadre - Champ visuel horizontal de l'image : 120°



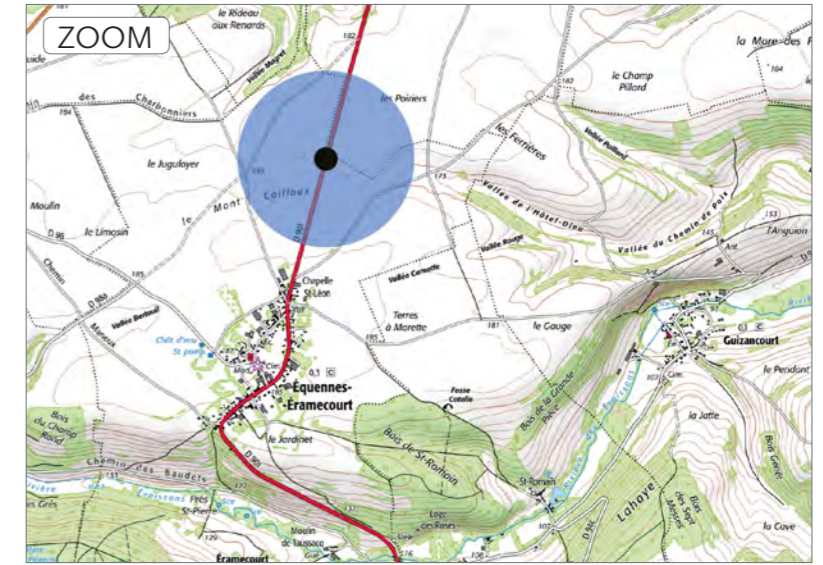
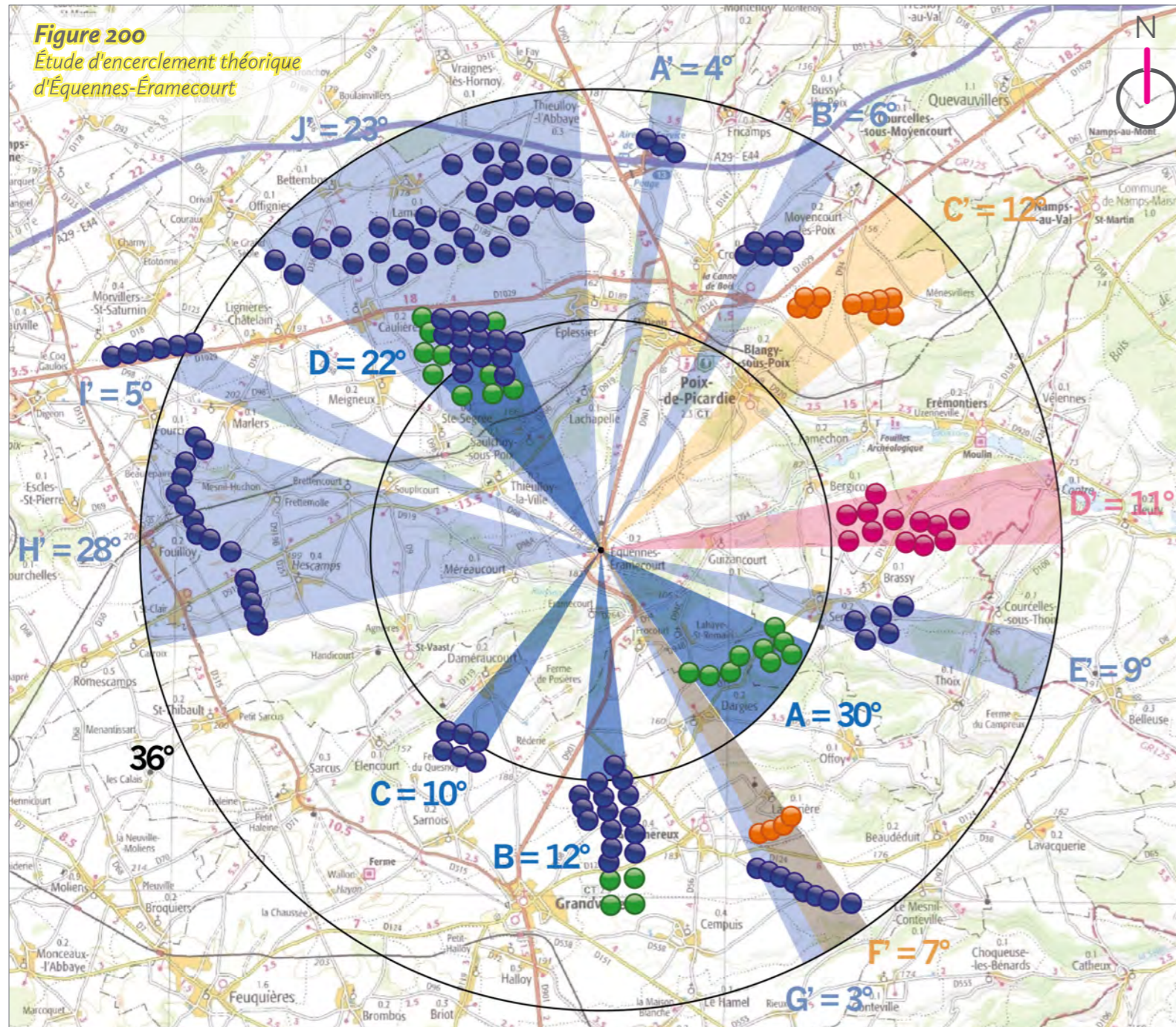
■ Vue réaliste plein cadre - Champ visuel horizontal de l'image : 120°



► PDV 16 Équennes-Éramecourt : au nord par la D 901

Date de prise de vue	Focale (équ. 24x36)	Latitude	Longitude	Altitude (NGF)
14/01/2022	Panoramique 360°	N 49°44'43,2"	E 01°57'54,0"	185 m
Distance à l'éolienne projetée la plus proche	Distance à l'éolienne projetée la plus éloignée	Nombre d'éoliennes des projets visibles	Lieu	
E2 : 5,1 km	E12 : 7,5 km	12	ÉQUENNES-ÉRAMECOURT - Au nord par la D 901	

Étude d'encerclement théorique



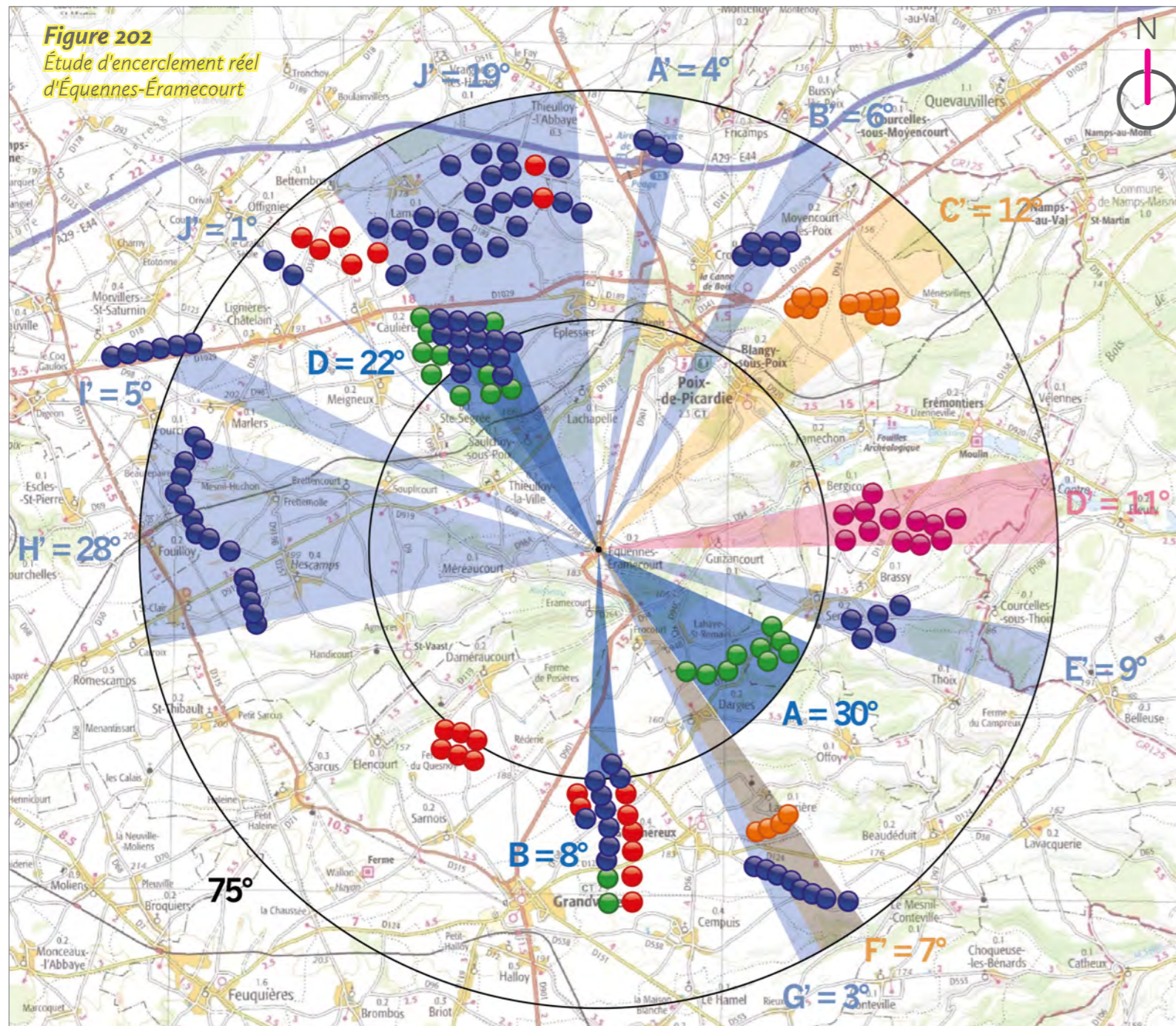
Commentaires

L'observateur se situe au nord du village d'Équennes-Éramecourt, le long de la D 901, en provenance de Poix-de-Picardie. C'est une route très fréquentée qui offre des vues très ouvertes et lointaines car on se trouve ici sur le plateau Picard.



Figure 201
Tableau de synthèse de l'étude d'encerclement théorique et réelle

Village étudié	Secteur angulaire du projet dans les 5 km	Indice de densité	Seuil d'alerte	Cumul angulaire	Seuil d'alerte	Plus grand espace de respiration	Seuil d'alerte
Équennes-Éramecourt théorique	0	0,31	Atteint	182	Atteint	36	Atteint
Équennes-Éramecourt réel	0	0,26	Atteint	165	Atteint	75	Atteint



Commentaires

Depuis l'entrée nord d'Équennes-Éramecourt, plusieurs parcs et projets éoliens sont masqués. Les éoliennes masquées, ou très peu incidentes, sont notées en rouge sur le diagramme ci-contre.

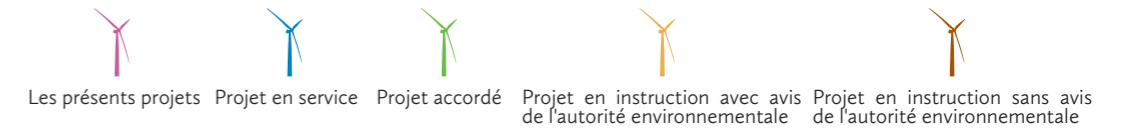
Dans le périmètre de 0 à 5 km, le secteur A est conservé car les projets accordés du Cornouiller et du Routis sont entièrement visibles. Le secteur B est réduit car deux éoliennes du projet accordé de Sommeux et Cempuis et six éoliennes des parcs construits de Dargies, Puchot et Champ Vert sont masquées par la végétation. Le secteur C est supprimé car les éoliennes du parc construit de Dameraucourt sont masquées par la végétation. Enfin, le secteur D est conservé car toutes les éoliennes du parc construit d'Éplessier et du projet accordé du Fond du Moulin sont visibles depuis ce point de vue.

Dans le périmètre de 5 à 10 km, tous les secteurs sont conservés. En revanche, le secteur J est réduit car plusieurs éoliennes du parc construit du Font Saint-Clément sont masquées par la végétation.

Le tableau de synthèse de l'étude d'encerclement théorique et réelle (fig. 201) indique donc logiquement une baisse du cumul angulaire entre le théorique et le réel, passant de 182° à 165°, soit une baisse de 17°. Le plus grand angle de respiration augmente de 39°, passant de 36° à 75°. L'indice de densité diminue également.

L'étude d'encerclement théorique mettait en évidence un seuil d'alerte atteint pour les deux indicateurs importants (cumul angulaire et plus grand espace de respiration visuelle), ce que confirme l'étude d'encerclement réel depuis ce point de vue.

D'un point de vue plus sensible et paysager, l'encerclement se fait sentir depuis ce point de vue puisque de nombreuses éoliennes sont visibles tout autour de l'observateur. Toutefois, toutes les éoliennes ont une hauteur visuelle faible à modérée depuis ce point de vue et le contexte éolien alentour n'est pas très prégnant. Toutefois, on voit bien de nombreuses éoliennes tout autour du point de vue. Les projets de Corbillon Est et Ouest, situés à plus de 5 km, ne créent pas cet effet d'encerclement, qui existe déjà au préalable, mais viennent le renforcer en augmentant le cumul angulaire mais ne réduisent pas le plus grand espace de respiration visuelle existant.



■ **Esquisse filaire plein cadre avec indexation du contexte - Champ visuel horizontal de l'image : 120°**



■ **Esquisse filaire plein cadre avec indexation du contexte - Champ visuel horizontal de l'image : 120°**



■ **Esquisse filaire plein cadre avec indexation du contexte - Champ visuel horizontal de l'image : 120°**



■ Vue réaliste plein cadre - Champ visuel horizontal de l'image : 120°



■ Vue réaliste plein cadre - Champ visuel horizontal de l'image : 120°



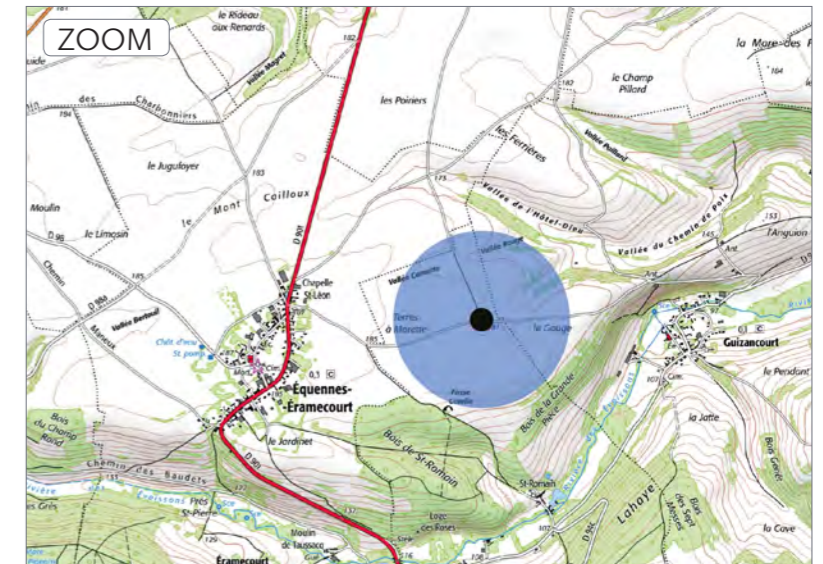
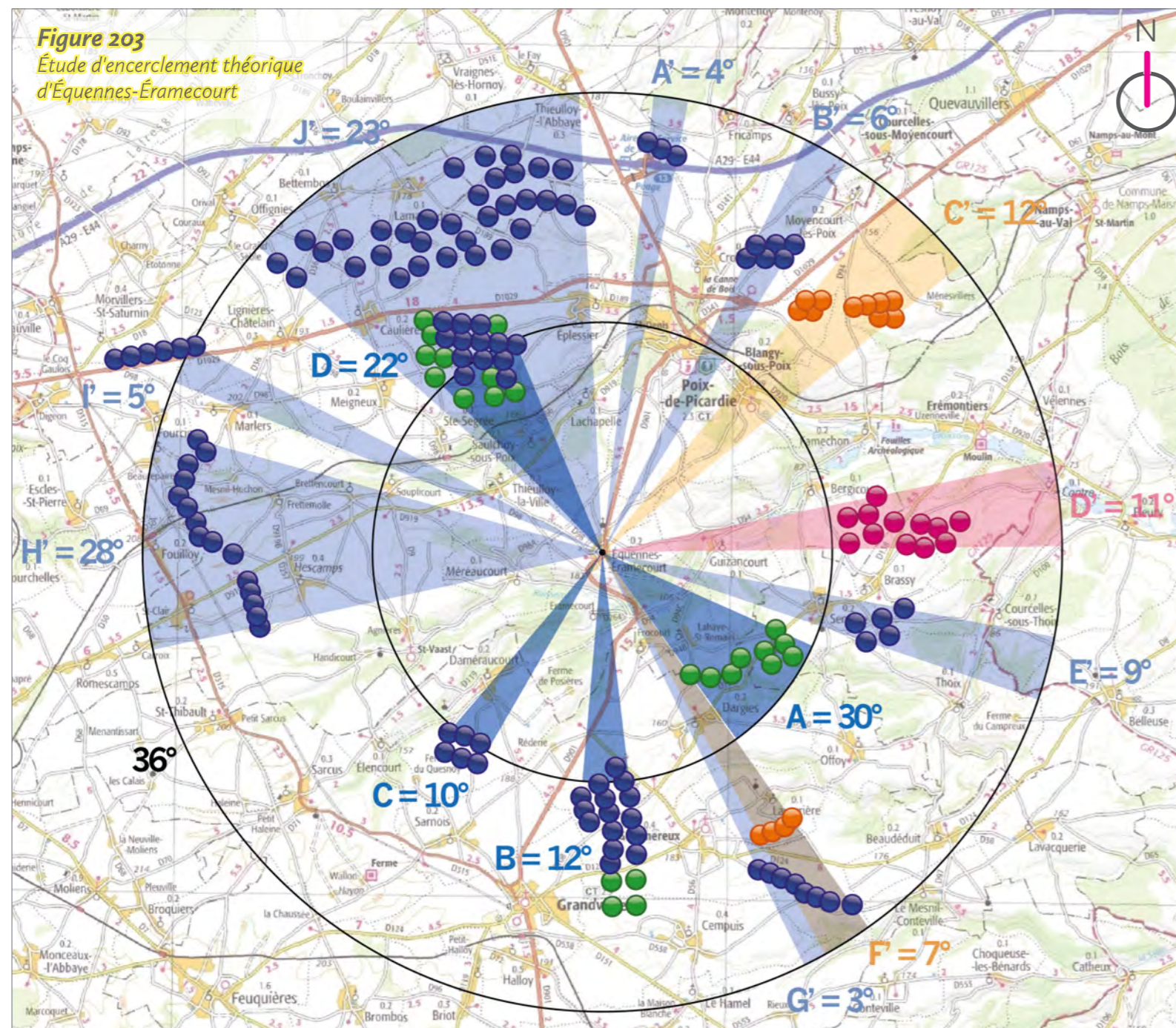
■ Vue réaliste plein cadre - Champ visuel horizontal de l'image : 120°



► PDV 17 Équennes-Éramecourt : à l'est par la route de Guizancourt

Date de prise de vue	Focale (équ. 24x36)	Latitude	Longitude	Altitude (NGF)
14/01/2022	Panoramique 360°	N 49°44'12,9"	E 01°58'41,3"	180 m
Distance à l'éolienne projetée la plus proche	Distance à l'éolienne projetée la plus éloignée	Nombre d'éoliennes des projets visibles	Lieu	
E2 : 4,1 km	E12 : 6,4 km	12	ÉQUENNES-ÉRAMECOURT - À l'est par la route de Guizancourt	

Étude d'encerclement théorique



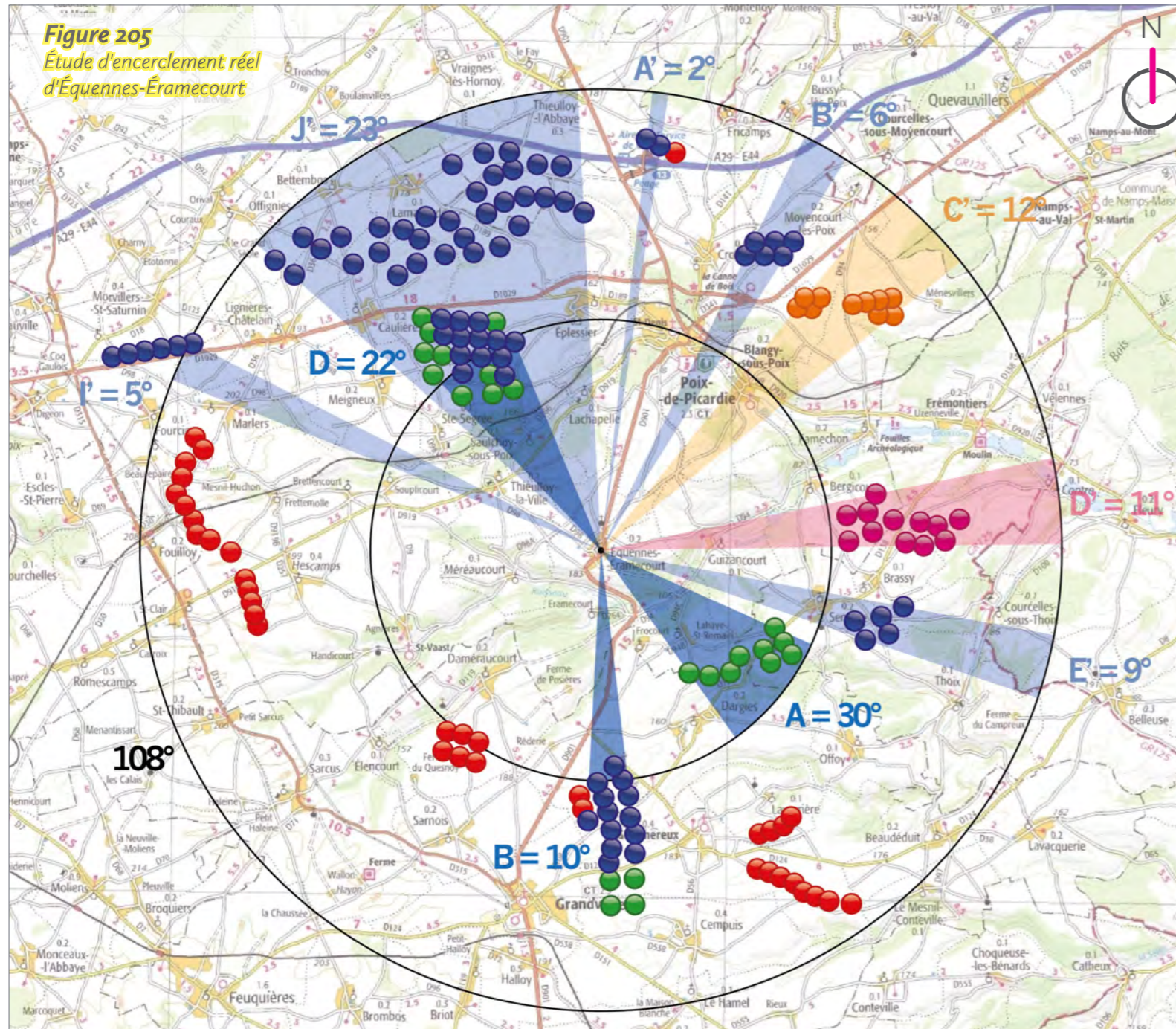
Commentaires

L'observateur se situe cette fois à l'est du village d'Équennes-Éramecourt, en direction de Guizancourt le long d'une route locale. Les vues sont toujours ouvertes mais les horizons se referment en raison de l'apparition de boisements liés à la vallée des Évoissons dont l'observateur se rapproche.



Figure 204
Tableau de synthèse de l'étude d'encerclement théorique et réelle

Village étudié	Secteur angulaire du projet dans les 5 km	Indice de densité	Seuil d'alerte	Cumul angulaire	Seuil d'alerte	Plus grand espace de respiration	Seuil d'alerte
Équennes-Éramecourt théorique	0	0,31	Atteint	182	Atteint	36	Atteint
Équennes-Éramecourt réel	0	0,38	Atteint	130	Atteint	108	Atteint



Commentaires

Depuis la sortie est d'Équennes-Éramecourt, plusieurs parcs et projets éoliens sont masqués. Les éoliennes masquées, ou très peu incidentes, sont notées en rouge sur le diagramme ci-contre.

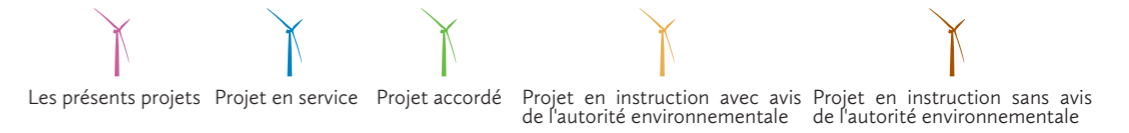
Dans le périmètre de 0 à 5 km, le secteur A est conservé car les projets accordés du Cornouiller et du Routis sont entièrement visibles. Le secteur B est réduit car deux éoliennes du parc construit de Puchot sont masquées par la végétation. Le secteur C est supprimé car les éoliennes du parc construit de Dameraucourt sont masquées par le relief et la végétation. Enfin, le secteur D est conservé car toutes les éoliennes du parc construit d'Éplessier et du projet accordé du Fond du Moulin sont visibles depuis ce point de vue.

Dans le périmètre de 5 à 10 km, le secteur A' est réduit car une éolienne du parc construit de Fricamps est masquée par la végétation. Les secteurs B', C', D' et E' sont conservés. Les secteurs F' et G' sont supprimés car les éoliennes du parc construit de Marendeuil et du projet en instruction du Champs Saint-Pierre sont masquées par la végétation. Le secteur H' est supprimé car les éoliennes des parcs construits de Candor, des Oeillets et du Poirier Major sont masquées par le relief et la végétation. Enfin, les secteurs I' et J' sont conservés.

Le tableau de synthèse de l'étude d'encerclement théorique et réelle (fig. 204) indique donc logiquement une baisse du cumul angulaire entre le théorique et le réel, passant de 182° à 130°, soit une baisse de 52°. Le plus grand angle de respiration augmente de 72°, passant de 36° à 108°. L'indice de densité augmente.

L'étude d'encerclement théorique mettait en évidence un seuil d'alerte atteint pour les deux indicateurs importants (cumul angulaire et plus grand espace de respiration visuelle), ce que confirme l'étude d'encerclement réel depuis ce point de vue. Toutefois, la valeur du cumul angulaire est proche du seuil d'alerte et le plus grand espace de respiration visuelle a bien augmenté.

D'un point de vue plus sensible et paysager, l'encerclement se fait sentir depuis ce point de vue puisque de nombreuses éoliennes sont visibles tout autour de l'observateur. Les projets de Corbillon Est et Ouest, situés à plus de 5 km, ne créent pas cet effet d'encerclement, qui existe déjà au préalable, mais viennent le renforcer en augmentant le cumul angulaire mais ne réduisent pas le plus grand espace de respiration visuelle existant.



■ **Esquisse filaire plein cadre avec indexation du contexte - Champ visuel horizontal de l'image : 120°**



■ **Esquisse filaire plein cadre avec indexation du contexte - Champ visuel horizontal de l'image : 120°**



■ **Esquisse filaire plein cadre avec indexation du contexte - Champ visuel horizontal de l'image : 120°**



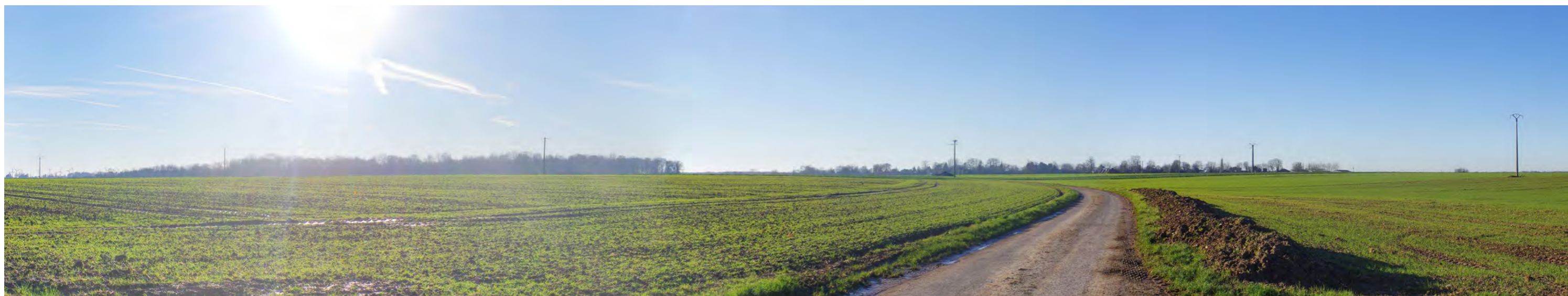
■ Vue réaliste plein cadre - Champ visuel horizontal de l'image : 120°



■ Vue réaliste plein cadre - Champ visuel horizontal de l'image : 120°



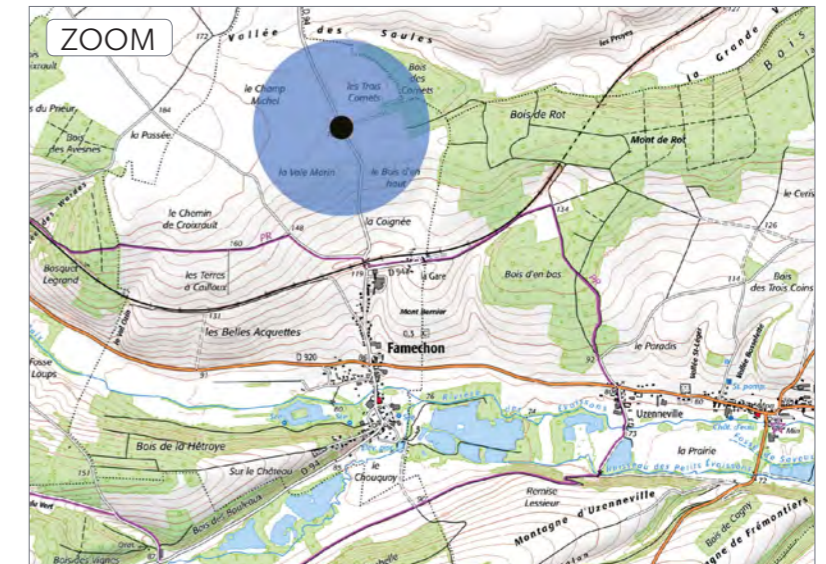
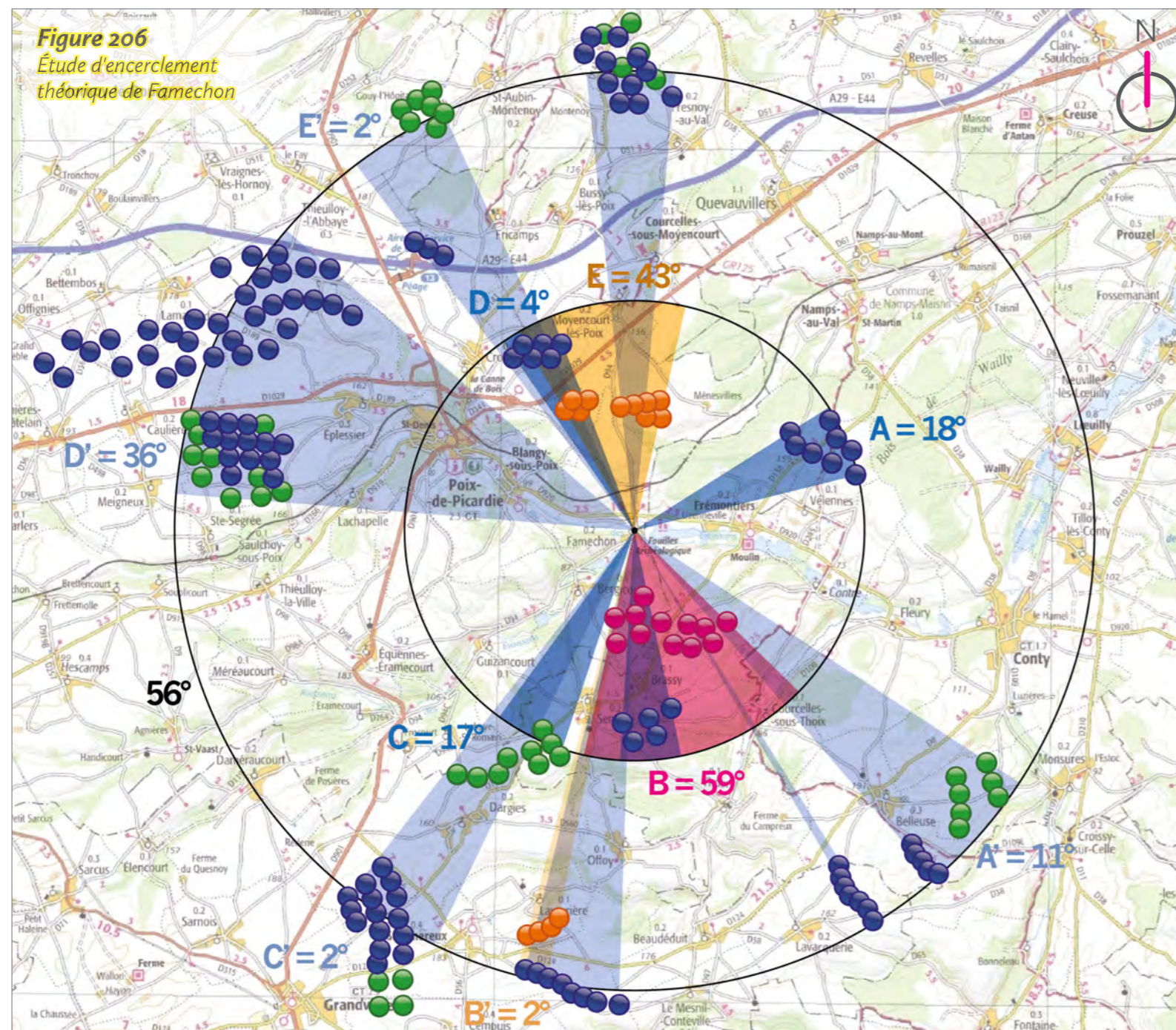
■ Vue réaliste plein cadre - Champ visuel horizontal de l'image : 120°



► PDV 18 Famechon : au nord par la D 94

Date de prise de vue	Focale (équ. 24x36)	Latitude	Longitude	Altitude (NGF)
13/01/2022	Panoramique 360°	N 49°46'27,7"	E 02°02'16,7"	167 m
Distance à l'éolienne projetée la plus proche	Distance à l'éolienne projetée la plus éloignée	Nombre d'éoliennes des projets visibles	Lieu	
E5 : 3,2 km	E10 : 4,6 km	12	FAMECHON - Au nord par la D 94	

Étude d'encerclement théorique



Commentaires

L'observateur se situe au nord du village de Famechon, à 1,5 km du centre-bourg, le long de la D 94. L'observateur se trouve sur le plateau au nord de la vallée des Évoissons. Le village de Famechon est implanté dans le fond de la vallée des Évoissons et n'est pas visible depuis cette entrée éloignée. Le versant opposé de la vallée des Évoissons est perceptible.

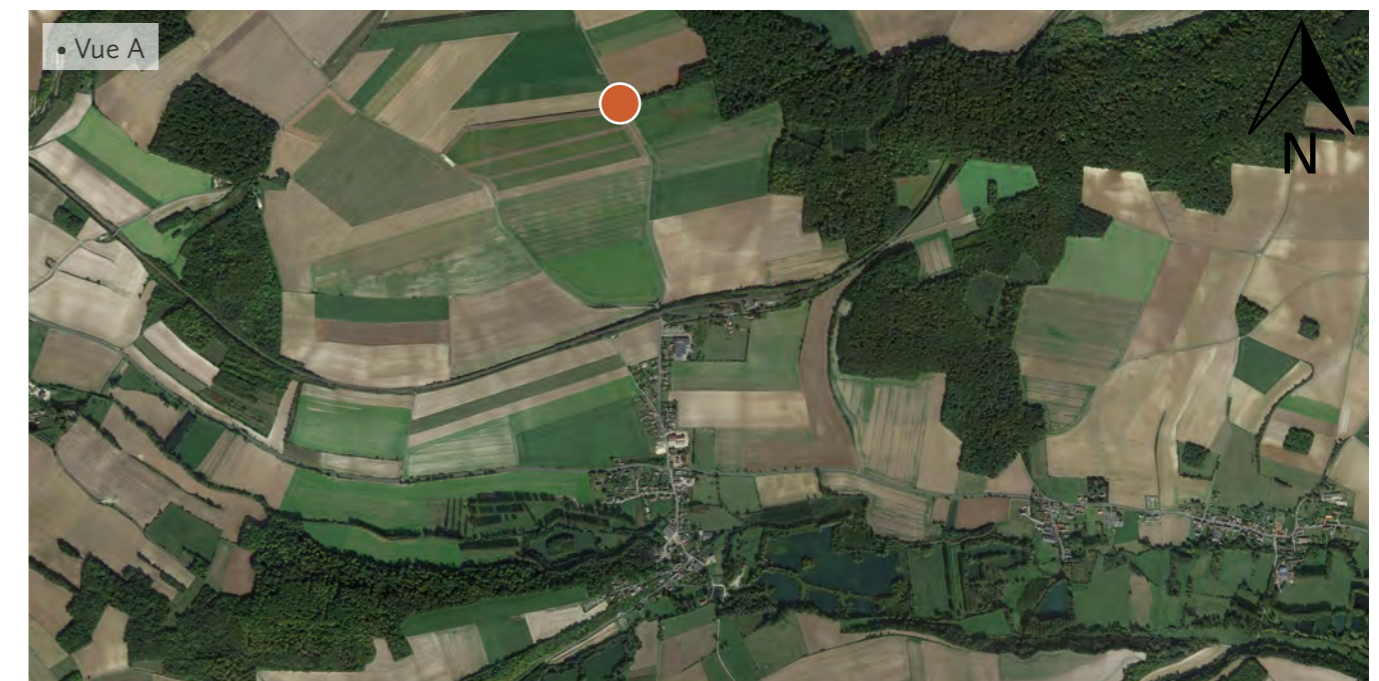
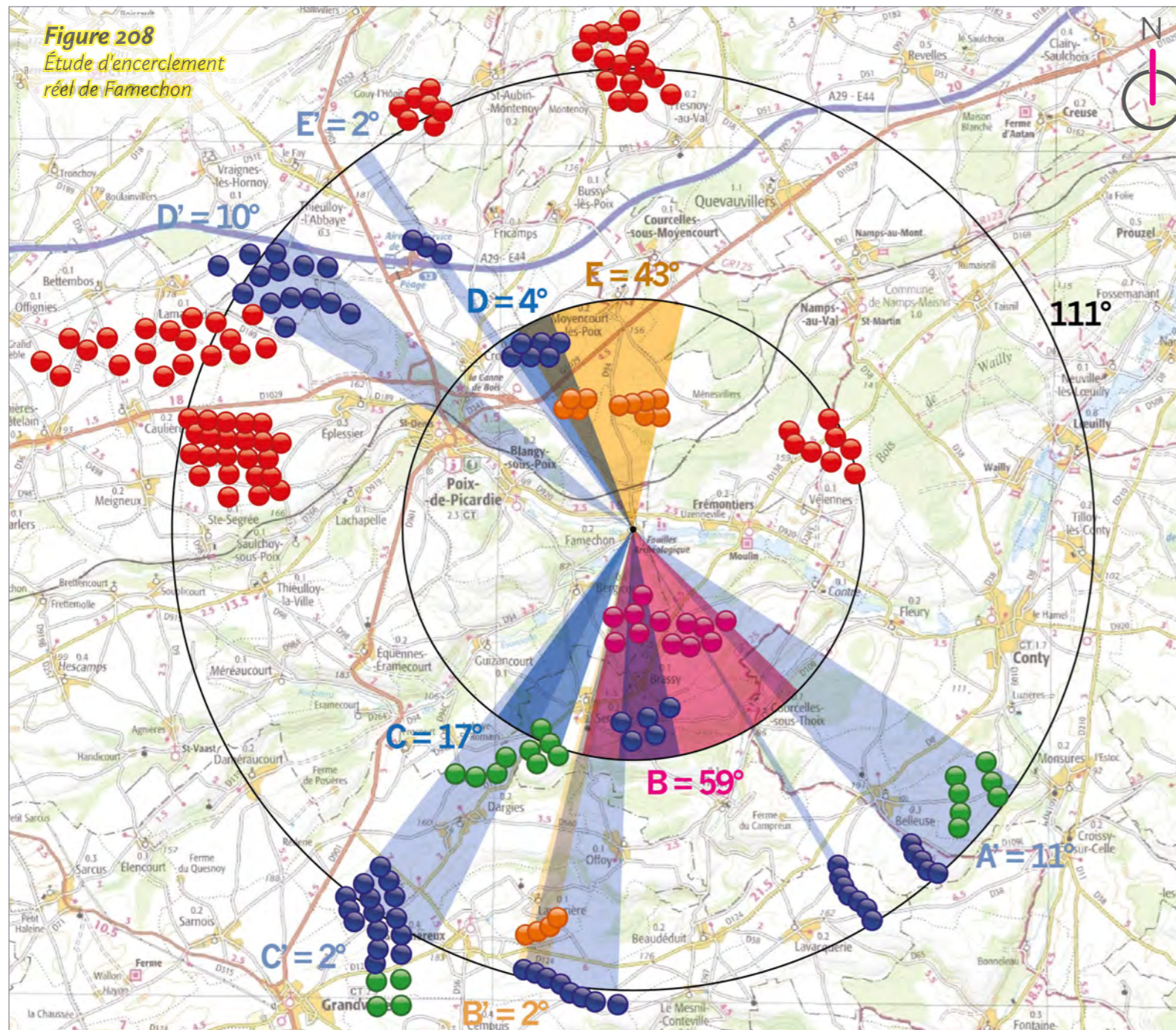


Figure 207
Tableau de synthèse de l'étude d'encerclement théorique et réelle

Village étudié	Secteur angulaire du projet dans les 5 km	Indice de densité	Seuil d'alerte	Cumul angulaire	Seuil d'alerte	Plus grand espace de respiration	Seuil d'alerte
Famechon théorique	59	0,26	Atteint	194	Atteint	56	Atteint
Famechon réel	59	0,28	Atteint	150	Atteint	111	Atteint



Commentaires

Depuis l'entrée nord de Famechon, à 1,5 km du centre-bourg, plusieurs parcs et projets éoliens sont masqués. Les éoliennes masquées, ou très peu incidentes, sont notées en rouge sur le diagramme ci-contre.

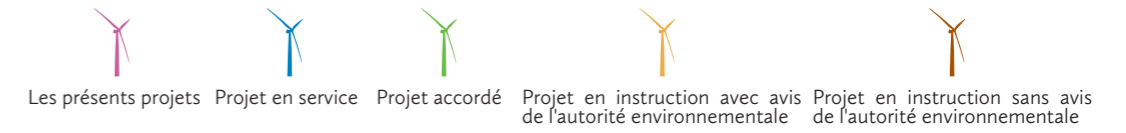
Dans le périmètre de 0 à 5 km, le secteur A est supprimé car les éoliennes du parc construit de Blanc Mont sont masquées par le relief et la végétation. Les autres secteurs de ce périmètre sont tous conservés.

Dans le périmètre de 5 à 10 km, tous les secteurs sont conservés à l'exception du secteur D' qui est réduit. En effet, les éoliennes des parcs construits d'Éplessier, de Cagneux, du Bois Nanette et du projet accordé du Fond du Moulin, ainsi qu'une partie de celles du Fond Saint-Clément sont masquées par le relief et la végétation.

Le tableau de synthèse de l'étude d'encerclement théorique et réelle (fig. 207) indique donc logiquement une baisse du cumul angulaire entre le théorique et le réel, passant de 194° à 150°, soit une baisse de 44°. Le plus grand angle de respiration augmente de 55°, passant de 56° à 111°. L'indice de densité augmente.

L'étude d'encerclement théorique mettait en évidence un seuil d'alerte atteint pour les deux indicateurs importants (cumul angulaire et plus grand espace de respiration visuelle), ce que confirme l'étude d'encerclement réel depuis ce point de vue.

D'un point de vue plus sensible et paysager, l'encerclement n'est pas avéré depuis ce point de vue car le contexte éolien est soit visible en face de l'observateur, soit derrière lui, quand il emprunte cette route. Sur les côtés de la route, il n'y a pas d'éoliennes et il existe deux espaces de respiration visuelle importants. Il existe bien un contexte éolien important quand on regarde vers le nord ou vers le sud. Les projets de Corbillon Est et Ouest ne créent pas cet effet d'encerclement, qui existe déjà au préalable, mais viennent le renforcer en augmentant le cumul angulaire mais ne réduisent pas le plus grand espace de respiration visuelle existant.



■ **Esquisse filaire plein cadre avec indexation du contexte - Champ visuel horizontal de l'image : 120°**



■ **Esquisse filaire plein cadre avec indexation du contexte - Champ visuel horizontal de l'image : 120°**



■ **Esquisse filaire plein cadre avec indexation du contexte - Champ visuel horizontal de l'image : 120°**



■ Vue réaliste plein cadre - Champ visuel horizontal de l'image : 120°



■ Vue réaliste plein cadre - Champ visuel horizontal de l'image : 120°

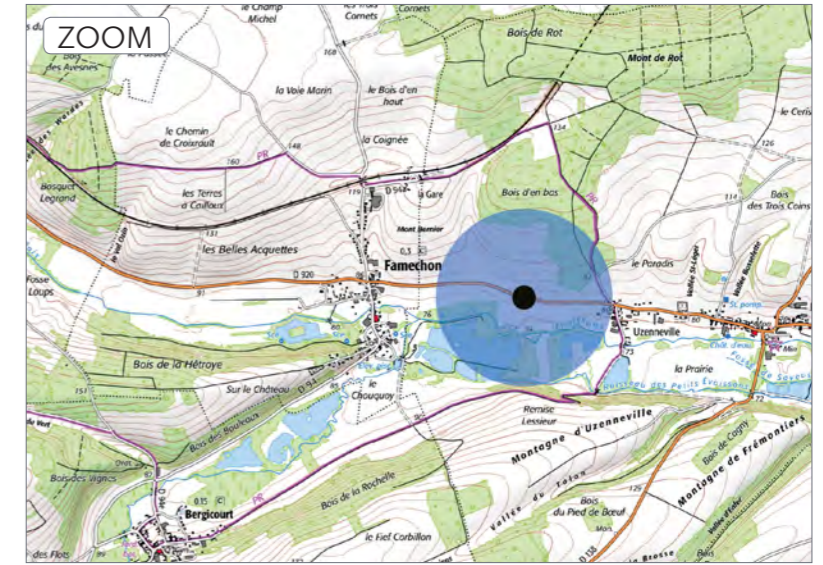


■ Vue réaliste plein cadre - Champ visuel horizontal de l'image : 120°

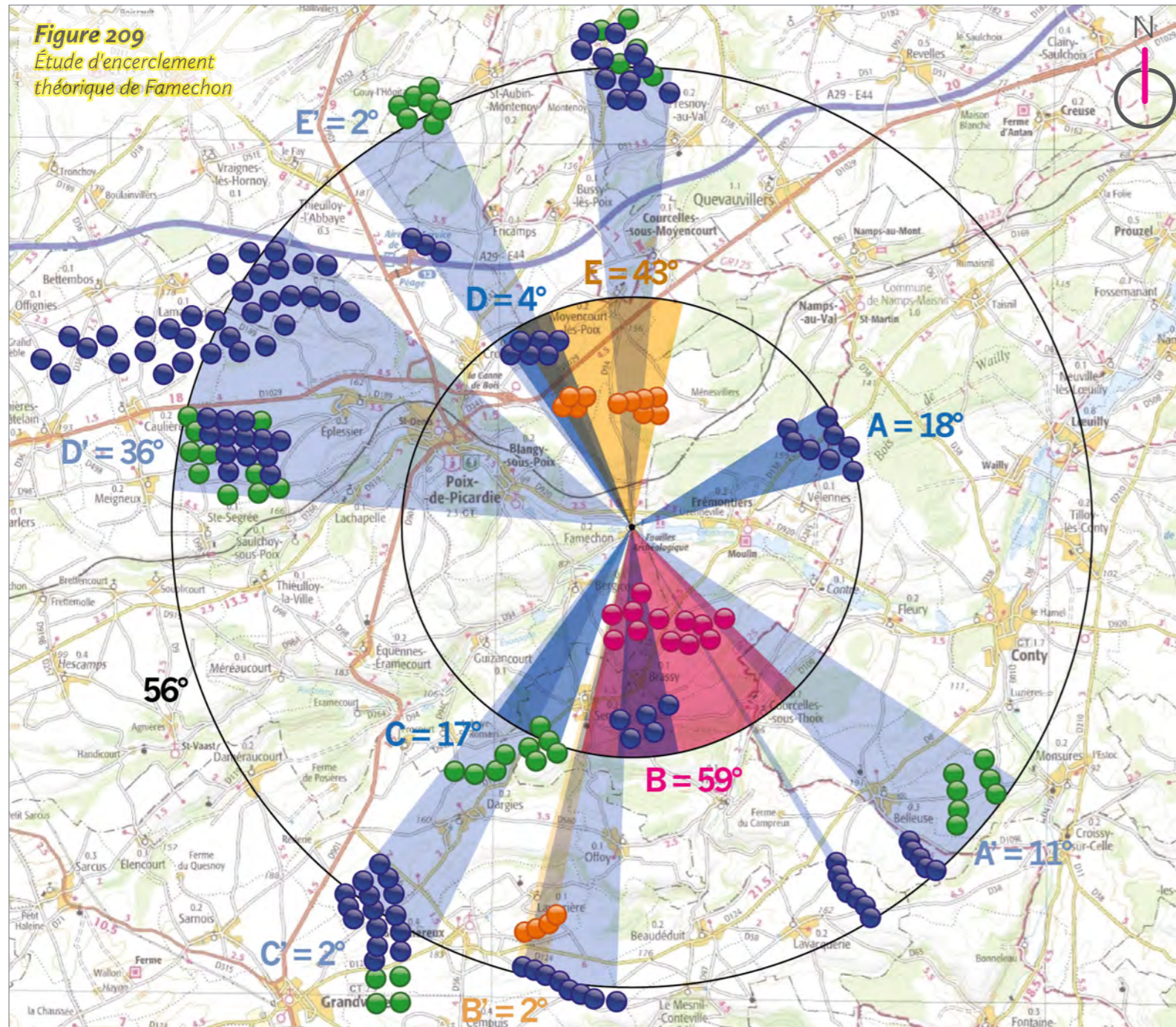


► PDV 19 Famechon : au nord par la D 94

Date de prise de vue	Focale (équ. 24x36)	Latitude	Longitude	Altitude (NGF)
13/01/2022	Panoramique 360°	N 49°45'39,3"	E 02°03'13,3"	83 m
Distance à l'éolienne projetée la plus proche	Distance à l'éolienne projetée la plus éloignée	Nombre d'éoliennes des projets visibles	Lieu	
E5 : 1,8 km	E1 : 3,0 km	12	FAMECHON - À l'est par la D 920	



Étude d'encerclement théorique



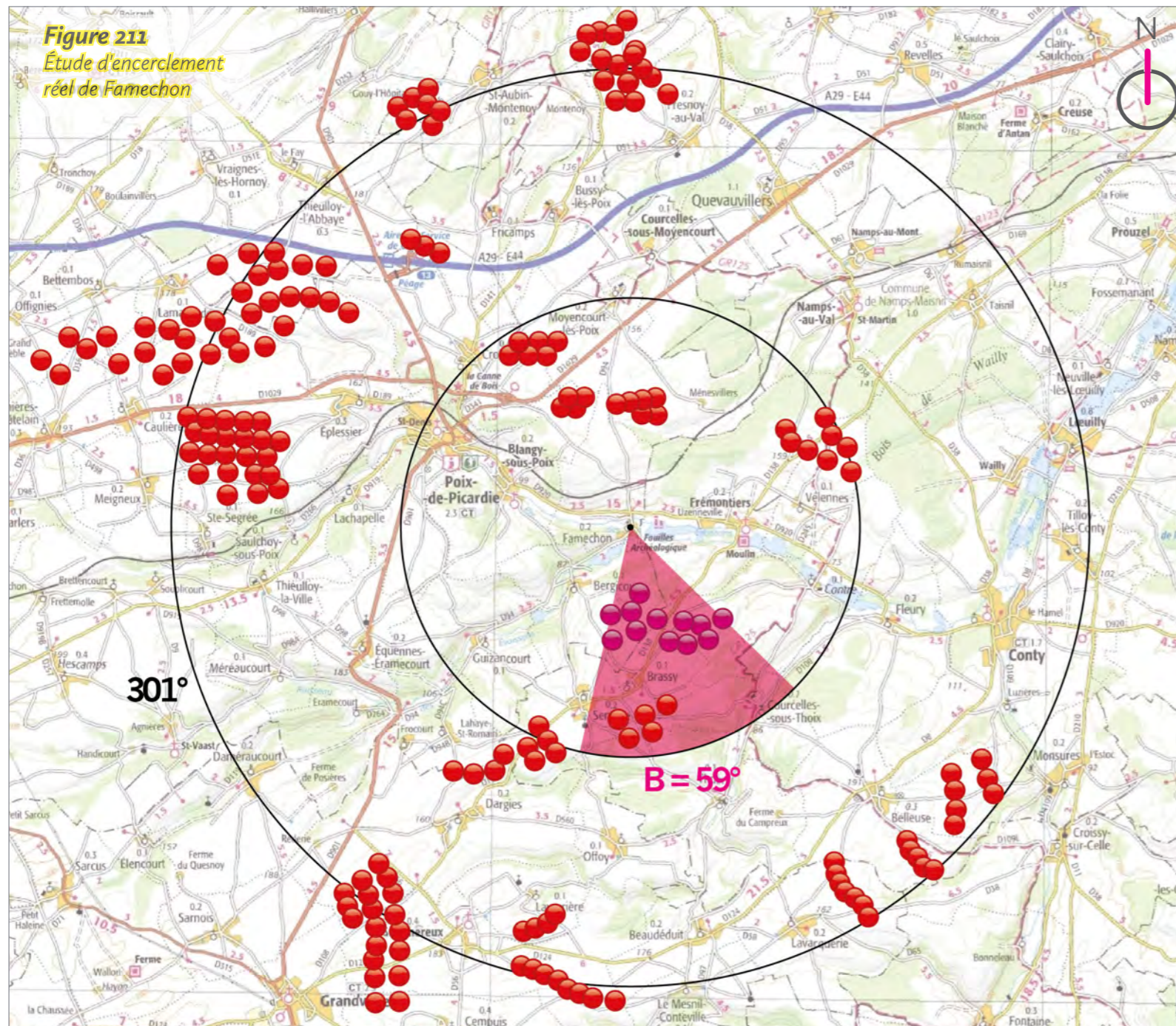
Commentaires

L'observateur se situe en sortie est du village de Famechon, le long de la D 920 qui est la route qui emprunte le fond de la vallée des Évoissons et qui relie tous les villages de cette vallée entre eux. Les vues sont limitées par les reliefs alentour liés à la vallée ainsi que par la ripisylve des Évoissons.



Figure 210
Tableau de synthèse de l'étude d'encerclement théorique et réelle

Village étudié	Secteur angulaire du projet dans les 5 km	Indice de densité	Seuil d'alerte	Cumul angulaire	Seuil d'alerte	Plus grand espace de respiration	Seuil d'alerte
Famechon théorique	59	0,26	Atteint	194	Atteint	56	Atteint
Famechon réel	59	0,20	Atteint	59	En-dessous	301	En-dessous



Commentaires

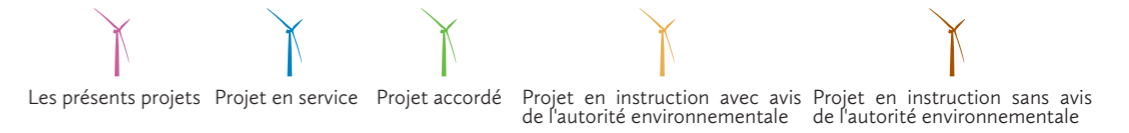
Depuis la sortie est de Famechon, plusieurs parcs et projets éoliens sont masqués. Les éoliennes masquées, ou très peu incidentes, sont notées en rouge sur le diagramme ci-contre.

Dans le périmètre de 0 à 5 km, tous les secteurs sont supprimés car seuls les projets de Corbillon Est et Ouest sont visibles, le secteur B est donc le seul conservé.

Dans le périmètre de 5 à 10 km, tous les secteurs sont supprimés car l'ensemble des éoliennes de ce périmètre est masqué par le relief et la végétation.

Le tableau de synthèse de l'étude d'encerclement théorique et réelle (fig. 210) indique donc logiquement une baisse du cumul angulaire entre le théorique et le réel, passant de 194° à 59°, soit une baisse de 135°. Le plus grand angle de respiration augmente de 245°, passant de 56° à 301°. L'indice de densité diminue également.

L'étude d'encerclement théorique mettait en évidence un seuil d'alerte atteint pour les deux indicateurs importants (cumul angulaire et plus grand espace de respiration visuelle). Le cumul angulaire, qui était supérieur au seuil d'alerte de 120°, n'est plus atteint selon l'étude d'encerclement réel depuis ce point de vue. Il en est de même avec le plus grand espace de respiration visuelle, qui repasse sous le seuil d'alerte de 160°. Ainsi, le risque d'effet d'encerclement que mettait en évidence l'étude d'encerclement théorique n'existe pas d'après l'étude d'encerclement réel.



■ **Esquisse filaire plein cadre avec indexation du contexte - Champ visuel horizontal de l'image : 120°**



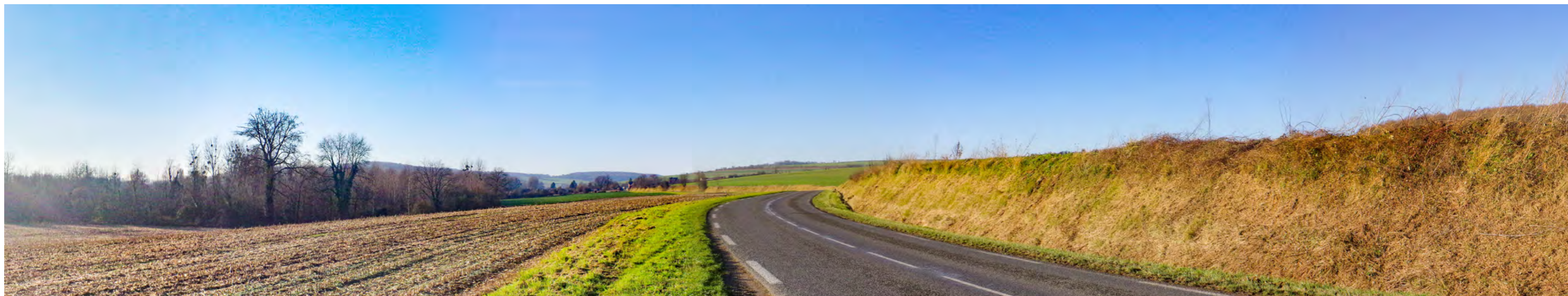
■ **Esquisse filaire plein cadre avec indexation du contexte - Champ visuel horizontal de l'image : 120°**



■ **Esquisse filaire plein cadre avec indexation du contexte - Champ visuel horizontal de l'image : 120°**



■ Vue réaliste plein cadre - Champ visuel horizontal de l'image : 120°



■ Vue réaliste plein cadre - Champ visuel horizontal de l'image : 120°



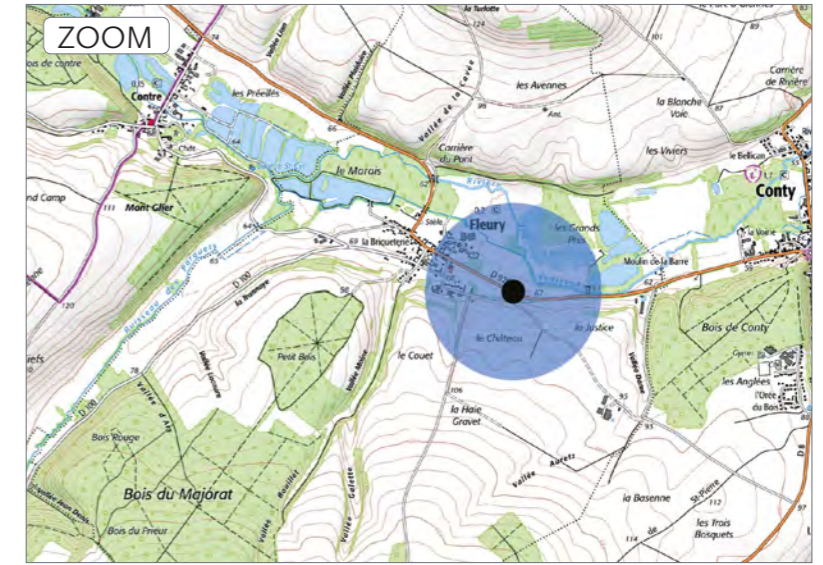
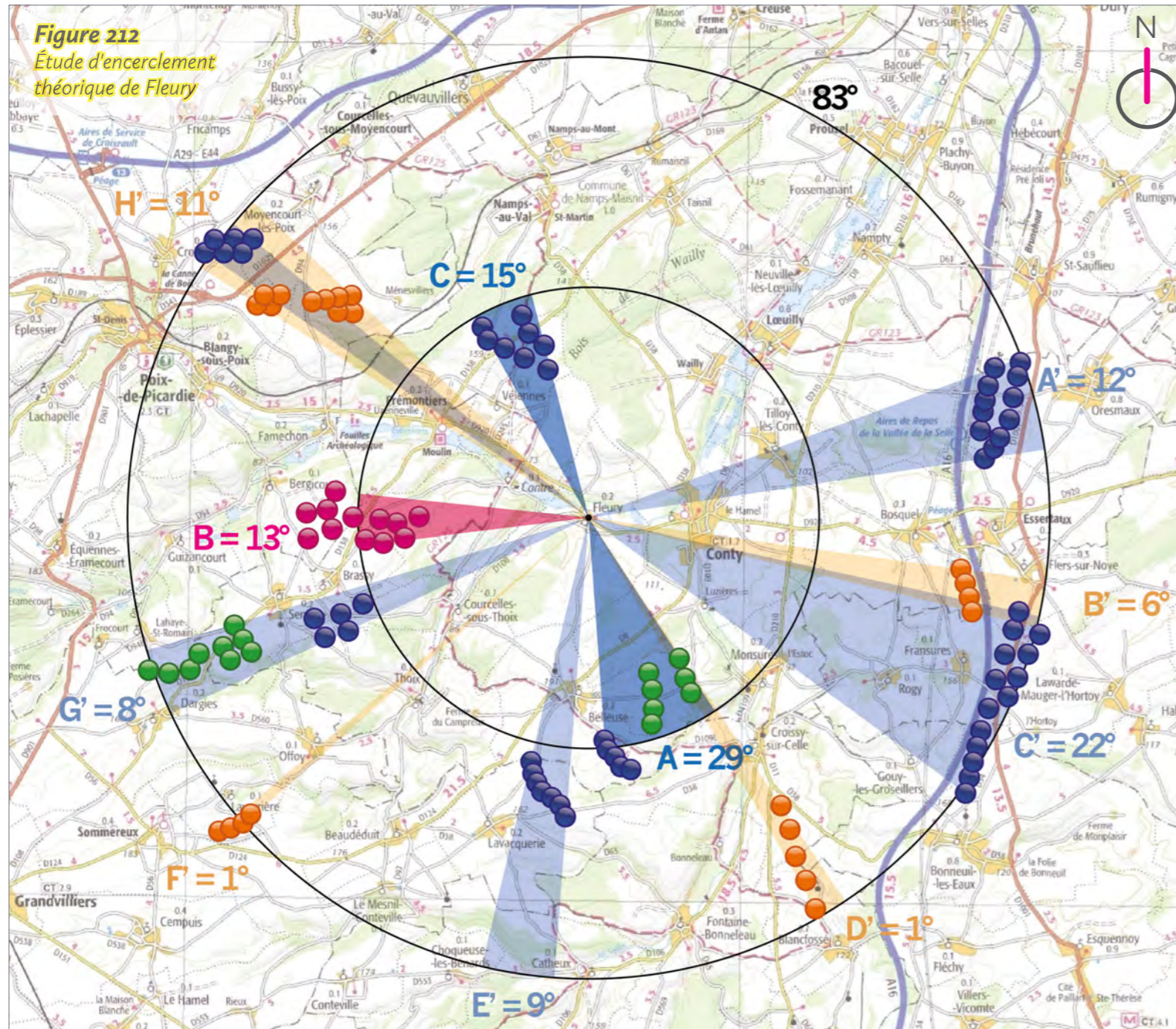
■ Vue réaliste plein cadre - Champ visuel horizontal de l'image : 120°



► PDV 20 Fleury : à l'est par la D 920

Date de prise de vue	Focale (équ. 24x36)	Latitude	Longitude	Altitude (NGF)
13/01/2022	Panoramique 360°	N 49°44'19,6"	E 02°07'33,1"	66 m
Distance à l'éolienne projetée la plus proche	Distance à l'éolienne projetée la plus éloignée	Nombre d'éoliennes des projets visibles	Lieu	
E12 : 4,1 km	E2 : 6,5 km	0	FLEURY - À l'est par la D 920	

Étude d'encerclement théorique



Commentaires

L'observateur se situe en entrée est de Fleury, le long de la D 920 qui est la route qui emprunte le fond de la vallée des Évoissons et qui relie tous les villages de cette vallée entre eux. Les vues sont limitées par les reliefs alentour liés à la vallée ainsi que par la ripisylve des Évoissons.

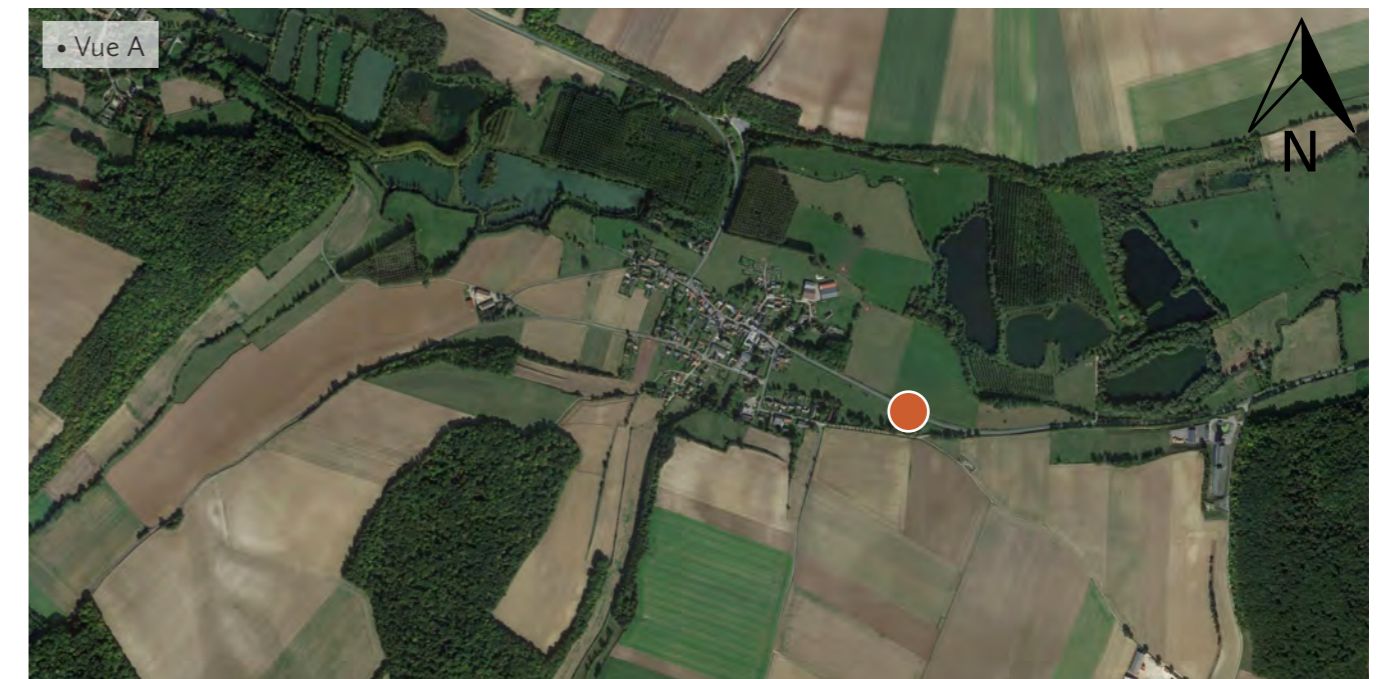
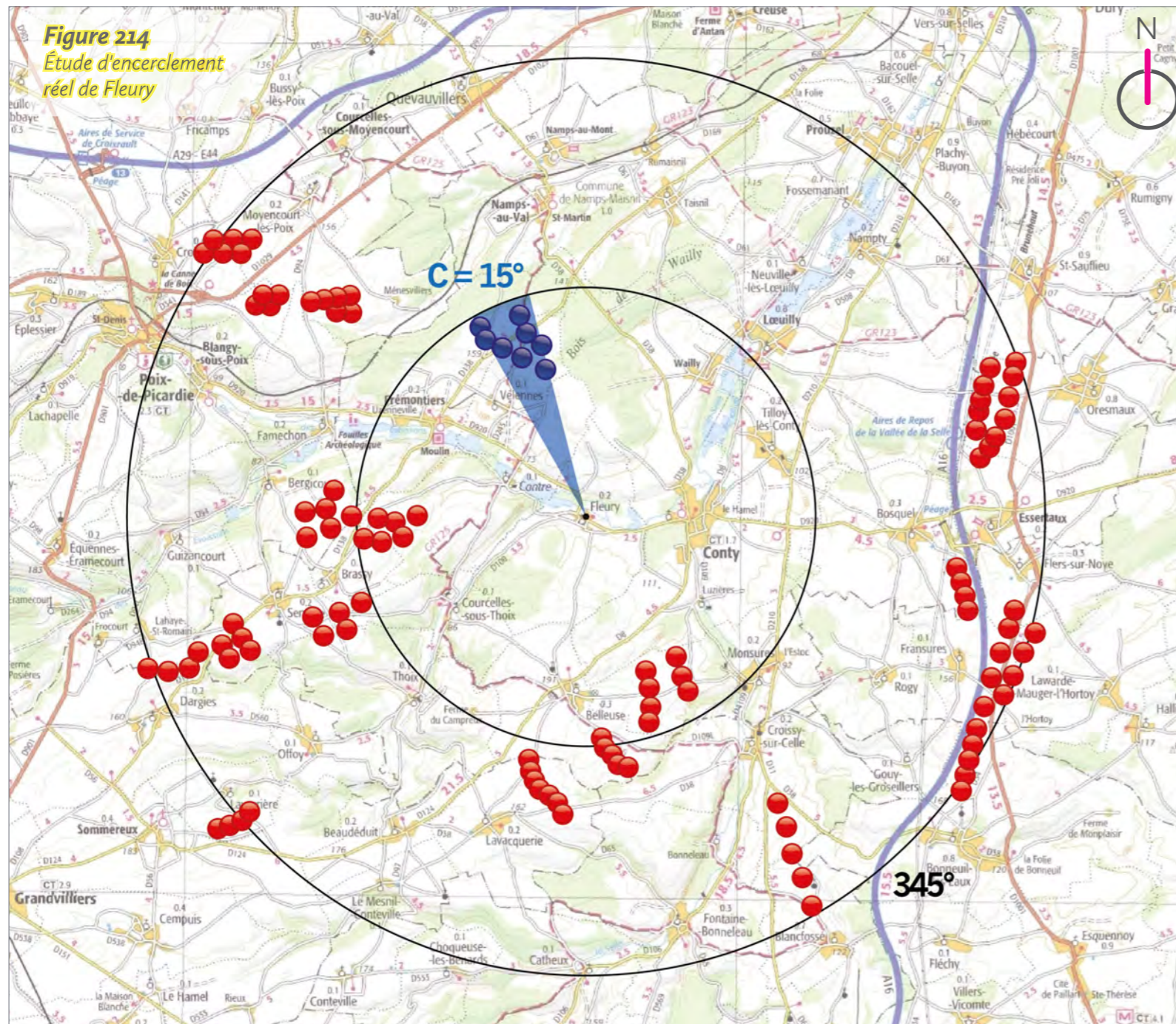


Figure 213
Tableau de synthèse de l'étude d'encerclement théorique et réelle

Village étudié	Secteur angulaire du projet dans les 5 km	Indice de densité	Seuil d'alerte	Cumul angulaire	Seuil d'alerte	Plus grand espace de respiration	Seuil d'alerte
Fleury théorique	13	0,25	Atteint	127	Atteint	83	Atteint
Fleury réel	0	0,53	Atteint	15	En-dessous	345	En-dessous



Commentaires

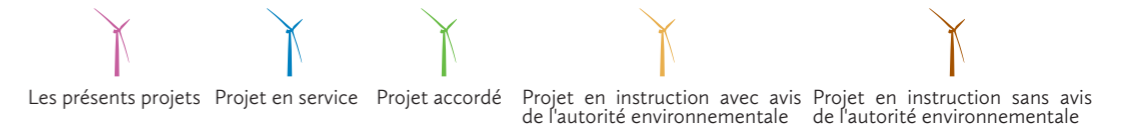
Depuis l'entrée est de Fleury, plusieurs parcs et projets éoliens sont masqués. Les éoliennes masquées, ou très peu incidentes, sont notées en rouge sur le diagramme ci-contre.

Dans le périmètre de 0 à 5 km, tous les secteurs sont supprimés à l'exception du secteur C car les éoliennes du parc éolien construit de Blanc Mont sont visibles depuis ce point de vue.

Dans le périmètre de 5 à 10 km, tous les secteurs sont supprimés car l'ensemble des éoliennes de ce périmètre est masqué par le relief et la végétation dont les éoliennes des projets de Corbillon Est et Ouest.

Le tableau de synthèse de l'étude d'encerclement théorique et réelle (fig. 213) indique donc logiquement une baisse du cumul angulaire entre le théorique et le réel, passant de 127° à 15°, soit une baisse de 112°. Le plus grand angle de respiration augmente de 262°, passant de 83° à 345°. L'indice de densité augmente.

L'étude d'encerclement théorique mettait en évidence un seuil d'alerte atteint pour les deux indicateurs importants (cumul angulaire et plus grand espace de respiration visuelle). Le cumul angulaire, qui était supérieur au seuil d'alerte de 120°, n'est plus atteint selon l'étude d'encerclement réel depuis ce point de vue. Il en est de même avec le plus grand espace de respiration visuelle, qui repasse sous le seuil d'alerte de 160°. Ainsi, le risque d'effet d'encerclement que mettait en évidence l'étude d'encerclement théorique n'existe pas d'après l'étude d'encerclement réel.



■ **Esquisse filaire plein cadre avec indexation du contexte - Champ visuel horizontal de l'image : 120°**



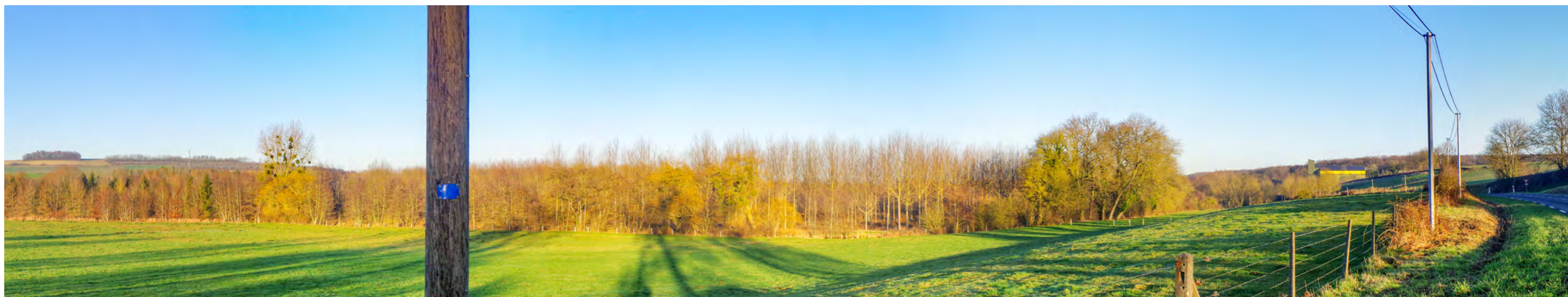
■ **Esquisse filaire plein cadre avec indexation du contexte - Champ visuel horizontal de l'image : 120°**



■ **Esquisse filaire plein cadre avec indexation du contexte - Champ visuel horizontal de l'image : 120°**



■ Vue réaliste plein cadre - Champ visuel horizontal de l'image : 120°



■ Vue réaliste plein cadre - Champ visuel horizontal de l'image : 120°



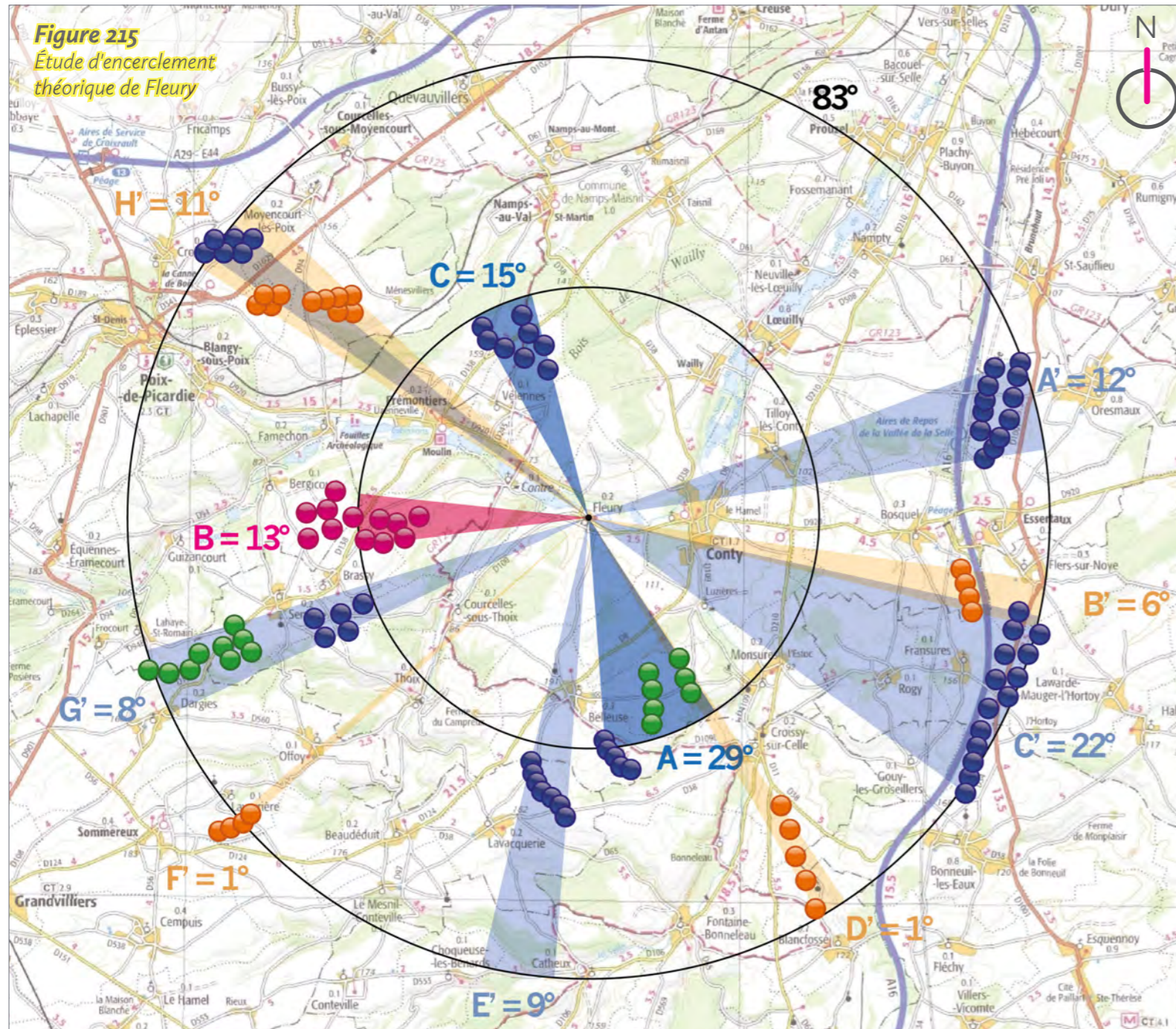
■ Vue réaliste plein cadre - Champ visuel horizontal de l'image : 120°



► PDV 21 Fleury : au sud-ouest par la D 100

Date de prise de vue	Focale (équ. 24x36)	Latitude	Longitude	Altitude (NGF)
13/01/2022	Panoramique 360°	N 49°44'17,4"	E 02°06'06,8"	84 m
Distance à l'éolienne projetée la plus proche	Distance à l'éolienne projetée la plus éloignée	Nombre d'éoliennes des projets visibles	Lieu	
E12 : 2,4 km	E2 : 4,8 km	10	FLEURY - Au sud-ouest par la D 100	

Étude d'encerclement théorique



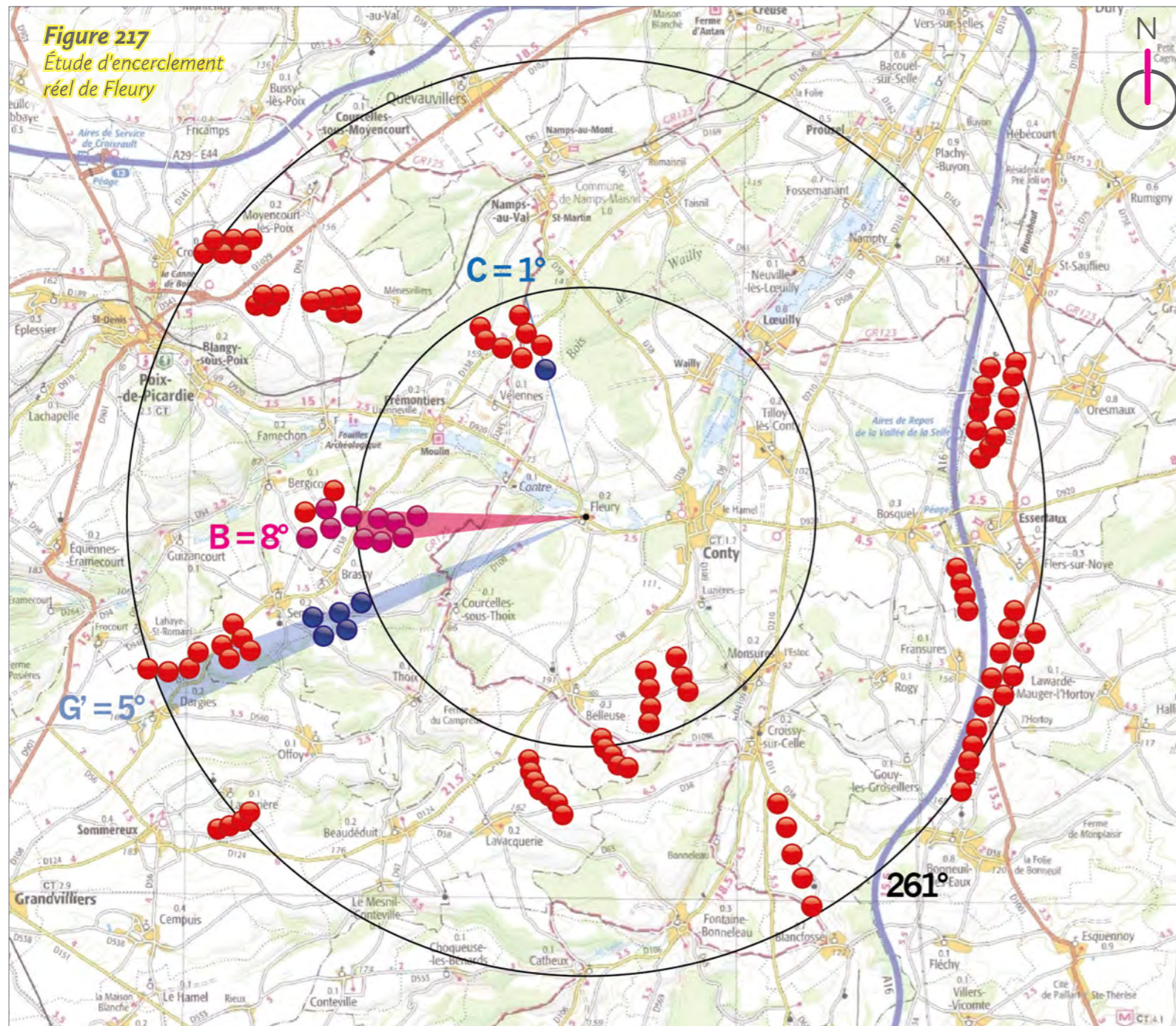
Commentaires

L'observateur se situe en sortie sud-ouest de Fleury, le long de la D 100, en direction de Courcelles-sous-Thoix, dans la vallée des Parquets. Les vues sont limitées par les reliefs des versants de la vallée.



Figure 216
Tableau de synthèse de l'étude d'encerclement théorique et réelle

Village étudié	Secteur angulaire du projet dans les 5 km	Indice de densité	Seuil d'alerte	Cumul angulaire	Seuil d'alerte	Plus grand espace de respiration	Seuil d'alerte
Fleury théorique	13	0,25	Atteint	127	Atteint	83	Atteint
Fleury réel	8	0,79	Atteint	14	En-dessous	261	En-dessous



Commentaires

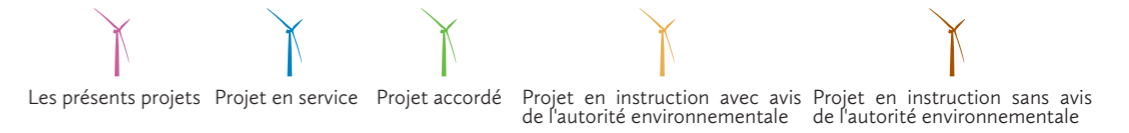
Depuis la sortie sud-ouest de Fleury, plusieurs parcs et projets éoliens sont masqués. Les éoliennes masquées, ou très peu incidentes, sont notées en rouge sur le diagramme ci-contre.

Dans le périmètre de 0 à 5 km, le secteur A est supprimé car les éoliennes du projet accordé de Monsures sont masquées par la butte le long de la route. Le secteur B est réduit de 5° car les éoliennes E2 et E5 du projet de Corbillon Ouest sont masquées par le relief et la végétation. Enfin, le secteur C est réduit car une seule éolienne du parc construit de Blanc Mont est visible depuis ce point de vue.

Dans le périmètre de 5 à 10 km, tous les secteurs sont supprimés car l'ensemble des éoliennes de ce périmètre est masqué par le relief et la végétation, à l'exception du secteur C. Ce dernier est réduit car les projets accordés du Cornouiller et du Routis sont masqués par le relief mais le parc construit du Chemin de l'Ormelet est lui bien visible.

Le tableau de synthèse de l'étude d'encerclement théorique et réelle (fig. 216) indique donc logiquement une baisse du cumul angulaire entre le théorique et le réel, passant de 127° à 14°, soit une baisse de 113°. Le plus grand angle de respiration augmente de 178°, passant de 83° à 261°. L'indice de densité augmente.

L'étude d'encerclement théorique mettait en évidence un seuil d'alerte atteint pour les deux indicateurs importants (cumul angulaire et plus grand espace de respiration visuelle). Le cumul angulaire, qui était supérieur au seuil d'alerte de 120°, n'est plus atteint selon l'étude d'encerclement réel depuis ce point de vue. Il en est de même avec le plus grand espace de respiration visuelle, qui repasse sous le seuil d'alerte de 160°. Ainsi, le risque d'effet d'encerclement que mettait en évidence l'étude d'encerclement théorique n'existe pas d'après l'étude d'encerclement réel.



■ **Esquisse filaire plein cadre avec indexation du contexte - Champ visuel horizontal de l'image : 120°**



■ **Esquisse filaire plein cadre avec indexation du contexte - Champ visuel horizontal de l'image : 120°**



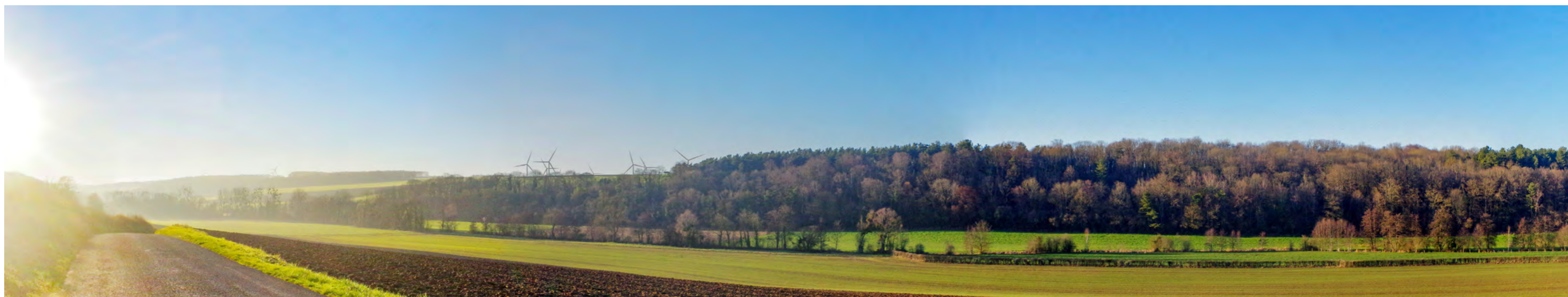
■ **Esquisse filaire plein cadre avec indexation du contexte - Champ visuel horizontal de l'image : 120°**



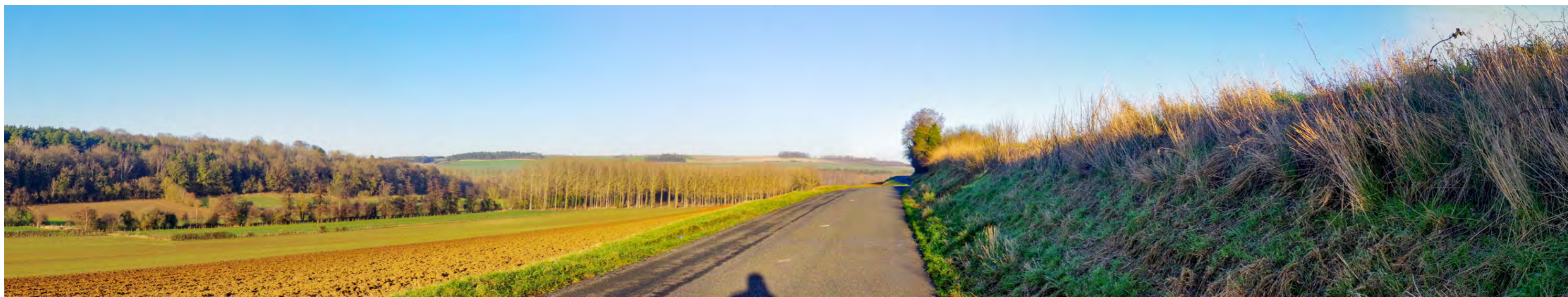
■ Vue réaliste plein cadre - Champ visuel horizontal de l'image : 120°



■ Vue réaliste plein cadre - Champ visuel horizontal de l'image : 120°



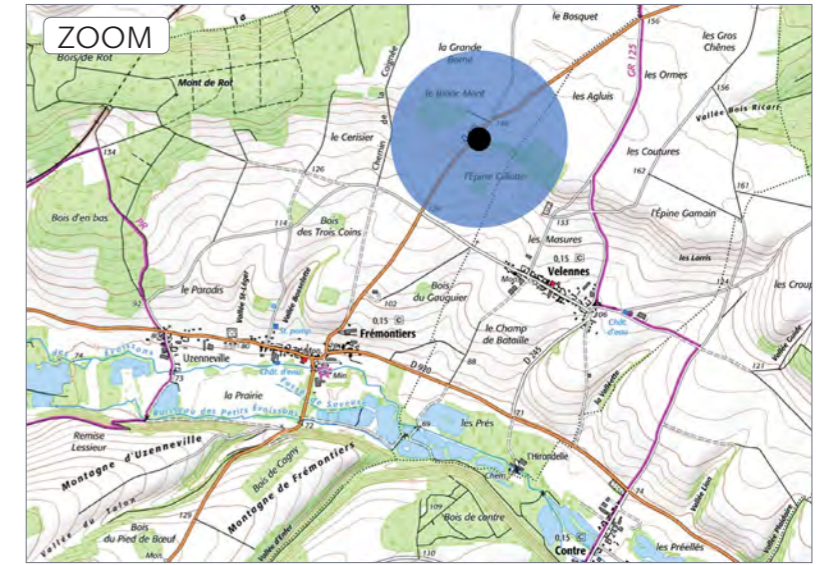
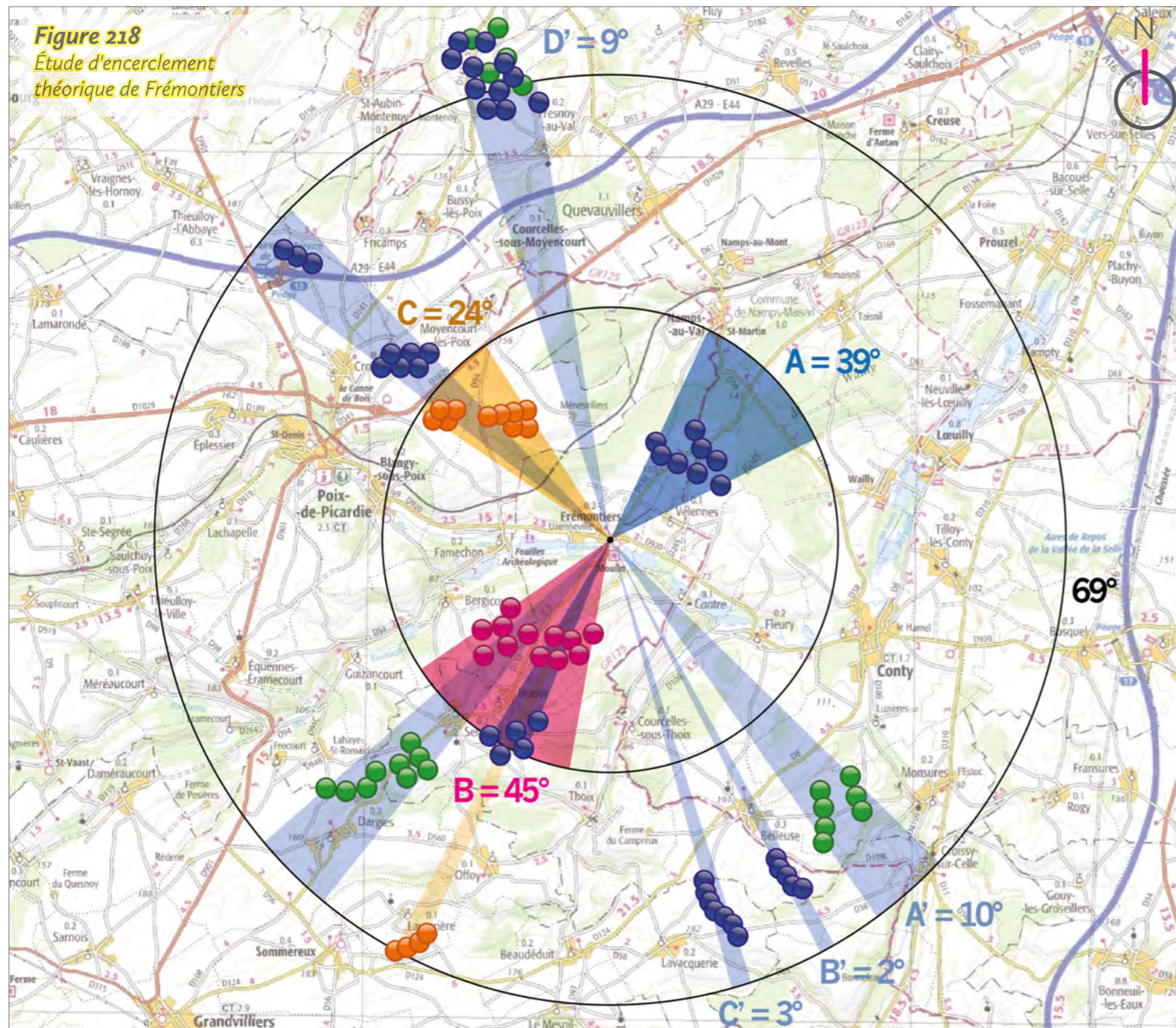
■ Vue réaliste plein cadre - Champ visuel horizontal de l'image : 120°



► **PDV 22 Frémontiers : entrée nord par la D 138**

Date de prise de vue	Focale (équ. 24x36)	Latitude	Longitude	Altitude (NGF)
02/09/2019	Panoramique 360°	N 49°46'16,0"	E 02°05'12,3"	153 m
Distance à l'éolienne projetée la plus proche	Distance à l'éolienne projetée la plus éloignée	Nombre d'éoliennes des projets visibles	Lieu	
E12 : 3,6 km	E1 : 5,3 km	12	FRÉMONTIERS - Entrée nord par la D 138	

Étude d'encerclement théorique



Commentaires

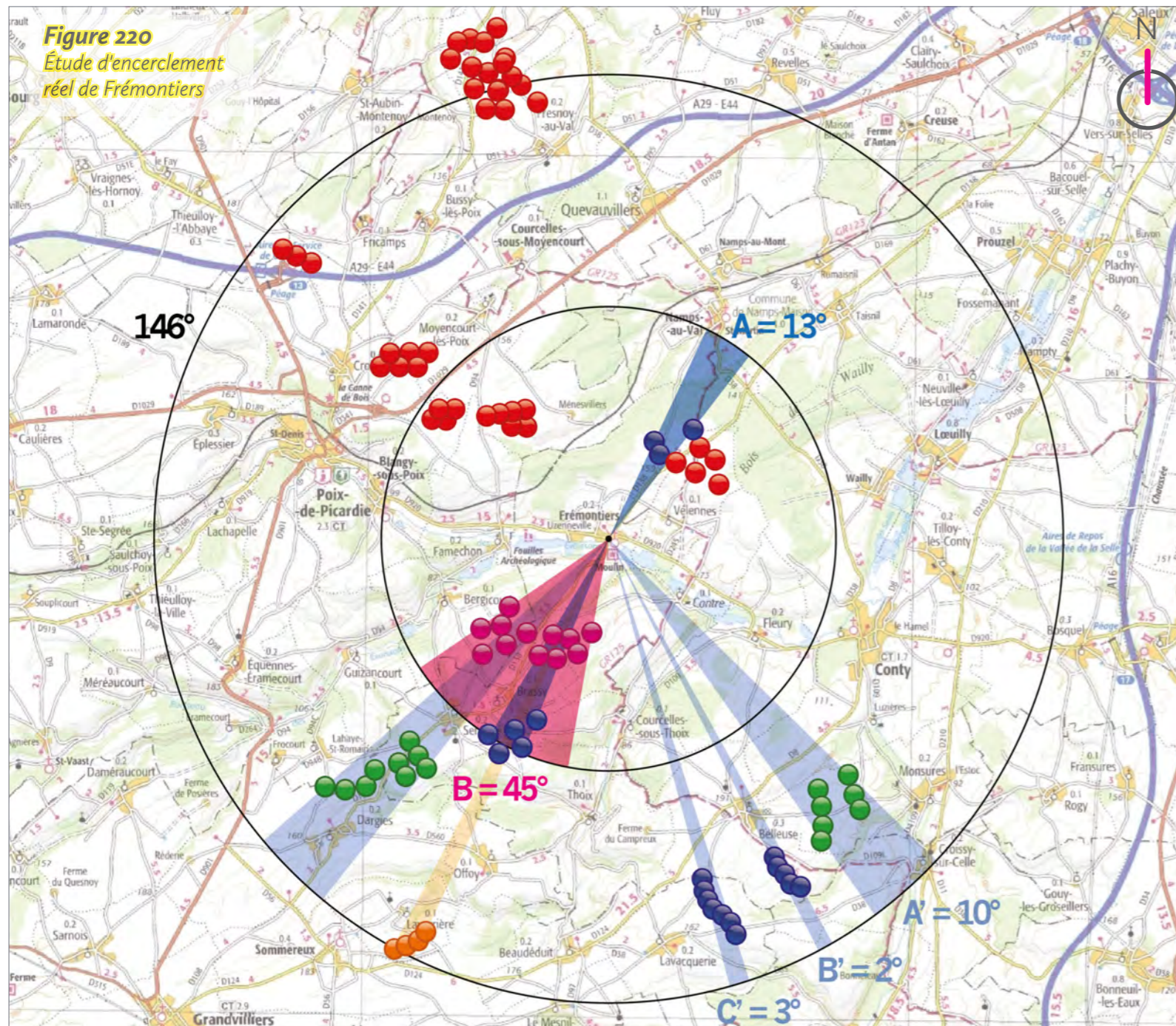
L'observateur se situe en entrée nord de Frémontiers, le long de la D 138. Il se trouve au sommet du versant nord de la vallée des Évoissons, ce qui permet d'avoir une vue très ouverte sur le versant opposé. Frémontiers n'est pas visible dans l'axe de la route, masqué entièrement par la végétation.

Le paysage est ample et très ouvert. L'ampleur de la vallée des Évoissons est parfaitement visible depuis ce point de vue.



Figure 219
Tableau de synthèse de l'étude d'encerclement théorique et réelle

Village étudié	Secteur angulaire du projet dans les 5 km	Indice de densité	Seuil d'alerte	Cumul angulaire	Seuil d'alerte	Plus grand espace de respiration	Seuil d'alerte
Frémontiers théorique	45	0,27	Atteint	132	Atteint	69	Atteint
Frémontiers réel	45	0,27	Atteint	73	En-dessous	146	Atteint



Commentaires

Depuis l'entrée nord de Frémontiers, plusieurs parcs et projets éoliens sont masqués. Les éoliennes masquées, ou très peu incidentes, sont notées en rouge sur le diagramme ci-contre.

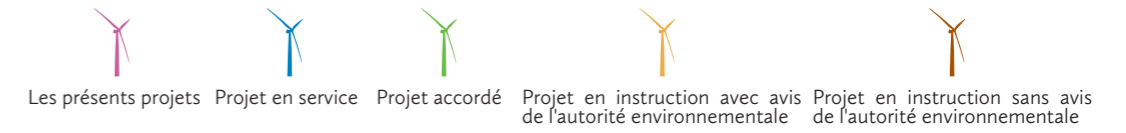
Dans le périmètre de 0 à 5 km, le **secteur A** est réduit car cinq éoliennes du parc construit de Blanc Mont sont masquées par la végétation. Le **secteur B** est conservé car les éoliennes des projets de Corbillon Est et Ouest sont toutes visibles depuis ce point de vue. **Enfin, le secteur C est supprimé car les éoliennes du projet en instruction avec avis d'AE de Ménesvillers sont masquées par le relief et la végétation.**

Dans le périmètre de 5 à 10 km, les secteurs **A', B' et C'** sont conservés car les éoliennes du projet accordé de Monsures et des parcs construits de Lavacquerie et Belleuse sont toutes visibles depuis ce point de vue. **Enfin, le secteur D' est supprimé car les éoliennes du parc construit de Bougainville et du projet accordé de Bougainville sont masquées par le relief.**

Le tableau de synthèse de l'étude d'encerclement théorique et réelle (*fig. 219*) indique donc logiquement une baisse du cumul angulaire entre le théorique et le réel, passant de **132° à 73°, soit une baisse de 59°**. Le plus grand angle de respiration augmente de **77°, passant de 69° à 146°**. **L'indice de densité n'évolue pas.**

L'étude d'encerclement théorique mettait en évidence un seuil d'alerte atteint pour les deux indicateurs importants (cumul angulaire et plus grand espace de respiration visuelle). Le cumul angulaire, qui était supérieur au seuil d'alerte de 120°, n'est plus atteint selon l'étude d'encerclement réel depuis ce point de vue. **En revanche, le seuil d'alerte est toujours atteint concernant le plus grand espace de respiration visuelle. Il existe donc toujours un risque d'encerclement selon la méthode d'encerclement réel depuis ce point de vue.**

D'un point de vue plus sensible et paysager, il n'y a pas d'effet d'encerclement depuis ce point de vue, seulement une présence éolienne marquée en direction des projets de Corbillon Est et Ouest avec plusieurs parcs et projets visibles. Le plus grand espace de respiration visuelle est d'ailleurs très proche de la valeur du seuil d'alerte de 160°. En prenant place dans une portion du paysage déjà occupée par l'éolien depuis ce point de vue, les projets limitent leur incidence.



■ **Esquisse filaire plein cadre avec indexation du contexte - Champ visuel horizontal de l'image : 120°**



■ **Esquisse filaire plein cadre avec indexation du contexte - Champ visuel horizontal de l'image : 120°**



■ **Esquisse filaire plein cadre avec indexation du contexte - Champ visuel horizontal de l'image : 120°**



■ Vue réaliste plein cadre - Champ visuel horizontal de l'image : 120°



■ Vue réaliste plein cadre - Champ visuel horizontal de l'image : 120°



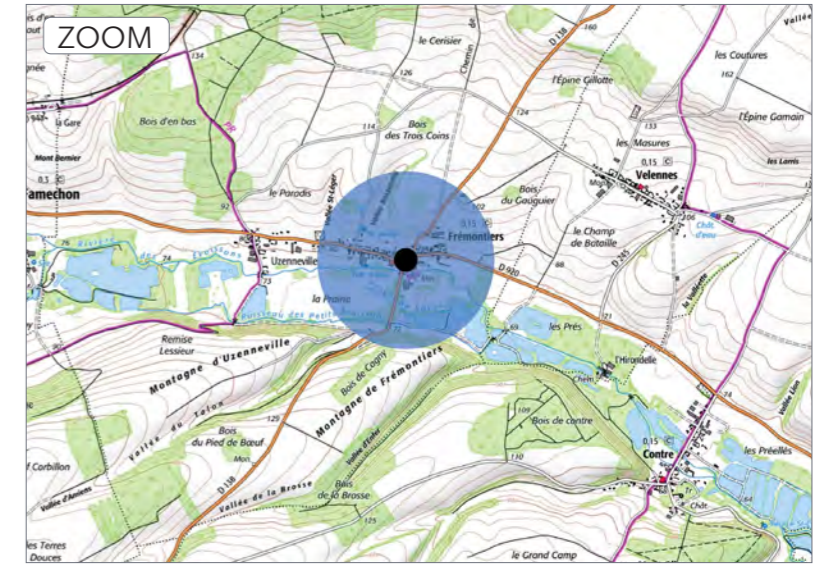
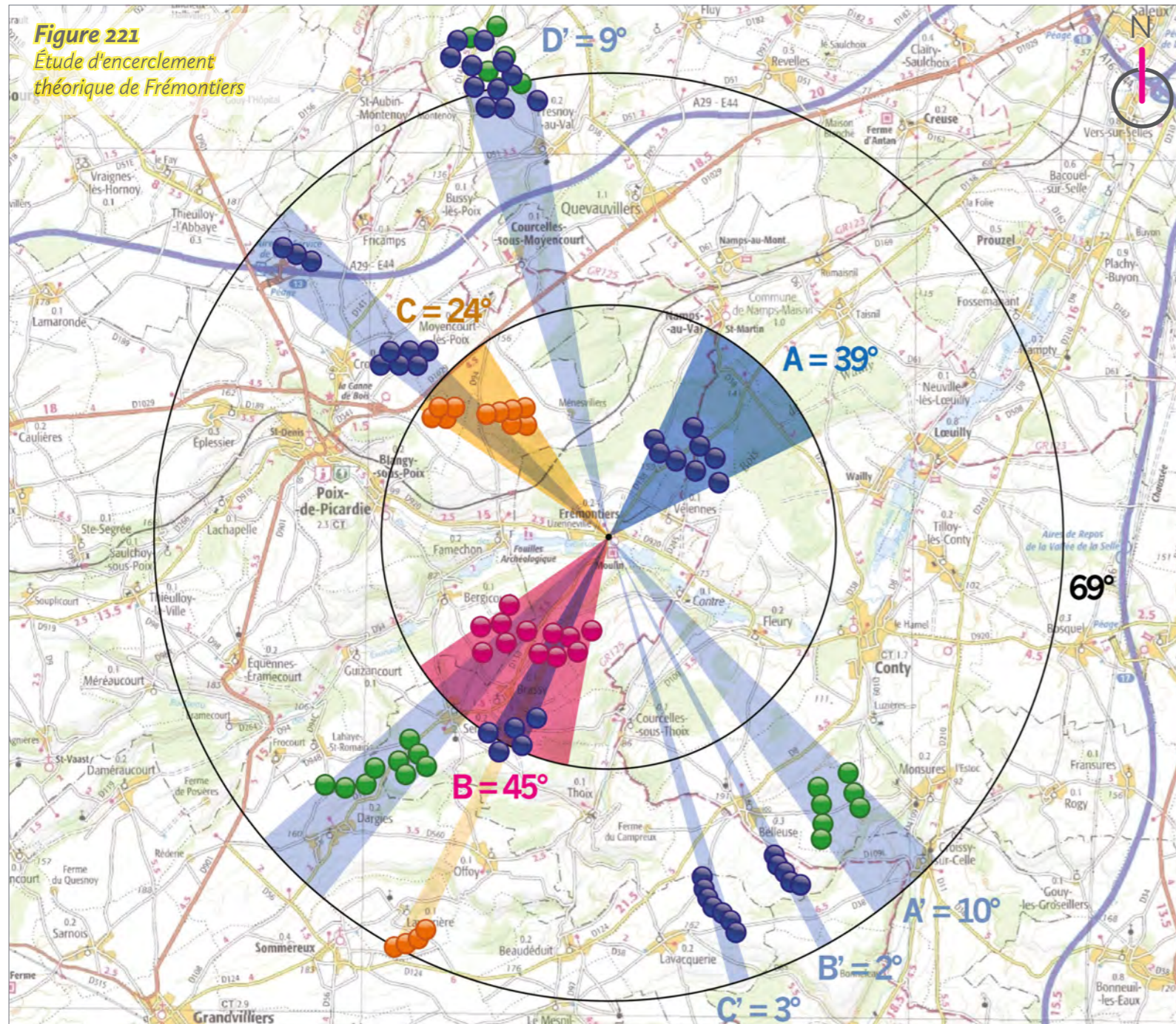
■ Vue réaliste plein cadre - Champ visuel horizontal de l'image : 120°



► **PDV 23 Frémontiers : croisement D 138 et D 920**

Date de prise de vue	Focale (équ. 24x36)	Latitude	Longitude	Altitude (NGF)
18/09/2019	Panoramique 360°	N 49°45'33,6"	E 02°04'24,8"	74 m
Distance à l'éolienne projetée la plus proche	Distance à l'éolienne projetée la plus éloignée	Nombre d'éoliennes des projets visibles	Lieu	
E12 : 2,0 km	E1 : 3,7 km	0	FRÉMONTIERS - Croisement D 138 et D 920	

Étude d'encerclement théorique



Commentaires

L'observateur se situe cette fois en bas du versant nord des Évoissons, dans le fond de la vallée, à l'intérieur du village de Frémontiers. Il se trouve devant l'église classée monument historique du village, vers le carrefour entre la D 920 et la D 138 qui sont les deux routes qui traversent le village.

Les vues sont ici plus refermées, du fait de la forte présence végétale et du bâti dense proche de l'observateur.

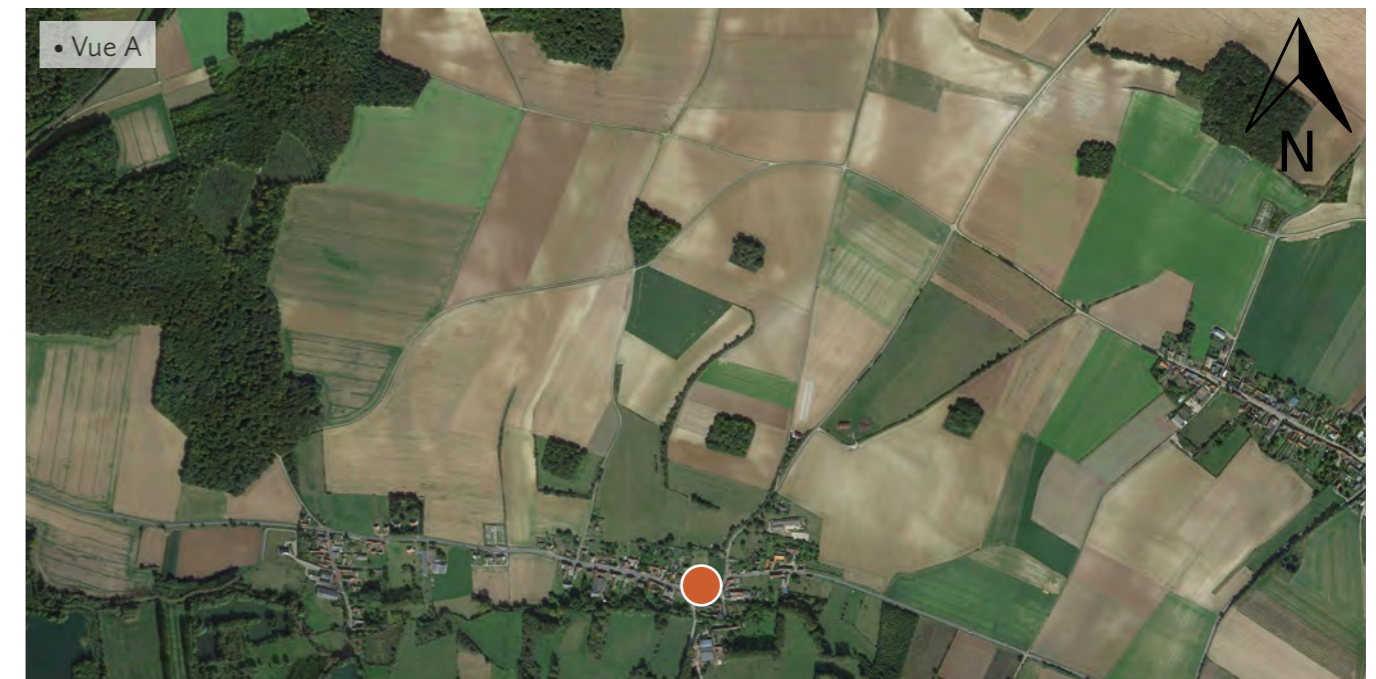
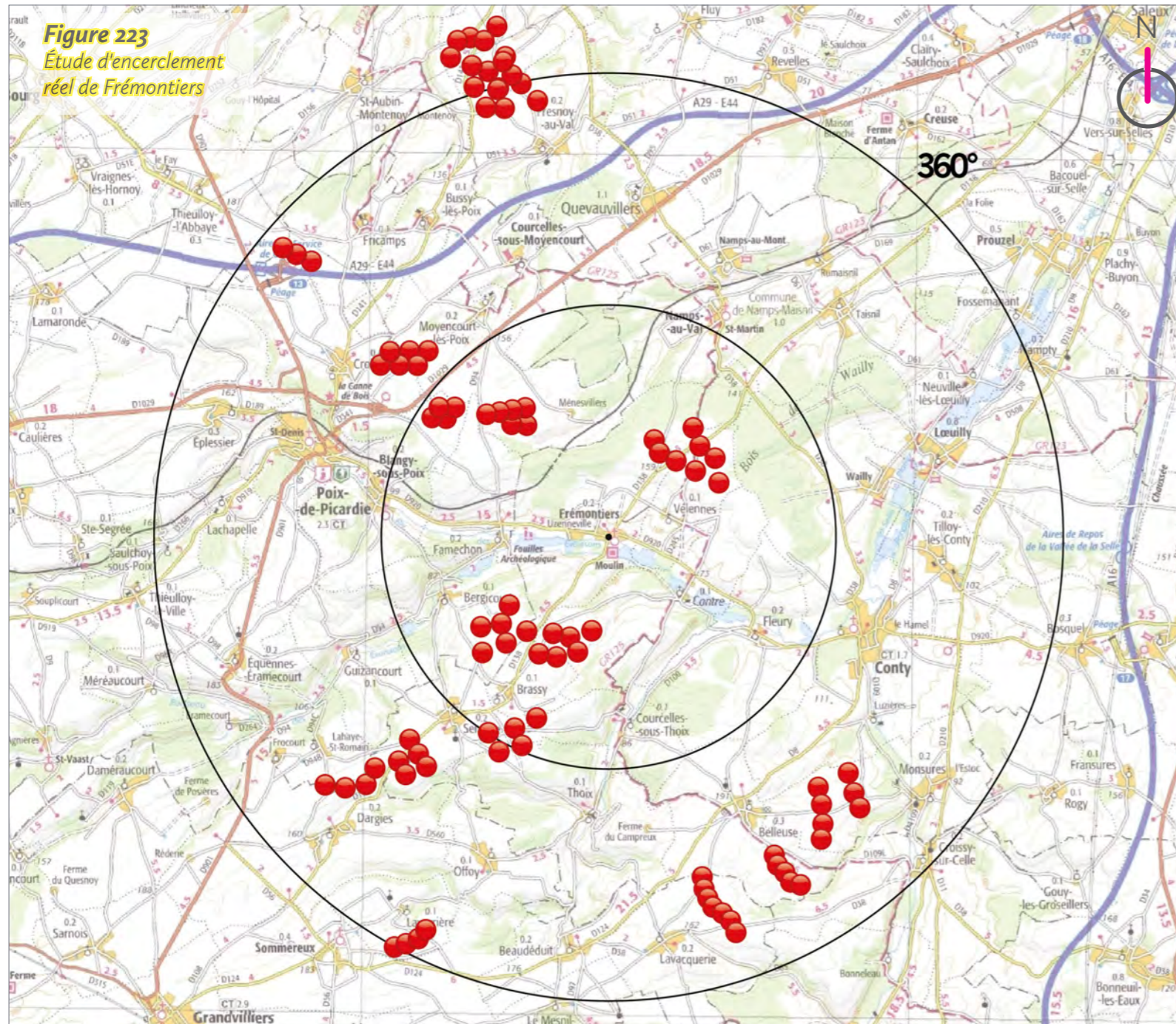


Figure 222
Tableau de synthèse de l'étude d'encerclement théorique et réelle

Village étudié	Secteur angulaire du projet dans les 5 km	Indice de densité	Seuil d'alerte	Cumul angulaire	Seuil d'alerte	Plus grand espace de respiration	Seuil d'alerte
Frémontiers théorique	45	0,27	Atteint	132	Atteint	69	Atteint
Frémontiers réel	0	0,00	En-dessous	0	En-dessous	360	En-dessous



Commentaires

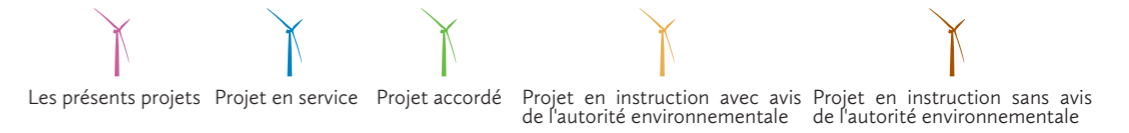
Depuis le centre de Frémontiers, **tous les parcs et projets éoliens sont masqués. Les éoliennes masquées, ou très peu incidentes, sont notées en rouge sur le diagramme ci-contre.**

Dans le périmètre de 0 à 5 km, tous les secteurs sont supprimés car l'ensemble des éoliennes est masqué par le relief et la végétation.

Dans le périmètre de 5 à 10 km, tous les secteurs sont supprimés car l'ensemble des éoliennes est masqué par le relief.

Le tableau de synthèse de l'étude d'encerclement théorique et réelle (**fig. 222**) indique donc logiquement une baisse du cumul angulaire entre le théorique et le réel, passant de **132° à 0°, soit une baisse de 132°**. Le plus grand angle de respiration augmente de **291°, passant de 69° à 360°**. **L'indice de densité diminue également.**

L'étude d'encerclement théorique mettait en évidence un seuil d'alerte atteint pour les deux indicateurs importants (cumul angulaire et plus grand espace de respiration visuelle). Le cumul angulaire, qui était supérieur au seuil d'alerte de 120°, n'est plus atteint selon l'étude d'encerclement réel depuis ce point de vue. Il en est de même avec le plus grand espace de respiration visuelle, qui repasse sous le seuil d'alerte de **160°**. Ainsi, le risque d'effet d'encerclement que mettait en évidence l'étude d'encerclement théorique n'existe pas d'après l'étude d'encerclement réel.



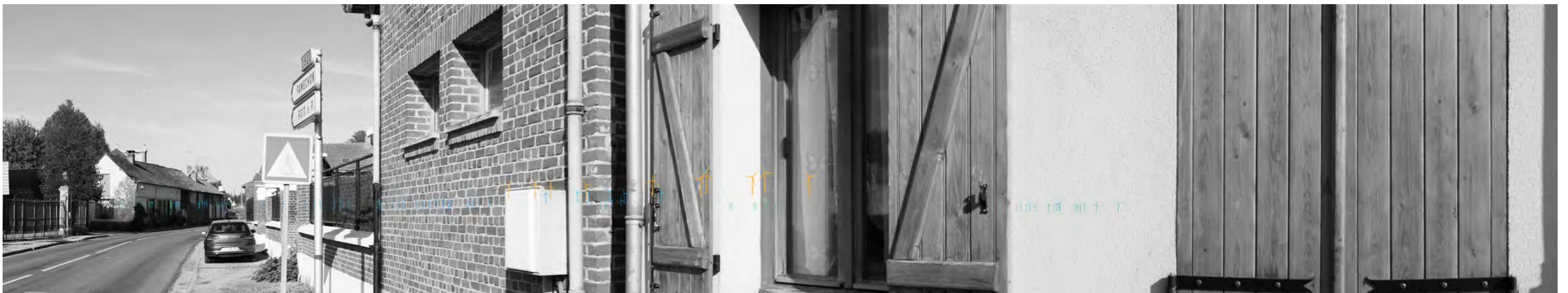
■ **Esquisse filaire plein cadre avec indexation du contexte - Champ visuel horizontal de l'image : 120°**



■ **Esquisse filaire plein cadre avec indexation du contexte - Champ visuel horizontal de l'image : 120°**



■ **Esquisse filaire plein cadre avec indexation du contexte - Champ visuel horizontal de l'image : 120°**



■ Vue réaliste plein cadre - Champ visuel horizontal de l'image : 120°



■ Vue réaliste plein cadre - Champ visuel horizontal de l'image : 120°



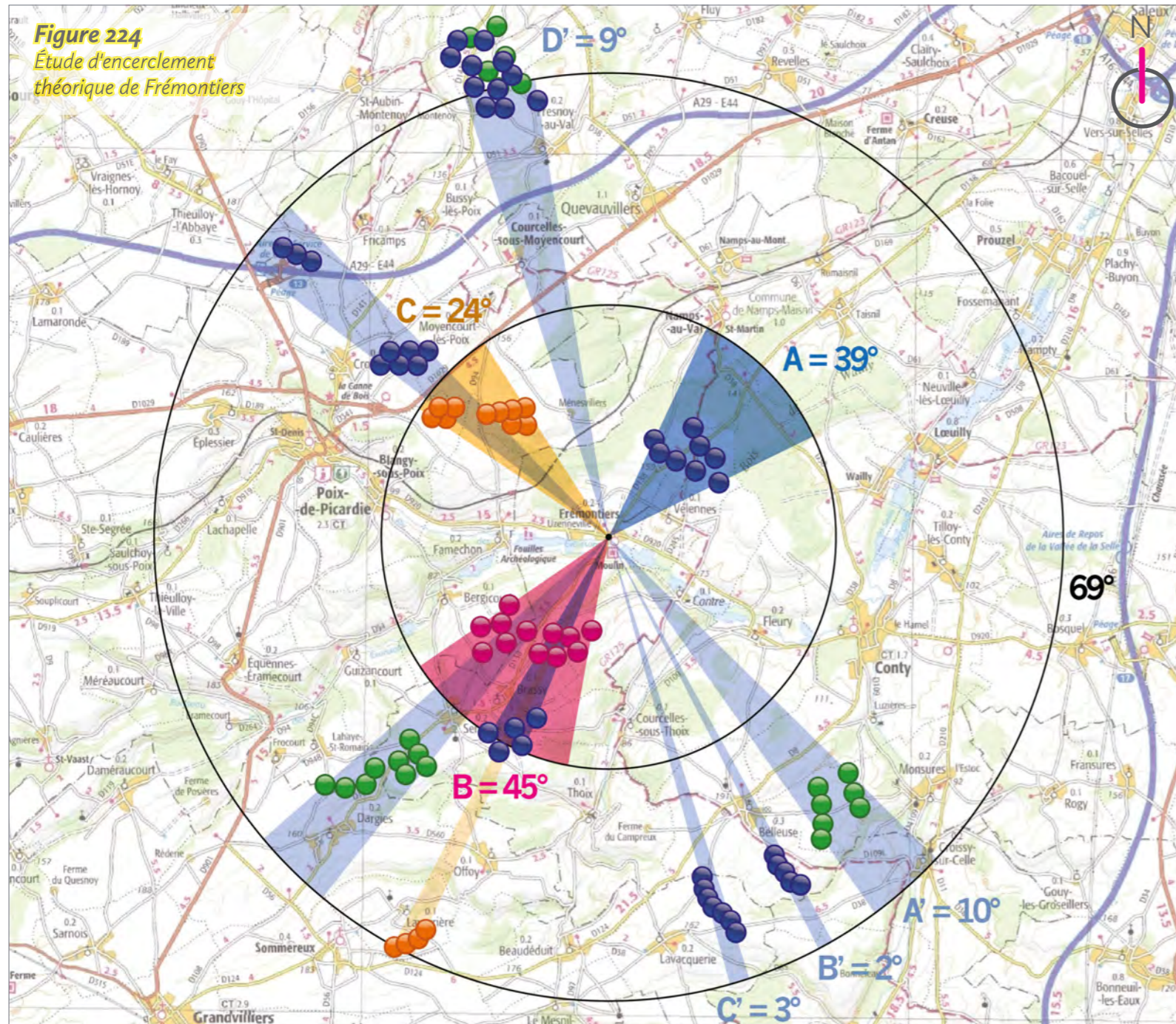
■ Vue réaliste plein cadre - Champ visuel horizontal de l'image : 120°



► PDV 24 Frémontiers : au sud par la D 138

Date de prise de vue	Focale (équ. 24x36)	Latitude	Longitude	Altitude (NGF)
14/01/2022	Panoramique 360°	N 49°44'53,1"	E 02°03'41,9"	137 m
Distance à l'éolienne projetée la plus proche	Distance à l'éolienne projetée la plus éloignée	Nombre d'éoliennes des projets visibles	Lieu	
Eg : 0,9 km	E1 : 2,2 km	12	FRÉMONTIERS - Au sud par la D 138	

Étude d'encerclement théorique



Commentaires

L'observateur se situe en sortie éloignée de Frémontiers, le long de la D 138, devant un mémorial de guerre. Il se trouve entre les villages de Brassy et Frémontiers, sur le même plateau ouvert qui accueille le site des projets éoliens.

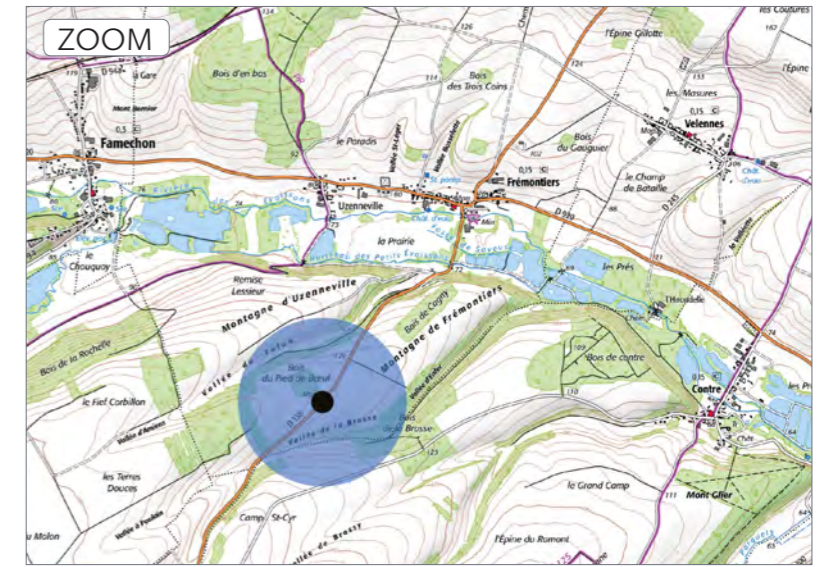
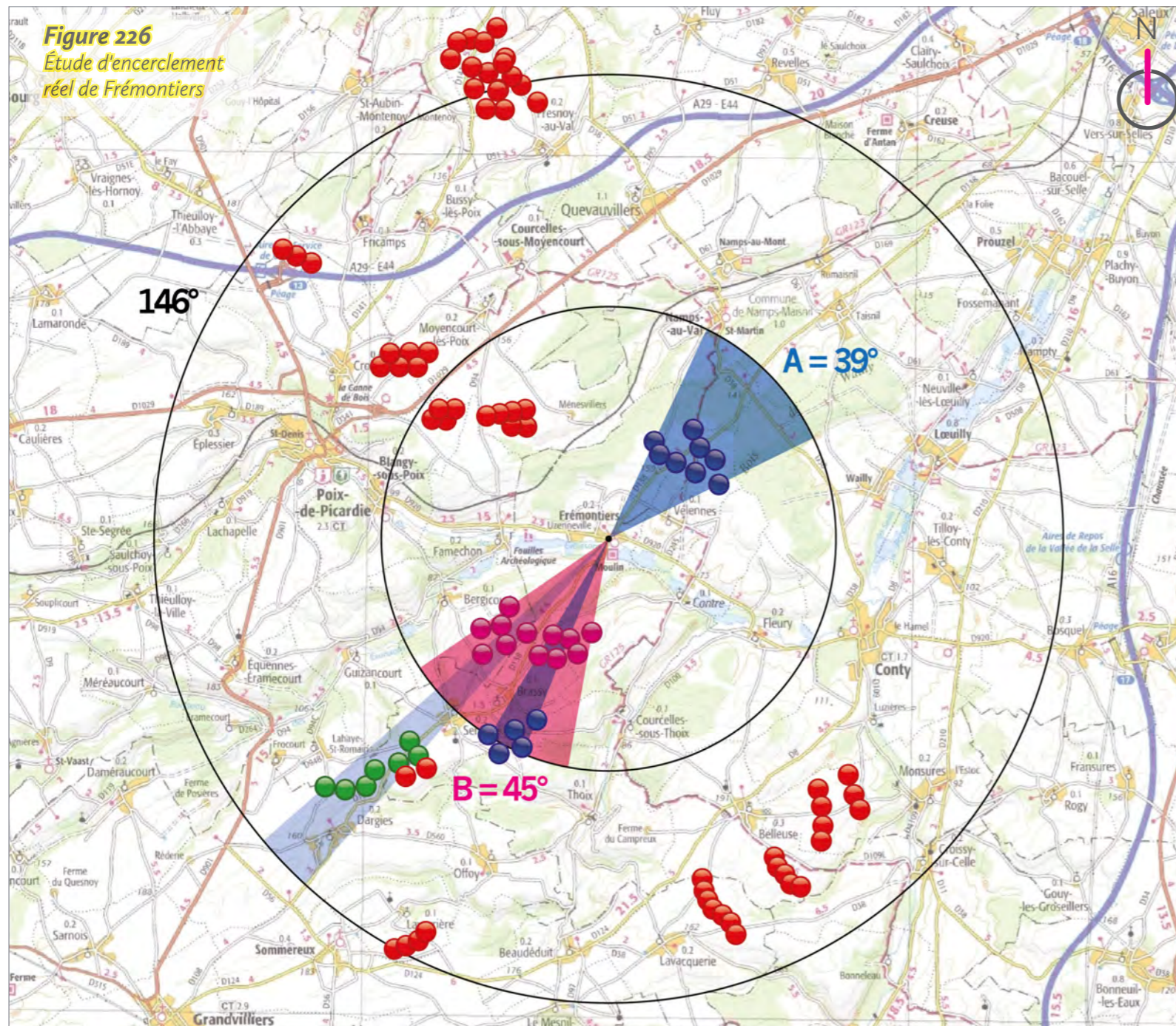


Figure 225
Tableau de synthèse de l'étude d'encerclement théorique et réelle

Village étudié	Secteur angulaire du projet dans les 5 km	Indice de densité	Seuil d'alerte	Cumul angulaire	Seuil d'alerte	Plus grand espace de respiration	Seuil d'alerte
Frémontiers théorique	45	0,27	Atteint	132	Atteint	69	Atteint
Frémontiers réel	45	0,30	Atteint	84	En-dessous	146	Atteint



Commentaires

Depuis la sortie sud de Frémontiers, plusieurs parcs et projets éoliens sont masqués. Les éoliennes masquées, ou très peu incidentes, sont notées en rouge sur le diagramme ci-contre.

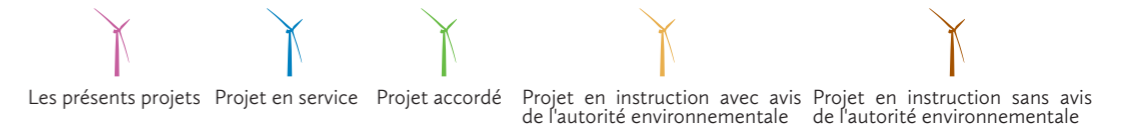
Dans le périmètre de 0 à 5 km, le secteur A est conservé car toutes les éoliennes du parc construit de Blanc Mont sont visibles. Le secteur B est conservé car les éoliennes des projets de Corbillon Est et Ouest sont toutes visibles depuis ce point de vue. Enfin, le secteur C est supprimé car les éoliennes du projet en instruction avec avis d'AE de Ménesvillers sont masquées par le relief et la végétation.

Dans le périmètre de 5 à 10 km, les secteurs A', B' et C' sont supprimés car les éoliennes du projet accordé de Monsures et des parcs construits de Lavacquerie et Belleuse sont toutes masquées par le relief et la végétation depuis ce point de vue. Enfin, le secteur D' est supprimé car les éoliennes du parc construit de Bougainville et du projet accordé de Bougainville sont masquées par le relief.

Le tableau de synthèse de l'étude d'encerclement théorique et réelle (fig. 225) indique donc logiquement une baisse du cumul angulaire entre le théorique et le réel, passant de 132° à 84°, soit une baisse de 48°. Le plus grand angle de respiration augmente de 77°, passant de 69° à 146°. L'indice de densité augmente.

L'étude d'encerclement théorique mettait en évidence un seuil d'alerte atteint pour les deux indicateurs importants (cumul angulaire et plus grand espace de respiration visuelle). Le cumul angulaire, qui était supérieur au seuil d'alerte de 120°, n'est plus atteint selon l'étude d'encerclement réel depuis ce point de vue. En revanche, le seuil d'alerte est toujours atteint concernant le plus grand espace de respiration visuelle. Il existe donc toujours un risque d'encerclement selon la méthode d'encerclement réel depuis ce point de vue.

D'un point de vue plus sensible et paysager, il n'y a pas d'effet d'encerclement depuis ce point de vue, seulement une présence éolienne marquée en direction des projets de Corbillon Est et Ouest avec plusieurs parcs et projets visibles. Le plus grand espace de respiration visuelle est d'ailleurs très proche de la valeur du seuil d'alerte de 160°. En prenant place dans une portion du paysage déjà occupée par l'éolien depuis ce point de vue, les projets limitent leur incidence.



■ **Esquisse filaire plein cadre avec indexation du contexte - Champ visuel horizontal de l'image : 120°**



■ **Esquisse filaire plein cadre avec indexation du contexte - Champ visuel horizontal de l'image : 120°**



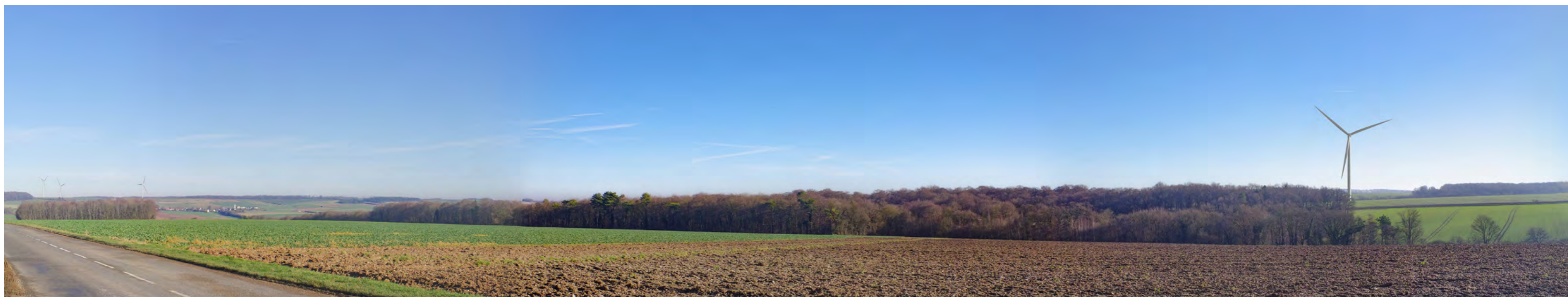
■ **Esquisse filaire plein cadre avec indexation du contexte - Champ visuel horizontal de l'image : 120°**



■ Vue réaliste plein cadre - Champ visuel horizontal de l'image : 120°



■ Vue réaliste plein cadre - Champ visuel horizontal de l'image : 120°



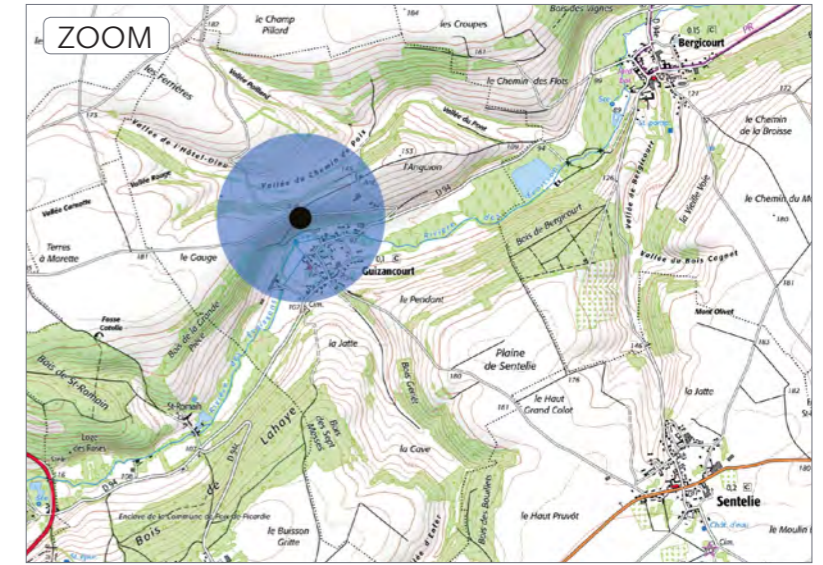
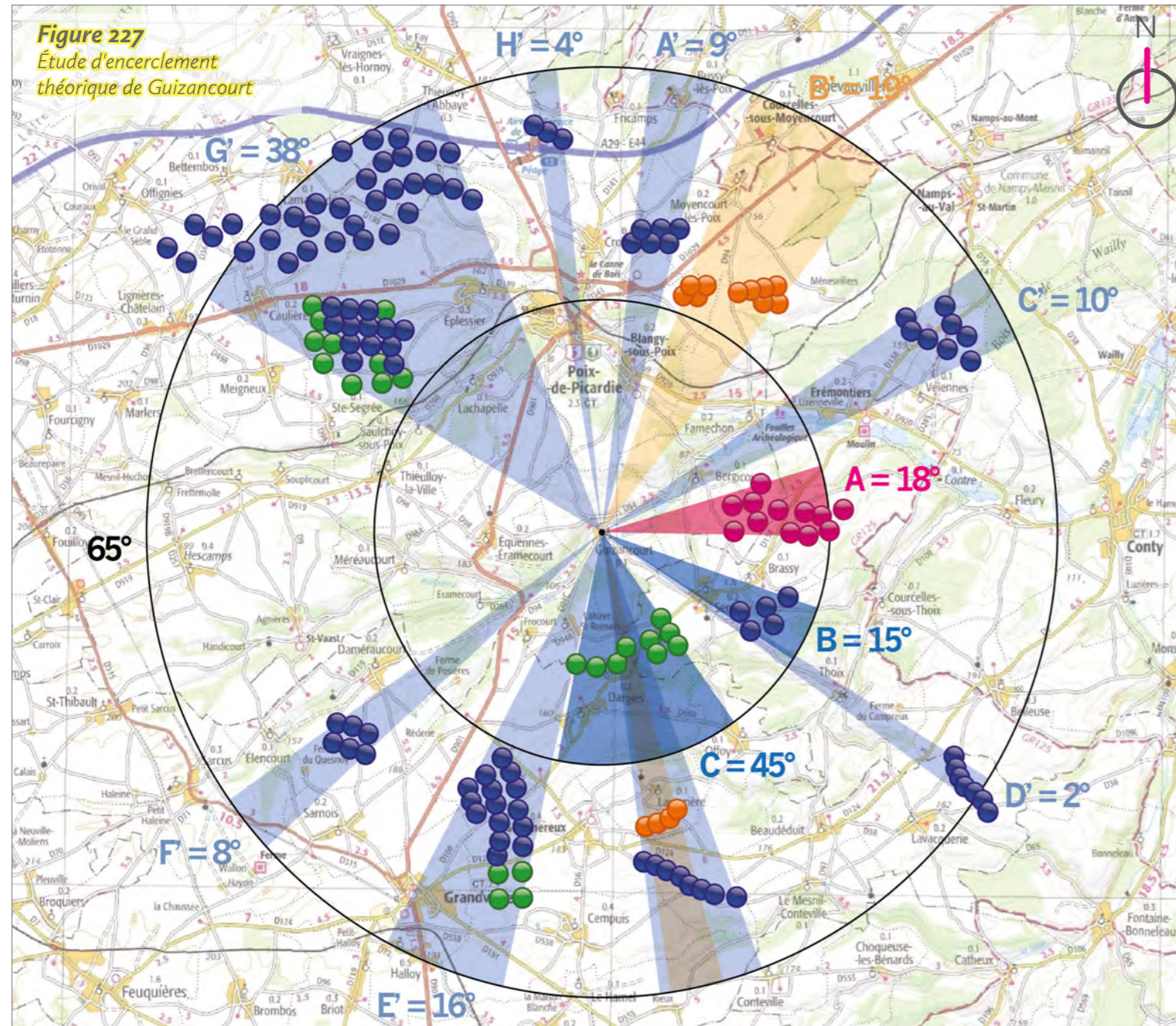
■ Vue réaliste plein cadre - Champ visuel horizontal de l'image : 120°



► **PDV 25 Guizancourt : au nord en haut de la Montagne**

Date de prise de vue	Focale (équ. 24x36)	Latitude	Longitude	Altitude (NGF)
14/01/2022	Panoramique 360°	N 49°44'19,8"	E 01°59'34,3"	152 m
Distance à l'éolienne projetée la plus proche	Distance à l'éolienne projetée la plus éloignée	Nombre d'éoliennes des projets visibles	Lieu	
E2 : 3,0 km	E12 : 5,5 km	9	GUIZANCOURT - Au nord en haut de la Montagne	

Étude d'encerclement théorique



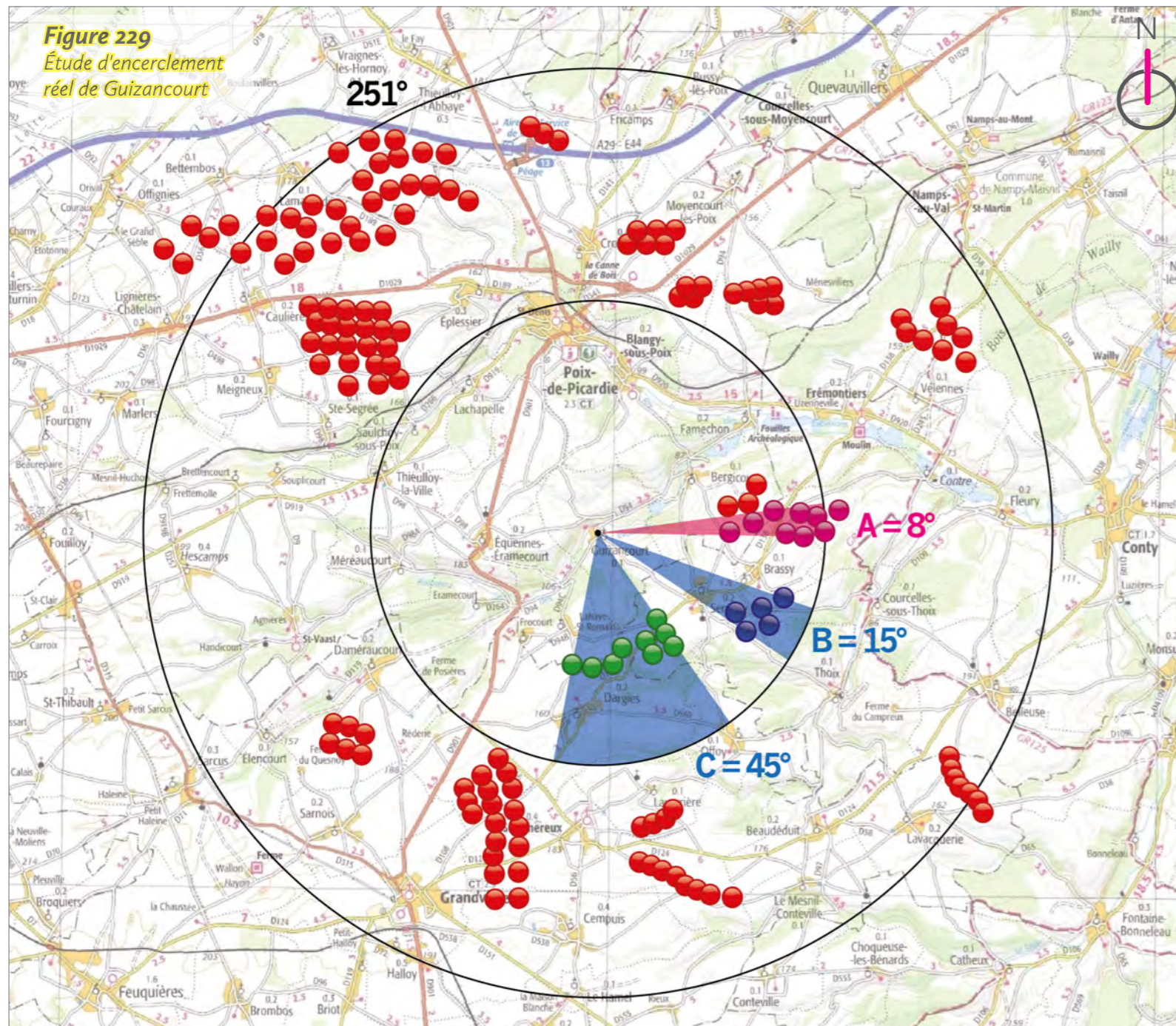
Commentaires

L'observateur se situe sur les hauteurs du village de Guizancourt, au nord, au sommet de la "Montagne de Guizancourt". C'est un point de vue accessible par la route qui passe au nord du village sur les hauteurs ou par un chemin de randonnée dont le départ se fait au cœur du village et remonte le versant nord de la vallée des Évoissons. Les vues sont très ouvertes vers le sud et offrent un panorama sur le village de Guizancourt et la vallée des Évoissons. Dans les autres directions, les vues sont fermées par la végétation et le relief.



Figure 228
Tableau de synthèse de l'étude d'encerclement théorique et réelle

Village étudié	Secteur angulaire du projet dans les 5 km	Indice de densité	Seuil d'alerte	Cumul angulaire	Seuil d'alerte	Plus grand espace de respiration	Seuil d'alerte
Guizancourt théorique	18	0,14	Atteint	184	Atteint	65	Atteint
Guizancourt réel	8	0,34	Atteint	68	En-dessous	251	En-dessous



Commentaires

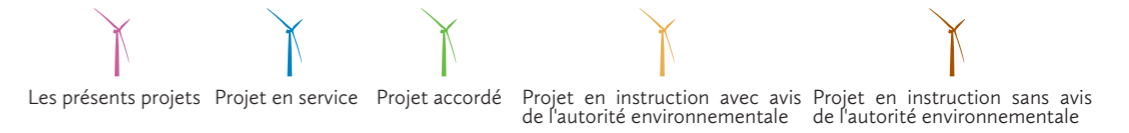
Depuis le nord de Guizancourt, plusieurs parcs et projets éoliens sont masqués. Les éoliennes masquées, ou très peu incidentes, sont notées en rouge sur le diagramme ci-contre.

Dans le périmètre de 0 à 5 km, le secteur A est réduit car les éoliennes E2, E4 et E5 du projet de Corbillon Ouest sont masquées par la végétation. Les secteurs B et C sont eux conservés car les projets accordés du Cornouiller et du Routis et le parc construit du Chemin de l'Ormelet sont tous visibles depuis ce point de vue.

Dans le périmètre de 5 à 10 km, tous les secteurs sont supprimés car l'ensemble des éoliennes de ce périmètre est masqué par le relief et la végétation.

Le tableau de synthèse de l'étude d'encerclement théorique et réelle (fig. 228) indique donc logiquement une baisse du cumul angulaire entre le théorique et le réel, passant de 184° à 68°, soit une baisse de 116°. Le plus grand angle de respiration augmente de 186°, passant de 65° à 251°. L'indice de densité augmente.

L'étude d'encerclement théorique mettait en évidence un seuil d'alerte atteint pour les deux indicateurs importants (cumul angulaire et plus grand espace de respiration visuelle). Le cumul angulaire, qui était supérieur au seuil d'alerte de 120°, n'est plus atteint selon l'étude d'encerclement réel depuis ce point de vue. Il en est de même avec le plus grand espace de respiration visuelle, qui repasse sous le seuil d'alerte de 160°. Ainsi, le risque d'effet d'encerclement que mettait en évidence l'étude d'encerclement théorique n'existe pas d'après l'étude d'encerclement réel.



■ **Esquisse filaire plein cadre avec indexation du contexte - Champ visuel horizontal de l'image : 120°**



■ **Esquisse filaire plein cadre avec indexation du contexte - Champ visuel horizontal de l'image : 120°**



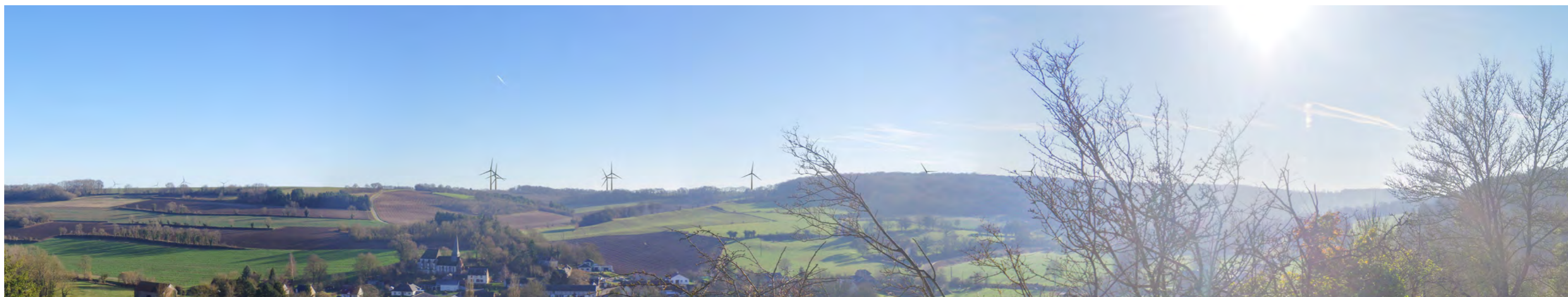
■ **Esquisse filaire plein cadre avec indexation du contexte - Champ visuel horizontal de l'image : 120°**



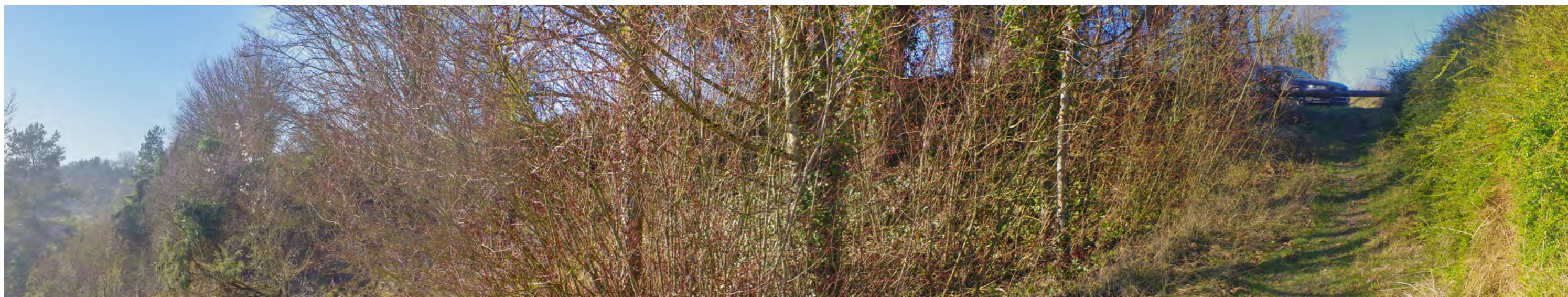
■ Vue réaliste plein cadre - Champ visuel horizontal de l'image : 120°



■ Vue réaliste plein cadre - Champ visuel horizontal de l'image : 120°



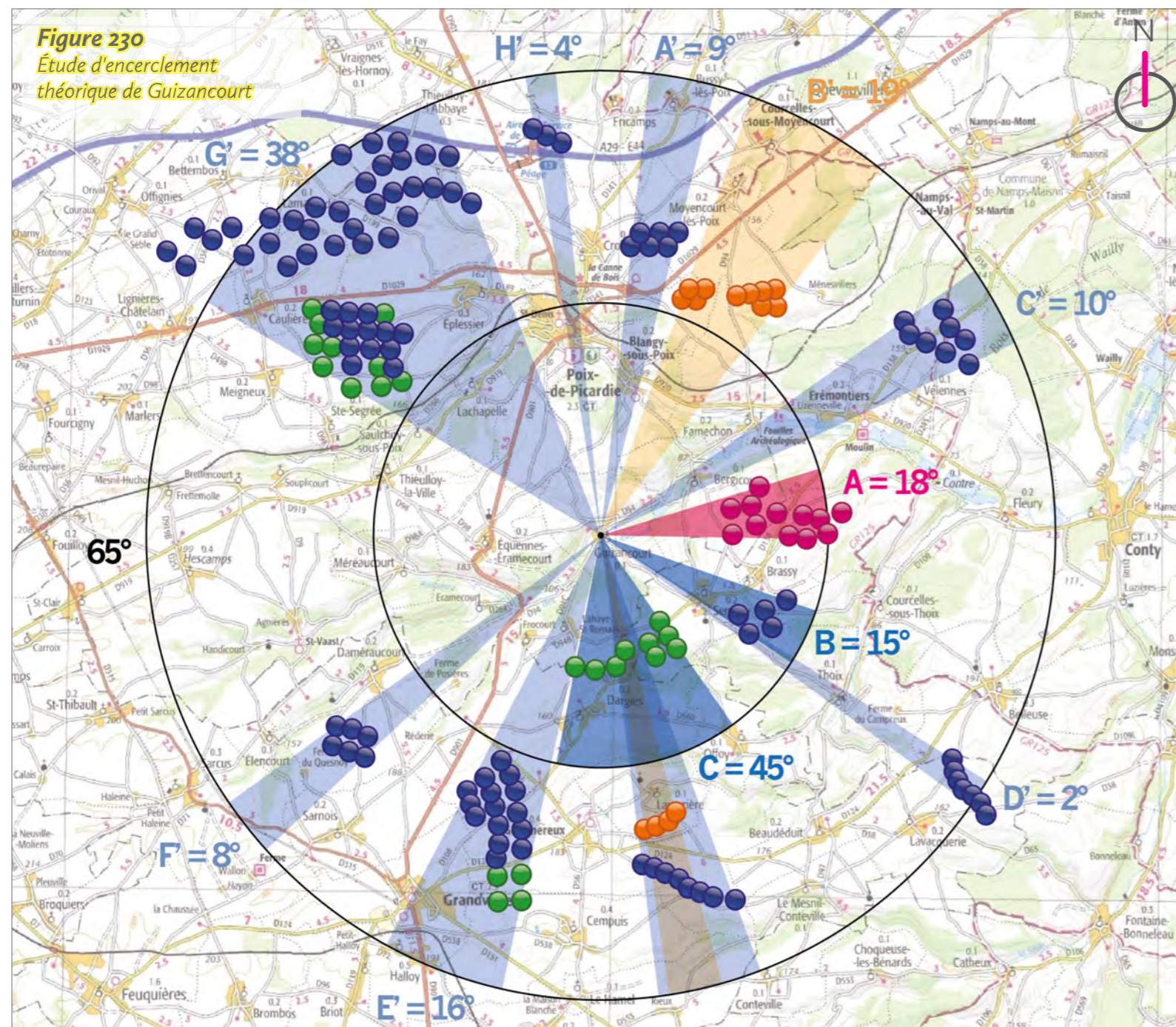
■ Vue réaliste plein cadre - Champ visuel horizontal de l'image : 120°



► PDV 26 Guizancourt : au sud par la route de Sentelie

Date de prise de vue	Focale (équ. 24x36)	Latitude	Longitude	Altitude (NGF)
14/01/2022	Panoramique 360°	N 49°43'49,6"	E 02°00'22,8"	180 m
Distance à l'éolienne projetée la plus proche	Distance à l'éolienne projetée la plus éloignée	Nombre d'éoliennes des projets visibles	Lieu	
E1 : 2,2 km	E12 : 4,7 km	12	GUIZANCOURT - Au sud par la route de Sentelie	

Étude d'encerclement théorique



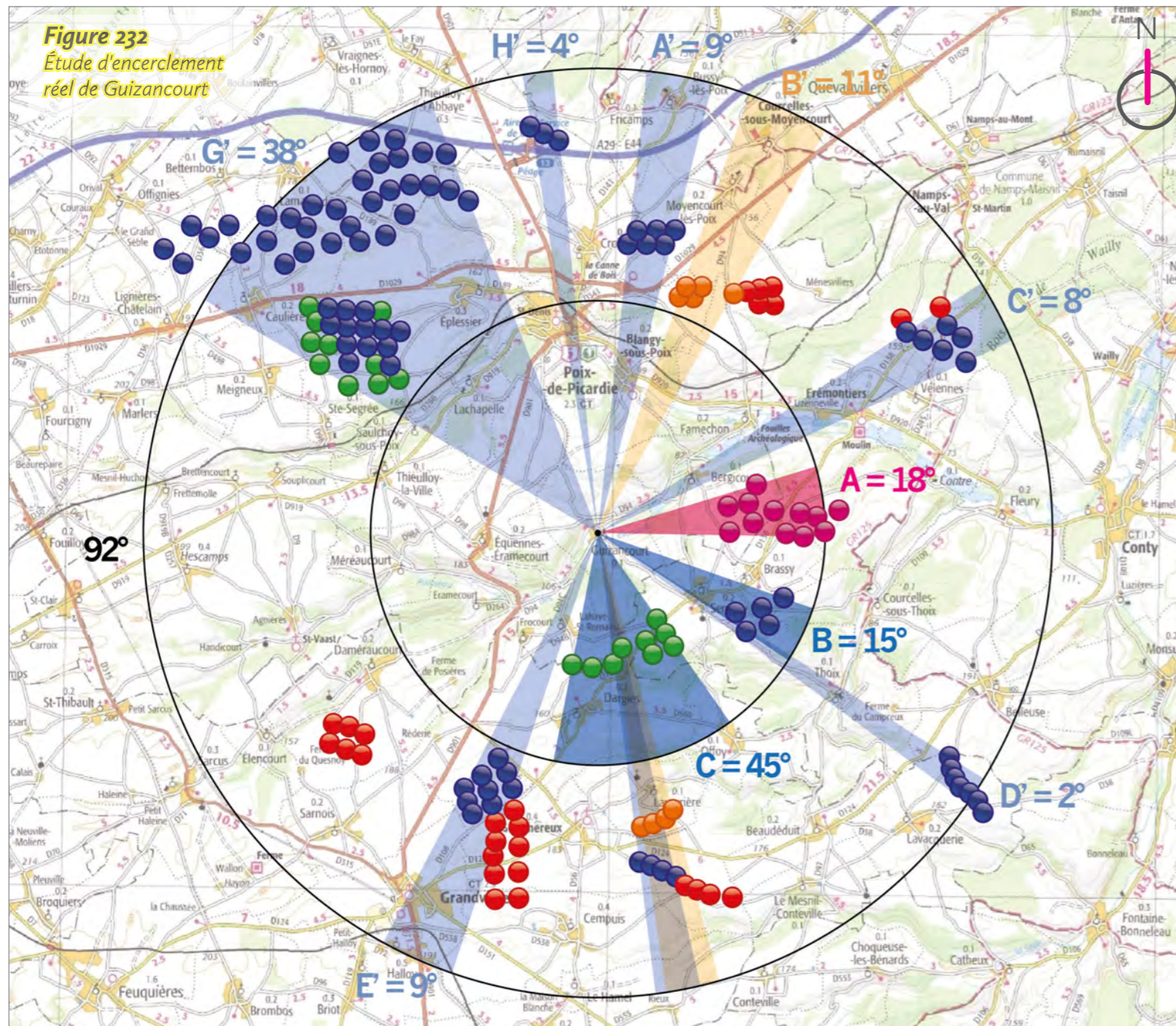
Commentaires

L'observateur se situe cette fois au sud du village de Guizancourt, à 1 km du centre-bourg, sur la route qui mène au village de Sentelie. Elle emprunte le versant est de la vallée des Évoissons et rejoint ensuite le plateau qui accueille également le site des projets. Les vues sont donc plus ouvertes car le relief est moins présent, mais la végétation joue tout de même un rôle important de filtre visuel.



Figure 231
Tableau de synthèse de l'étude d'encerclement théorique et réelle

Village étudié	Secteur angulaire du projet dans les 5 km	Indice de densité	Seuil d'alerte	Cumul angulaire	Seuil d'alerte	Plus grand espace de respiration	Seuil d'alerte
Guizancourt théorique	18	0,14	Atteint	184	Atteint	65	Atteint
Guizancourt réel	18	0,16	Atteint	159	Atteint	92	Atteint



Commentaires

Depuis la sortie sud de Guizancourt, à 1 km du centre-bourg, plusieurs parcs et projets éoliens sont masqués. Les éoliennes masquées, ou très peu incidentes, sont notées en rouge sur le diagramme ci-contre.

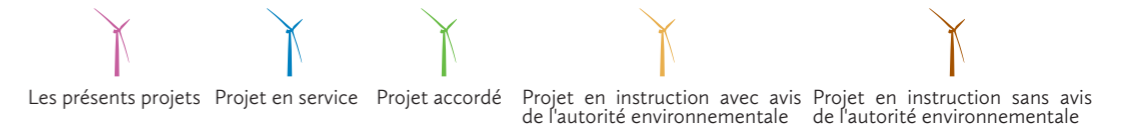
Dans le périmètre de 0 à 5 km, tous les secteurs sont conservés car les éoliennes des projets de Corbillon Est et Ouest, du parc construit du Chemin de l'Ormelet et des projets accordés du Cornouiller et du Routis sont toutes visibles depuis ce point de vue.

Dans le périmètre de 5 à 10 km, le secteur A' est conservé car le parc construit de Croixrault est visible. Le secteur B' est réduit car des éoliennes du projet en instruction avec avis d'AE de Ménevilleers sont masquées par un boisement. Le secteur C' est réduit car deux éoliennes du parc construit de Blanc Mont sont masquées par un boisement. Le secteur D' est conservé car les éoliennes du parc construit de Lavacquerie sont toutes visibles. Le secteur E' est réduit car les éoliennes du projet accordé de Sommereux et Cempuis et du parc construit de Champ Vert sont masquées par la végétation. Le secteur F' est supprimé car les éoliennes du parc construit de Dameraucourt sont masquées par le relief. Enfin, les secteurs G' et H' sont conservés.

Le tableau de synthèse de l'étude d'encerclement théorique et réelle (fig. 231) indique donc logiquement une baisse du cumul angulaire entre le théorique et le réel, passant de 184° à 159°, soit une baisse de 25°. Le plus grand angle de respiration augmente de 27°, passant de 65° à 92°. L'indice de densité augmente.

L'étude d'encerclement théorique mettait en évidence un seuil d'alerte atteint pour les deux indicateurs importants (cumul angulaire et plus grand espace de respiration visuelle), ce que confirme l'étude d'encerclement réel depuis ce point de vue.

D'un point de vue plus sensible et paysager, l'encerclement est bien présent depuis ce point de vue, avec des éoliennes visibles tout autour de l'observateur, sur différents plans. Les projets de Corbillon Est et Ouest prennent place dans un paysage déjà encadré depuis ce point de vue, et ne font que renforcer cet effet en augmentant le cumul angulaire mais sans réduire le plus grand espace de respiration visuelle disponible en prenant place dans une portion du paysage déjà occupée par l'éolien.



■ **Esquisse filaire plein cadre avec indexation du contexte - Champ visuel horizontal de l'image : 120°**



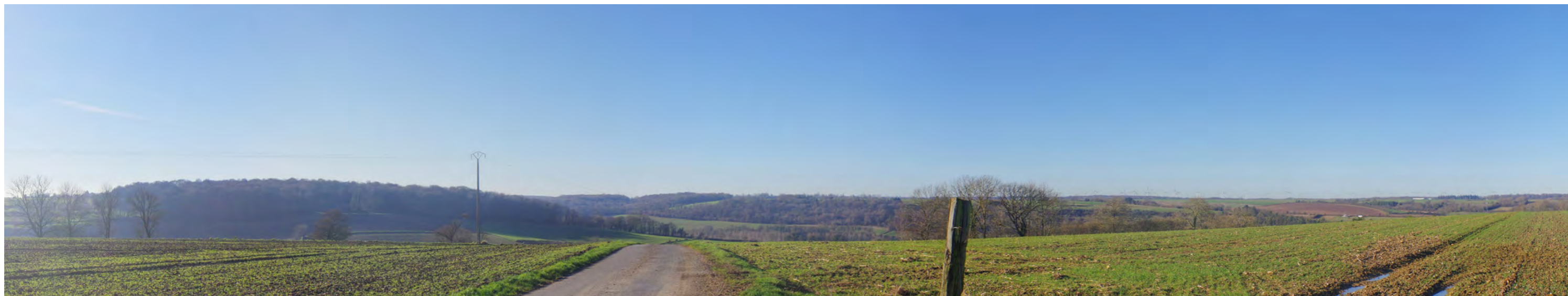
■ **Esquisse filaire plein cadre avec indexation du contexte - Champ visuel horizontal de l'image : 120°**



■ **Esquisse filaire plein cadre avec indexation du contexte - Champ visuel horizontal de l'image : 120°**



■ Vue réaliste plein cadre - Champ visuel horizontal de l'image : 120°



■ Vue réaliste plein cadre - Champ visuel horizontal de l'image : 120°



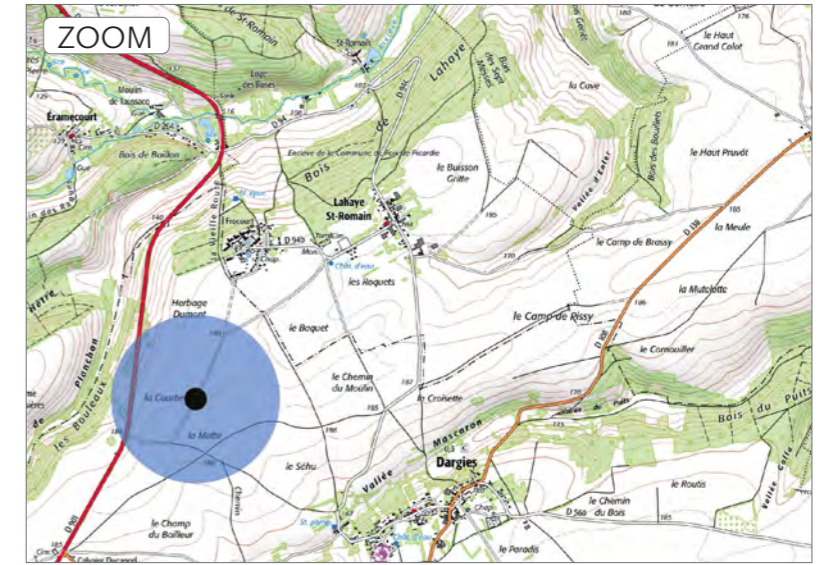
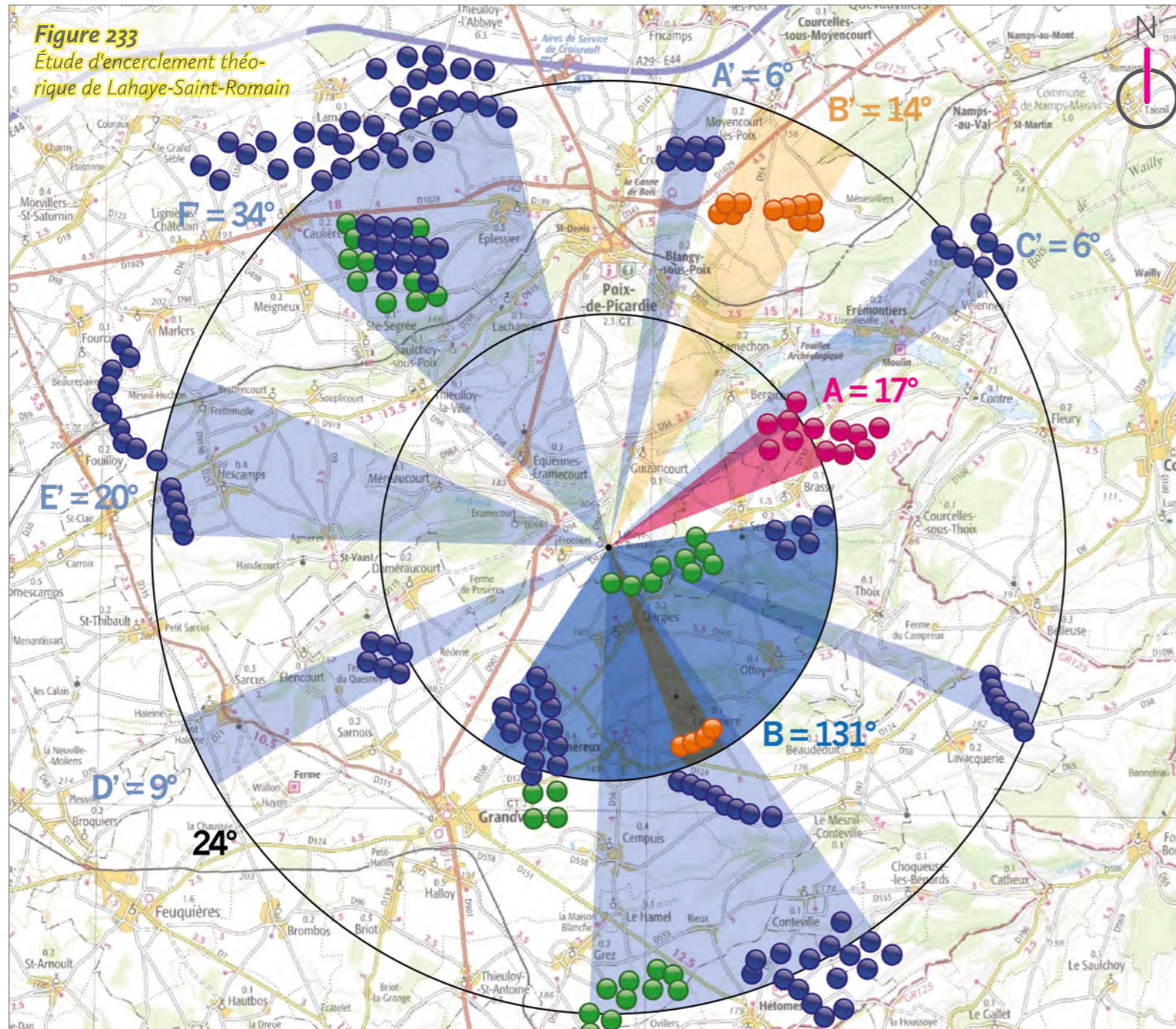
■ Vue réaliste plein cadre - Champ visuel horizontal de l'image : 120°



► PDV 27 Lahaye-Saint-Romain : au sud-ouest par route locale

Date de prise de vue	Focale (équ. 24x36)	Latitude	Longitude	Altitude (NGF)
14/01/2022	Panoramique 360°	N 49°42'28,3"	E 01°58'10,5"	188 m
Distance à l'éolienne projetée la plus proche	Distance à l'éolienne projetée la plus éloignée	Nombre d'éoliennes des projets visibles	Lieu	
E1 : 5,7 km	E12 : 8,0 km	12	LAHAYE-SAINT-ROMAIN - Au sud-ouest par route locale	

Étude d'encerclement théorique



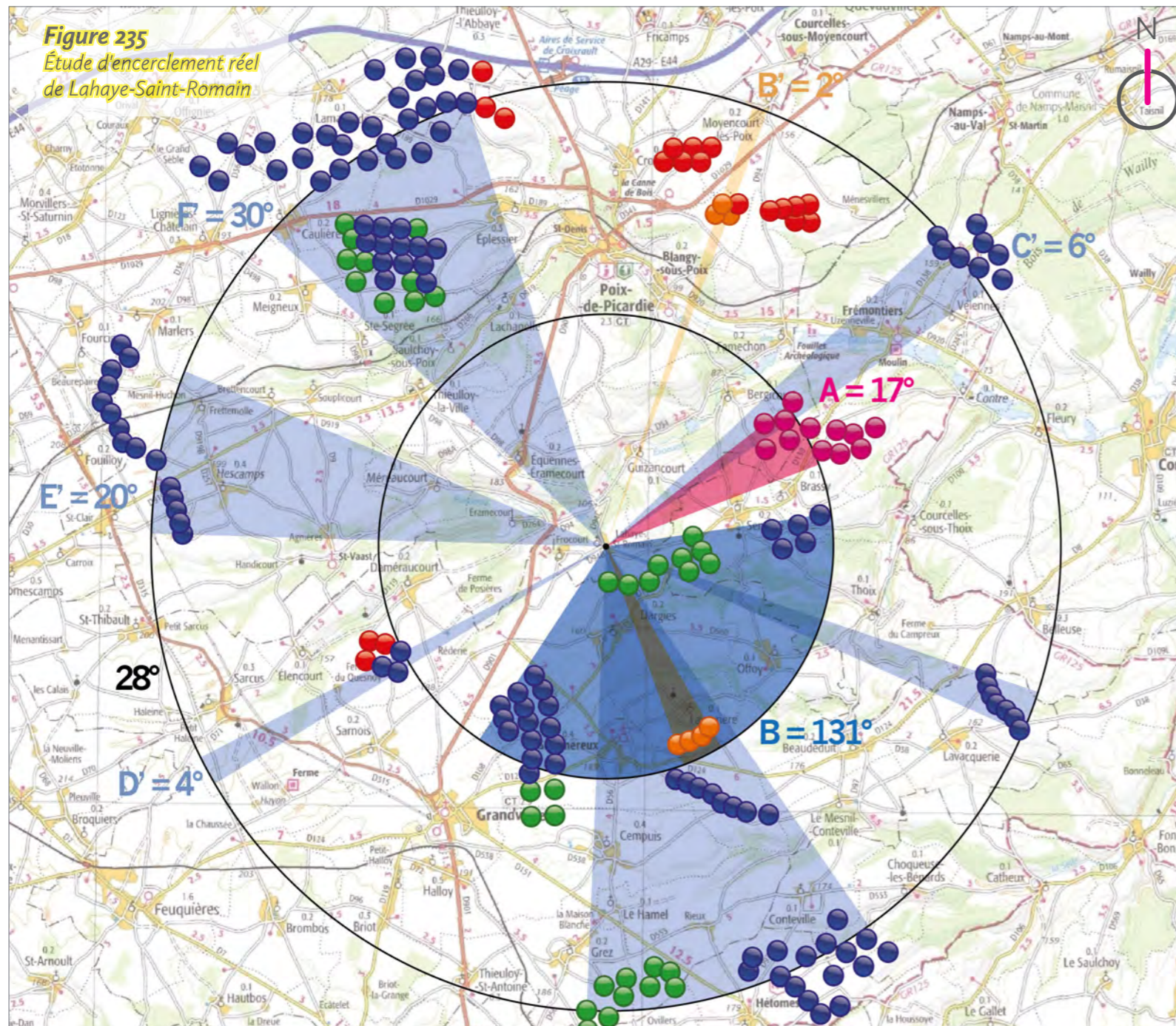
Commentaires

L'observateur se situe au sud-ouest de Lahaye-Saint-Romain, le long d'une route locale qui mène au village depuis la D 901. Les vues sont très ouvertes car elles se font depuis le même plateau que celui qui accueille le site des projets.



Figure 234
Tableau de synthèse de l'étude d'encerclement théorique et réelle

Village étudié	Secteur angulaire du projet dans les 5 km	Indice de densité	Seuil d'alerte	Cumul angulaire	Seuil d'alerte	Plus grand espace de respiration	Seuil d'alerte
Lahaye-Saint-Romain théorique	17	0,21	Atteint	237	Atteint	24	Atteint
Lahaye-Saint-Romain réel	17	0,23	Atteint	210	Atteint	28	Atteint



Commentaires

Depuis le sud-ouest de Lahaye-Saint-Romain, plusieurs parcs et projets éoliens sont masqués. Les éoliennes masquées, ou très peu incidentes, sont notées en rouge sur le diagramme ci-contre.

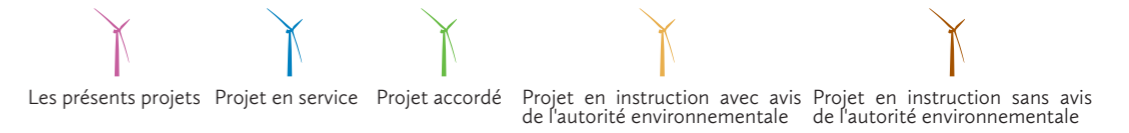
Dans le périmètre de 0 à 5 km, tous les secteurs sont conservés car les éoliennes des projets de Corbillon Est et Ouest, des parcs construits de Dargies, Champ Vert, Puchot et du Chemin de l'Ormelet, des projets accordés du Cornouiller, du Routis et de Sommereux et Cempuis et du projet en instruction avec avis d'AE du Champs Saint Pierre sont toutes visibles depuis ce point de vue.

Dans le périmètre de 5 à 10 km, le secteur A' est supprimé car le parc construit de Croixrault est masqué par le relief et le bâti du village de Lahaye-Saint-Romain. Le secteur B' est réduit car des éoliennes du projet en instruction avec avis d'AE de Ménesvillers sont masquées par un boisement. Le secteur C' est conservé car les éoliennes du parc construit de Blanc Mont sont toutes visibles. Le secteur D' est réduit car trois éoliennes du parc construit de Dameraucourt sont masquées par la végétation. Le secteur E' est conservé car toutes les éoliennes des parcs construits de Candor, Poirier Major et des Oeillets sont visibles depuis ce point de vue. Enfin, le secteur F' est légèrement réduit car trois éoliennes du parc construit du Fond Saint-Clément sont masquées par un boisement.

Le tableau de synthèse de l'étude d'encerclement théorique et réelle (fig. 234) indique donc logiquement une baisse du cumul angulaire entre le théorique et le réel, passant de 237° à 210°, soit une baisse de 27°. Le plus grand angle de respiration augmente de 4°, passant de 24° à 28°. L'indice de densité augmente.

L'étude d'encerclement théorique mettait en évidence un seuil d'alerte atteint pour les deux indicateurs importants (cumul angulaire et plus grand espace de respiration visuelle), ce que confirme l'étude d'encerclement réel depuis ce point de vue.

D'un point de vue plus sensible et paysager, l'encerclement est bien présent depuis ce point de vue, avec des éoliennes visibles tout autour de l'observateur, sur différents plans. Les projets de Corbillon Est et Ouest prennent place dans un paysage déjà encadré depuis ce point de vue, et ne font que renforcer cet effet en augmentant le cumul angulaire mais sans réduire le plus grand espace de respiration visuelle disponible en prenant place dans une portion du paysage déjà occupée par l'éolien.



■ **Esquisse filaire plein cadre avec indexation du contexte - Champ visuel horizontal de l'image : 120°**



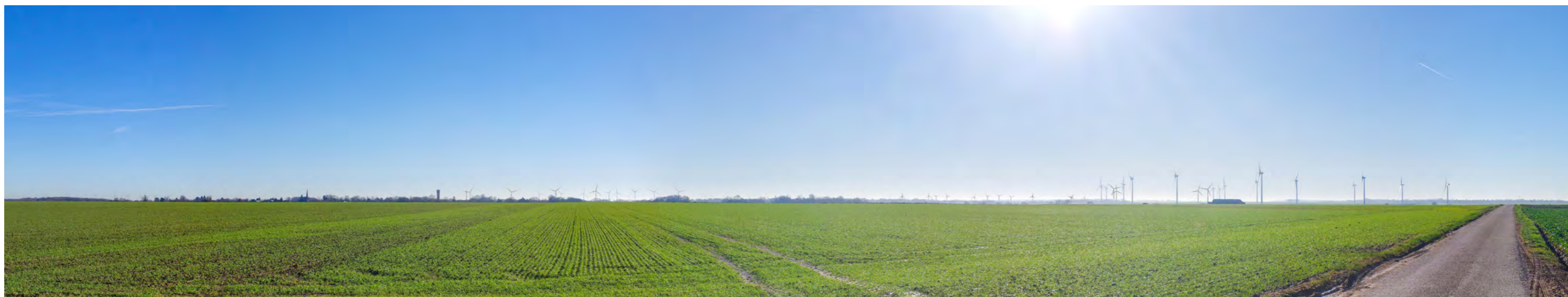
■ **Esquisse filaire plein cadre avec indexation du contexte - Champ visuel horizontal de l'image : 120°**



■ **Esquisse filaire plein cadre avec indexation du contexte - Champ visuel horizontal de l'image : 120°**



■ Vue réaliste plein cadre - Champ visuel horizontal de l'image : 120°



■ Vue réaliste plein cadre - Champ visuel horizontal de l'image : 120°



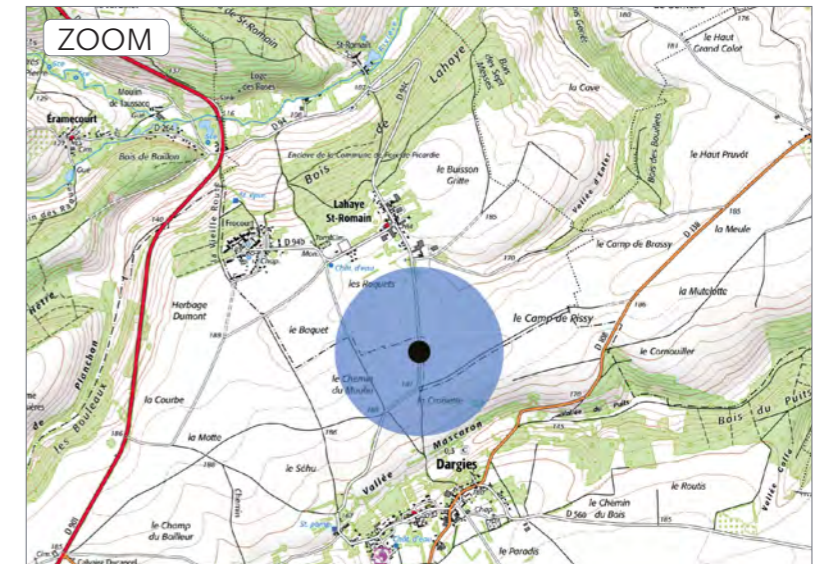
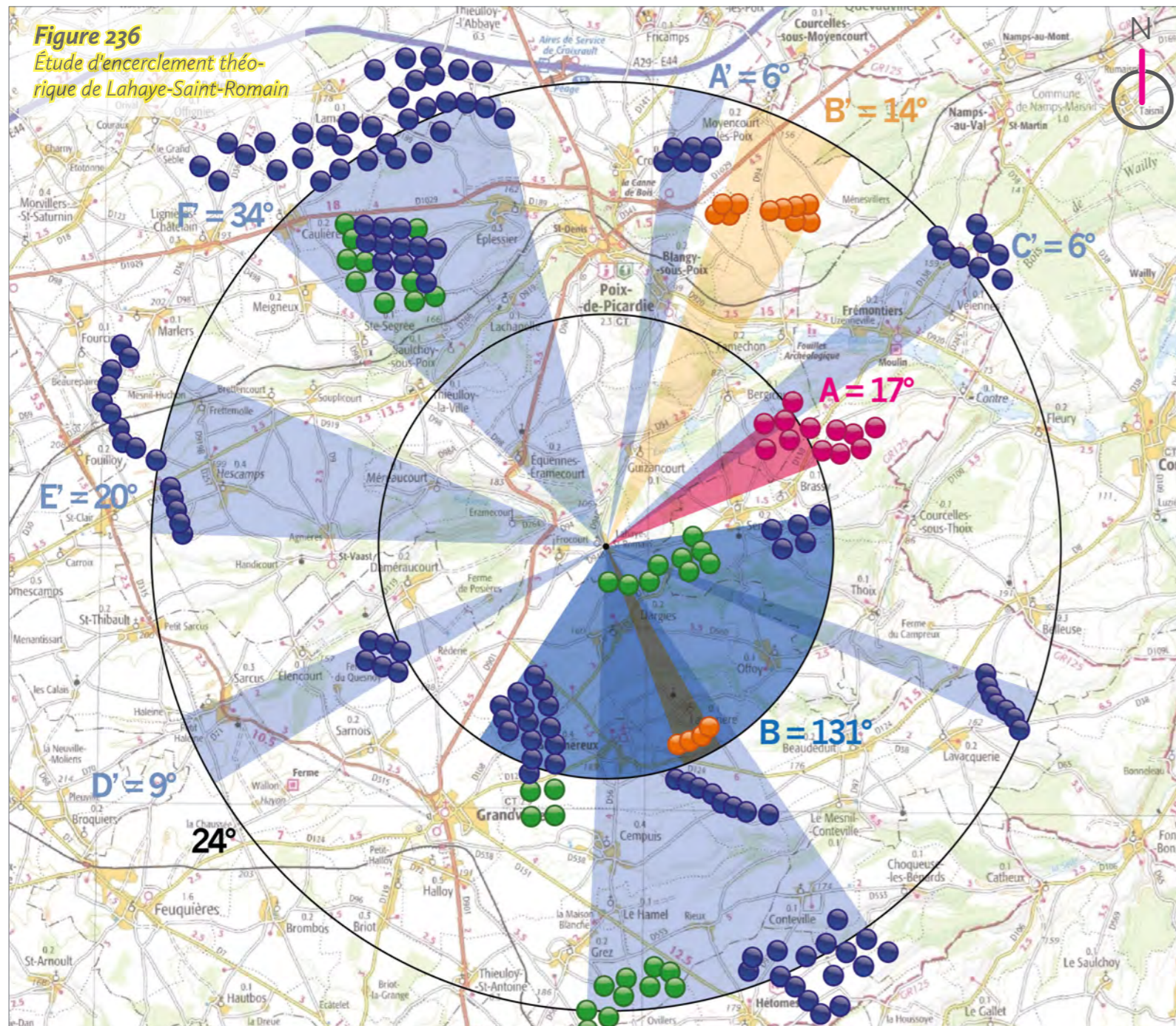
■ Vue réaliste plein cadre - Champ visuel horizontal de l'image : 120°



► PDV 28 Lahaye-Saint-Romain : au sud par la route de Dargies

Date de prise de vue	Focale (équ. 24x36)	Latitude	Longitude	Altitude (NGF)
14/01/2022	Panoramique 360°	N 49°42'38,9"	E 01°59'20,5"	184 m
Distance à l'éolienne projetée la plus proche	Distance à l'éolienne projetée la plus éloignée	Nombre d'éoliennes des projets visibles	Lieu	
E1 : 4,4 km	E12 : 6,7 km	12	LAHAYE-SAINT-ROMAIN - Au sud par la route de Dargies	

Étude d'encerclement théorique



Commentaires

L'observateur se situe cette fois au sud de Lahaye-Saint-Romain, le long d'une route locale qui mène au village de Dargies. Les vues sont très ouvertes car elles se font depuis le même plateau que celui qui accueille le site des projets.

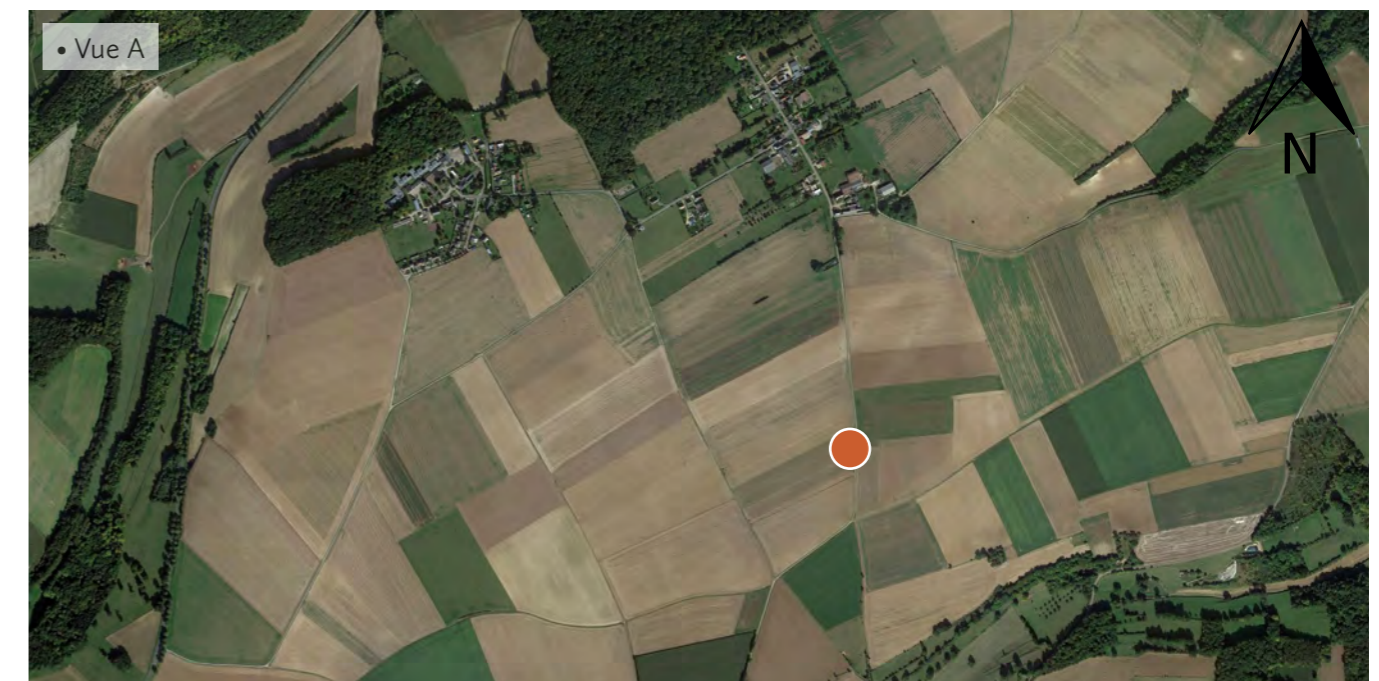
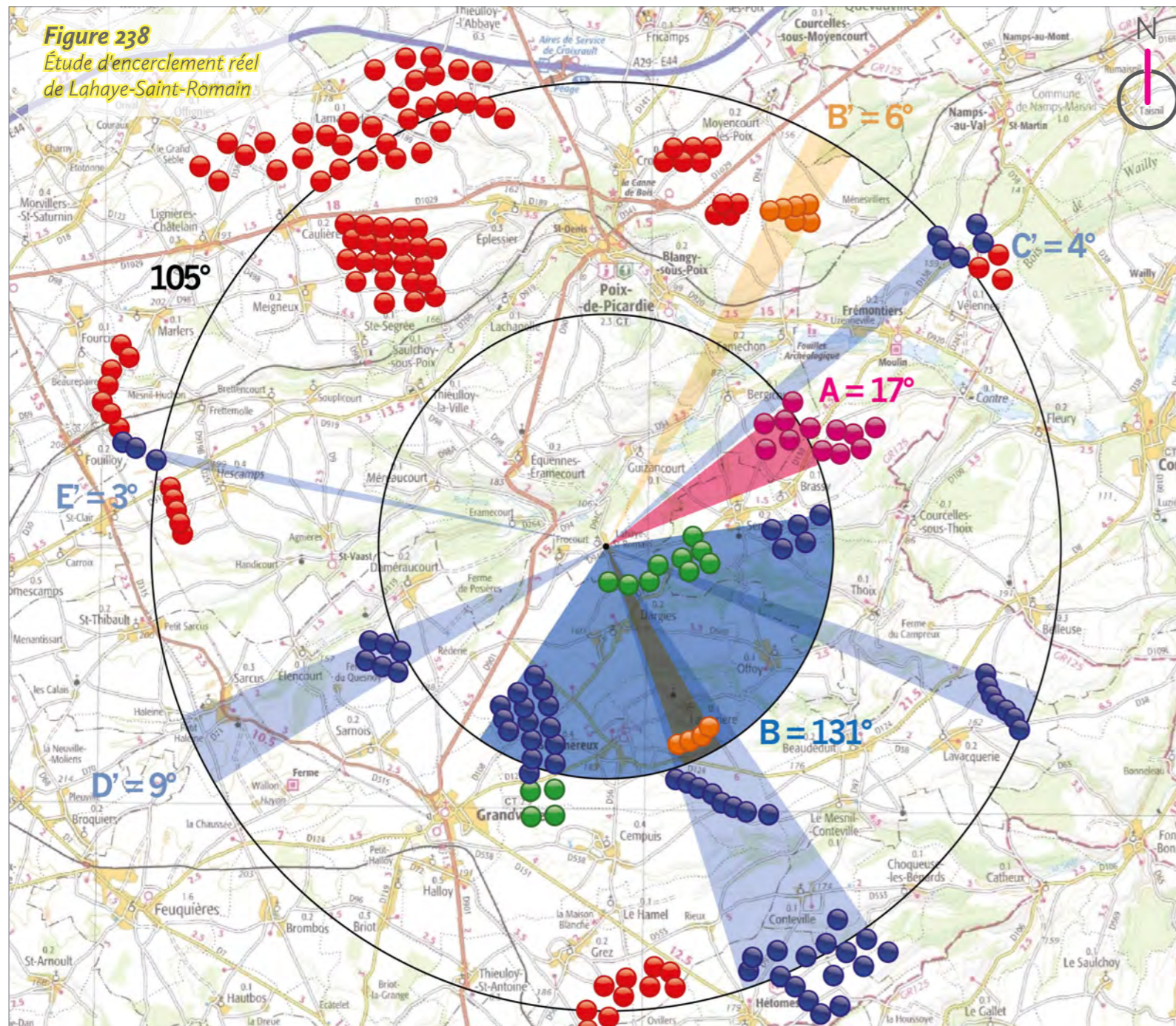


Figure 237
Tableau de synthèse de l'étude d'encerclement théorique et réelle

Village étudié	Secteur angulaire du projet dans les 5 km	Indice de densité	Seuil d'alerte	Cumul angulaire	Seuil d'alerte	Plus grand espace de respiration	Seuil d'alerte
Lahaye-Saint-Romain théorique	17	0,21	Atteint	237	Atteint	24	Atteint
Lahaye-Saint-Romain réel	17	0,29	Atteint	170	Atteint	105	Atteint



Commentaires

Depuis le sud de Lahaye-Saint-Romain, plusieurs parcs et projets éoliens sont masqués. Les éoliennes masquées, ou très peu incidentes, sont notées en rouge sur le diagramme ci-contre.

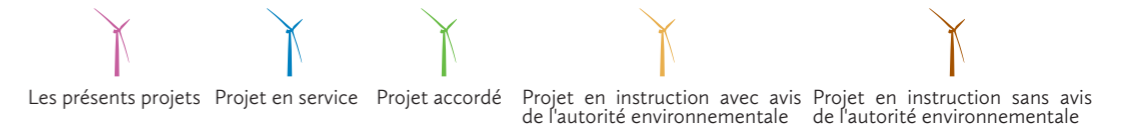
Dans le périmètre de 0 à 5 km, tous les secteurs sont conservés car les éoliennes des projets de Corbillon Est et Ouest, des parcs construits de Dargies, Champ Vert, Puchot et du Chemin de l'Ormelet, des projets accordés du Cornouiller, du Routis et de Sommereux et Cempuis et du projet en instruction avec avis d'AE du Champs Saint Pierre sont toutes visibles depuis ce point de vue.

Dans le périmètre de 5 à 10 km, le secteur A' est supprimé car le parc construit de Croixrault est masqué par le relief et un boisement. Le secteur B' est réduit car quatre éoliennes du projet en instruction avec avis d'AE de Ménesvillers sont masquées par un boisement. Le secteur C' est réduit car trois éoliennes du parc construit de Blanc Mont sont masquées par un boisement. Le secteur D' est conservé car toutes les éoliennes du parc construit de Dameraucourt sont visibles depuis ce point de vue. Le secteur E' est fortement réduit car seules trois éoliennes du parc construit du Poirier Major sont visibles depuis ce point de vue. Enfin, le secteur F' est supprimé car toutes les éoliennes des parcs construits du Fond Saint-Clément, d'Éplessier, Cagneux et Bois Nanette ainsi que celles du projet accordé du Fond du Moulin sont masquées par un boisement.

Le tableau de synthèse de l'étude d'encerclement théorique et réelle (fig. 237) indique donc logiquement une baisse du cumul angulaire entre le théorique et le réel, passant de 237° à 170°, soit une baisse de 67°. Le plus grand angle de respiration augmente de 81°, passant de 24° à 105°. L'indice de densité augmente.

L'étude d'encerclement théorique mettait en évidence un seuil d'alerte atteint pour les deux indicateurs importants (cumul angulaire et plus grand espace de respiration visuelle), ce que confirme l'étude d'encerclement réel depuis ce point de vue.

D'un point de vue plus sensible et paysager, l'encerclement est bien présent depuis ce point de vue, avec des éoliennes visibles tout autour de l'observateur, sur différents plans. Les projets de Corbillon Est et Ouest prennent place dans un paysage déjà encadré depuis ce point de vue, et ne font que renforcer cet effet en augmentant le cumul angulaire mais sans réduire le plus grand espace de respiration visuelle disponible en prenant place dans une portion du paysage déjà occupée par l'éolien.



■ **Esquisse filaire plein cadre avec indexation du contexte - Champ visuel horizontal de l'image : 120°**



■ **Esquisse filaire plein cadre avec indexation du contexte - Champ visuel horizontal de l'image : 120°**



■ **Esquisse filaire plein cadre avec indexation du contexte - Champ visuel horizontal de l'image : 120°**



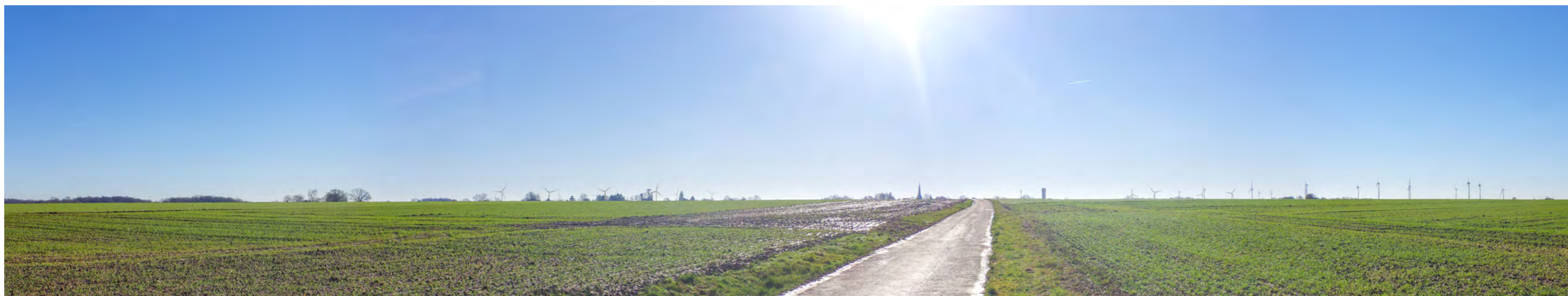
■ Vue réaliste plein cadre - Champ visuel horizontal de l'image : 120°



■ Vue réaliste plein cadre - Champ visuel horizontal de l'image : 120°



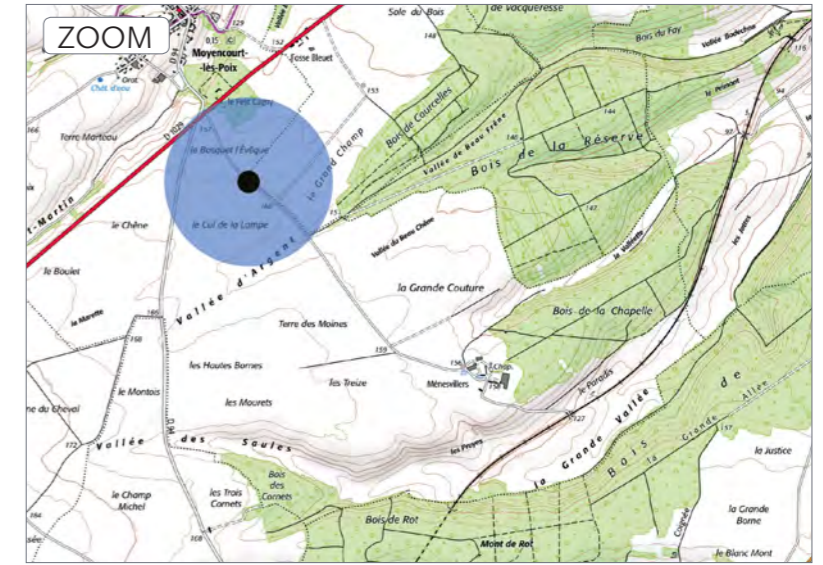
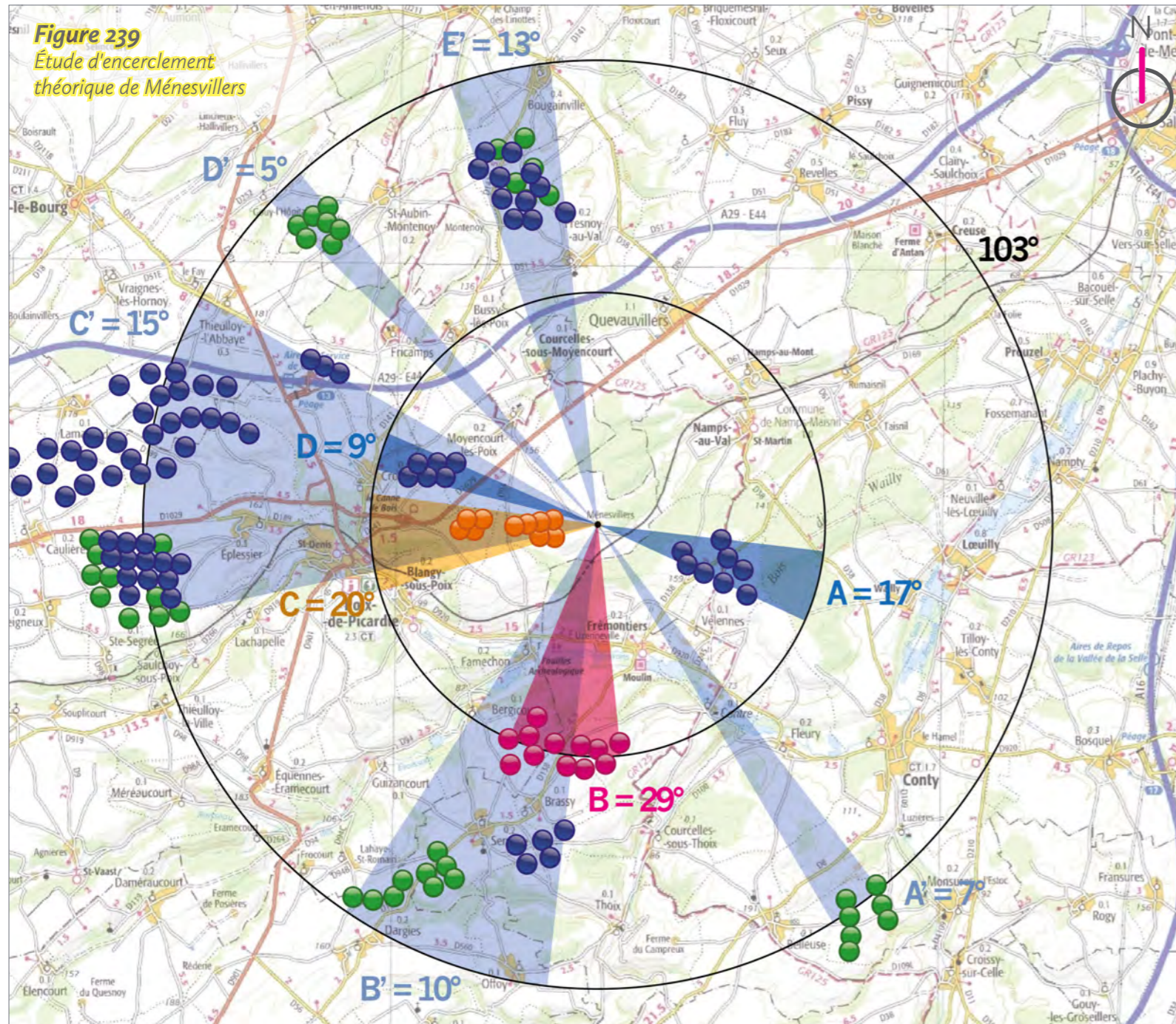
■ Vue réaliste plein cadre - Champ visuel horizontal de l'image : 120°



► PDV 29 Ménesvillers : à l'est du hameau vers la D 1029

Date de prise de vue	Focale (équ. 24x36)	Latitude	Longitude	Altitude (NGF)
13/01/2022	Panoramique 360°	N 49°47'39,1"	E 02°02'29,2"	161 m
Distance à l'éolienne projetée la plus proche	Distance à l'éolienne projetée la plus éloignée	Nombre d'éoliennes des projets visibles	Lieu	
E5 : 5,4 km	E8 : 6,6 km	12	MÉNESVILLERS - À l'est du hameau vers la D 1029	

Étude d'encerclement théorique



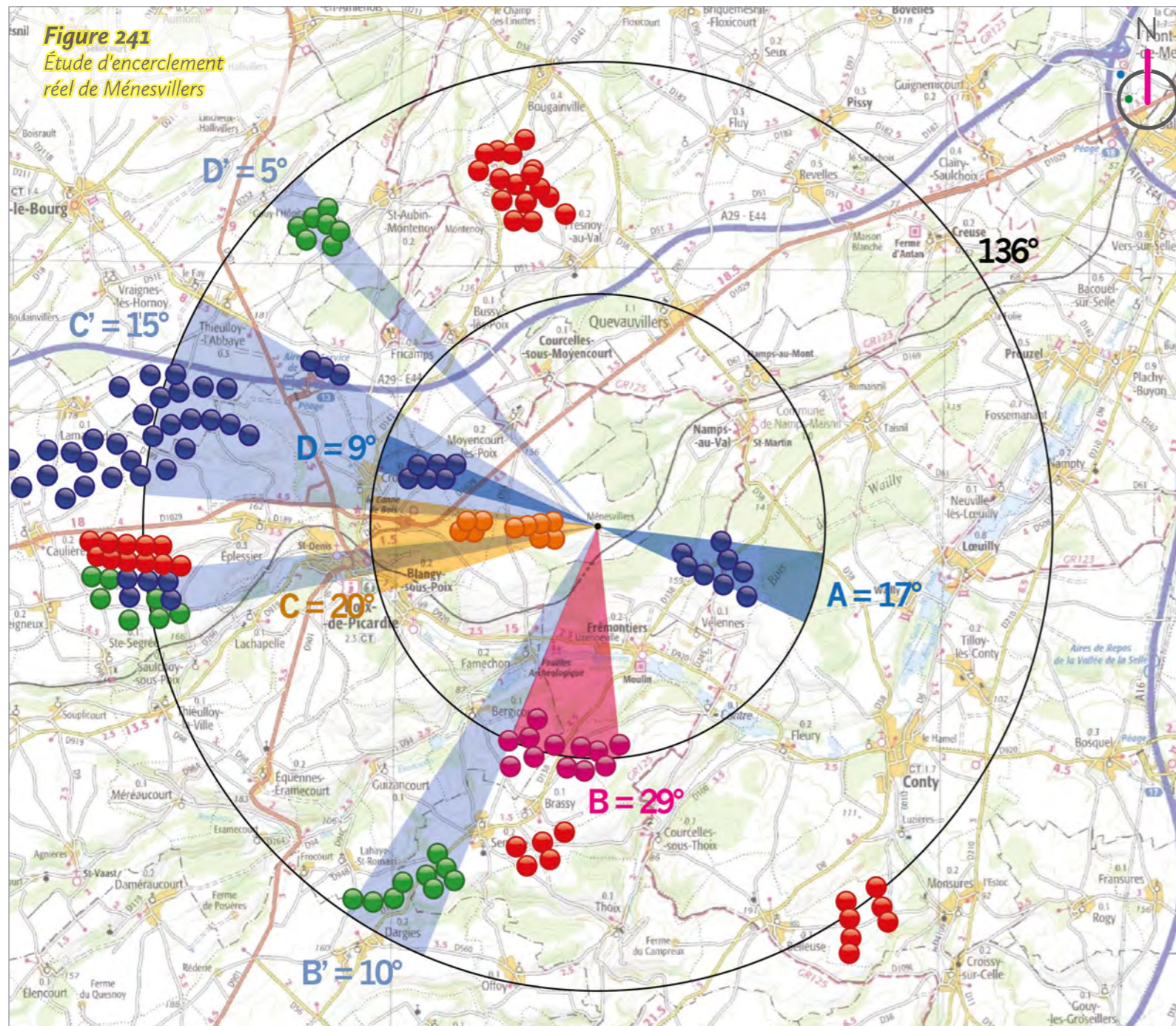
Commentaires

L'observateur se situe à l'est du hameau de Ménesvillers, le long de la seule route d'accès au hameau. En effet, le hameau se trouve au bout de la route. L'observateur est à proximité de la D 1029 qui permet de rejoindre Poix-de-Picardie.



Figure 240
Tableau de synthèse de l'étude d'encerclement théorique et réelle

Village étudié	Secteur angulaire du projet dans les 5 km	Indice de densité	Seuil d'alerte	Cumul angulaire	Seuil d'alerte	Plus grand espace de respiration	Seuil d'alerte
Ménesvillers théorique	29	0,30	Atteint	125	Atteint	103	Atteint
Ménesvillers réel	29	0,36	Atteint	105	En-dessous	136	Atteint



Commentaires

Depuis l'est du hameau de Ménesvillers, plusieurs parcs et projets éoliens sont masqués. Les éoliennes masquées, ou très peu incidentes, sont notées en rouge sur le diagramme ci-contre.

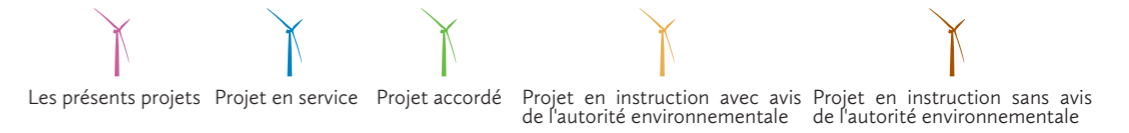
Dans le périmètre de 0 à 5 km, tous les secteurs sont conservés car les éoliennes des projets de Corbillon Est et Ouest, des parcs construits de Croixrault et Blanc Mont et du projet en instruction avec avis d'AE de Ménesvillers sont toutes visibles depuis ce point de vue.

Dans le périmètre de 5 à 10 km, le secteur A' est supprimé car le projet accordé de Monsures est masqué par le relief et un boisement. Les secteurs B', C' et D' sont conservés car les projets accordés du Cornouiller, du Routis et des Bleuets ainsi que les parcs construits de Bois Nanette, Fond Saint-Clément et Cagneux sont tous visibles. Enfin, le secteur E' est supprimé car les éoliennes construites et accordées de Bougainville sont masquées par un boisement.

Le tableau de synthèse de l'étude d'encerclement théorique et réelle (fig. 240) indique donc logiquement une baisse du cumul angulaire entre le théorique et le réel, passant de 125° à 105°, soit une baisse de 20°. Le plus grand angle de respiration augmente de 33°, passant de 103° à 136°. L'indice de densité augmente.

L'étude d'encerclement théorique mettait en évidence un seuil d'alerte atteint pour les deux indicateurs importants (cumul angulaire et plus grand espace de respiration visuelle). Le cumul angulaire n'atteint plus le seuil d'alerte alors que c'est encore le cas pour le plus grand espace de respiration visuelle.

D'un point de vue plus sensible et paysager, l'encerclement ne semble pas avéré depuis ce point de vue. Le développement éolien est visible mais l'espace de respiration visuelle paraît important à gauche de la route. La valeur est d'ailleurs proche du seuil d'alerte de 160°. Les projets de Corbillon Est et Ouest prennent place dans un paysage déjà encerclé depuis ce point de vue, et ne font que renforcer cet effet en augmentant le cumul angulaire mais sans réduire le plus grand espace de respiration visuelle disponible en prenant place dans une portion du paysage déjà occupée par l'éolien.



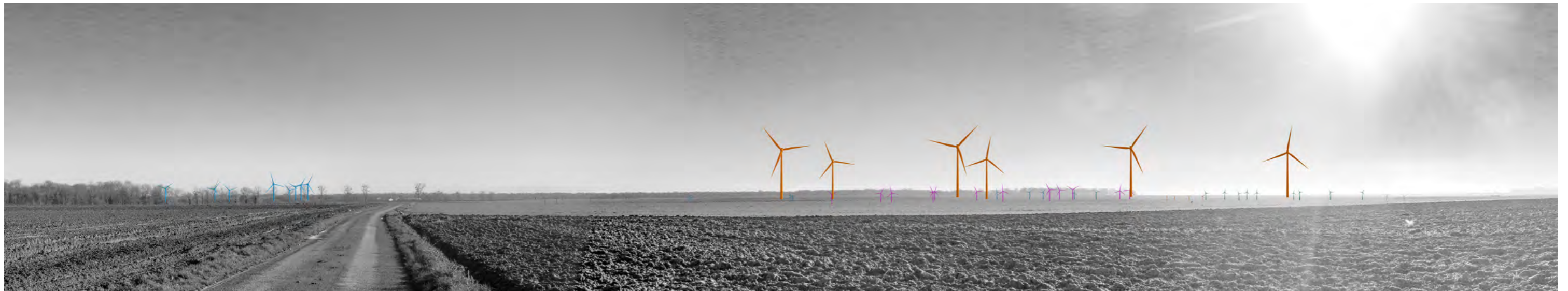
■ **Esquisse filaire plein cadre avec indexation du contexte - Champ visuel horizontal de l'image : 120°**



■ **Esquisse filaire plein cadre avec indexation du contexte - Champ visuel horizontal de l'image : 120°**



■ **Esquisse filaire plein cadre avec indexation du contexte - Champ visuel horizontal de l'image : 120°**



■ Vue réaliste plein cadre - Champ visuel horizontal de l'image : 120°



■ Vue réaliste plein cadre - Champ visuel horizontal de l'image : 120°



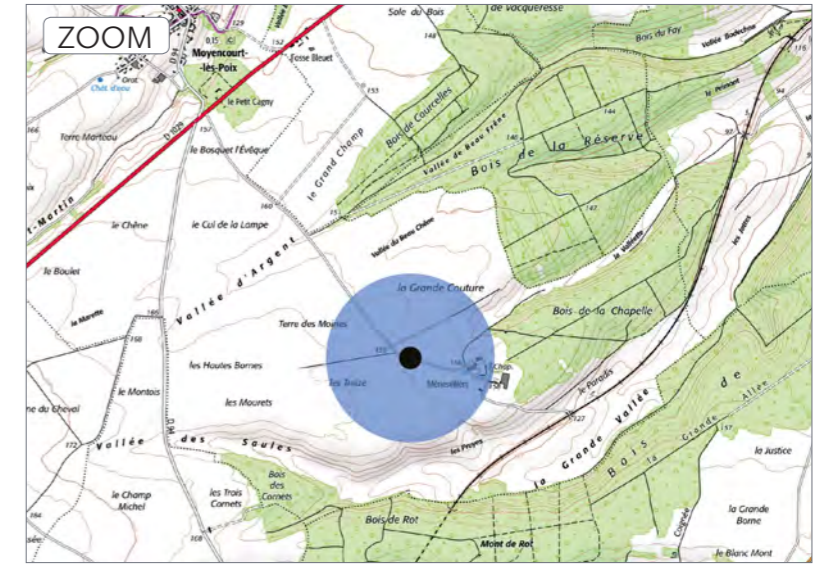
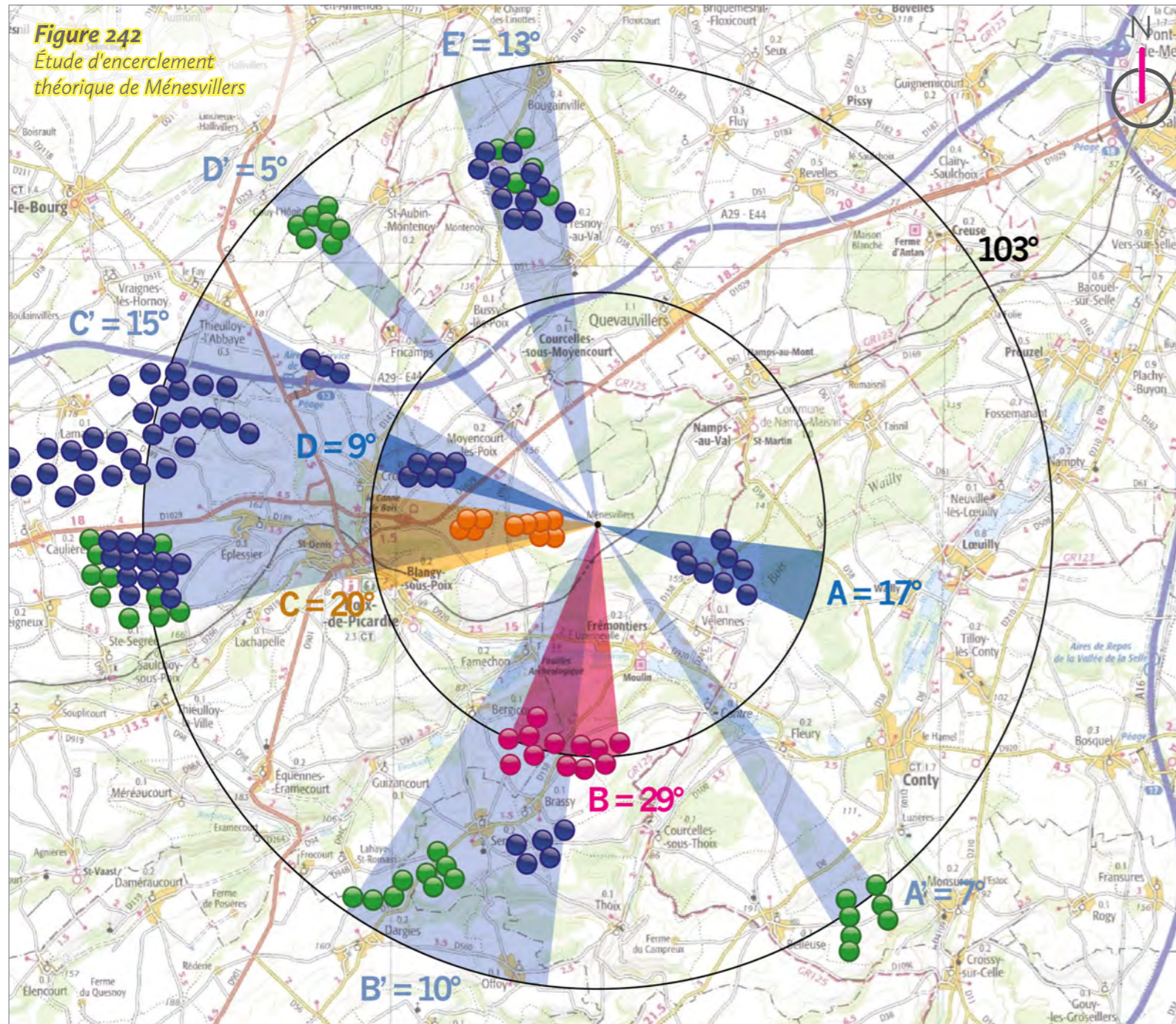
■ Vue réaliste plein cadre - Champ visuel horizontal de l'image : 120°



► PDV 30 Ménesvillers : à l'est du hameau vers la D 1029

Date de prise de vue	Focale (équ. 24x36)	Latitude	Longitude	Altitude (NGF)
13/01/2022	Panoramique 360°	N 49°47'03,6"	E 02°03'20,8"	159 m
Distance à l'éolienne projetée la plus proche	Distance à l'éolienne projetée la plus éloignée	Nombre d'éoliennes des projets visibles	Lieu	
E5 : 4,4 km	E1 : 5,5 km	0	MÉNESVILLERS - À proximité du hameau	

Étude d'encerclement théorique



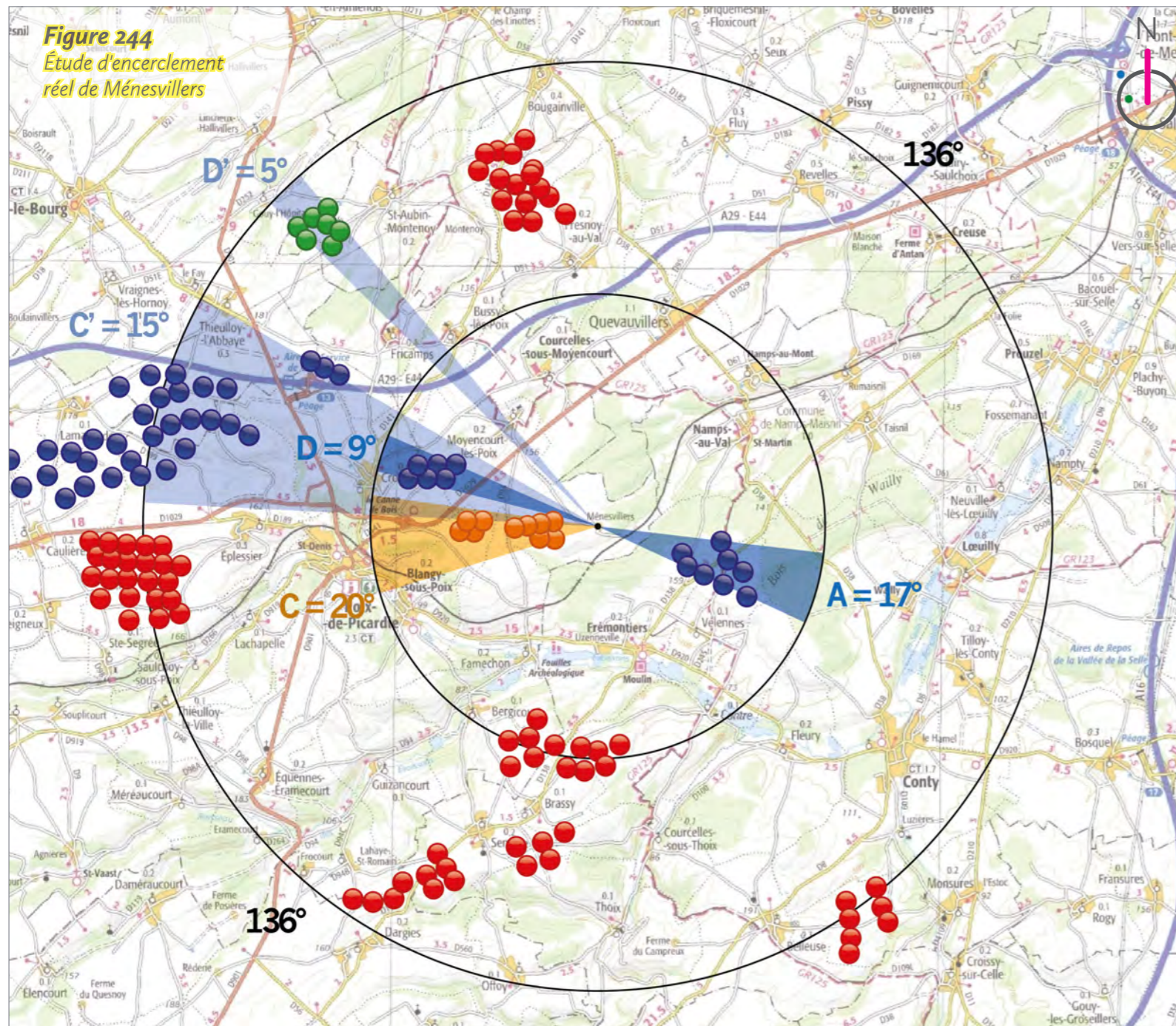
Commentaires

L'observateur s'est ici rapproché du hameau de Ménesvillers.



Figure 243
Tableau de synthèse de l'étude d'encerclement théorique et réelle

Village étudié	Secteur angulaire du projet dans les 5 km	Indice de densité	Seuil d'alerte	Cumul angulaire	Seuil d'alerte	Plus grand espace de respiration	Seuil d'alerte
Ménesvillers théorique	29	0,30	Atteint	125	Atteint	103	Atteint
Ménesvillers réel	0	0,39	Atteint	66	En-dessous	136	Atteint



Commentaires

Depuis le hameau de Ménesvillers, plusieurs parcs et projets éoliens sont masqués. Les éoliennes masquées, ou très peu incidentes, sont notées en rouge sur le diagramme ci-contre.

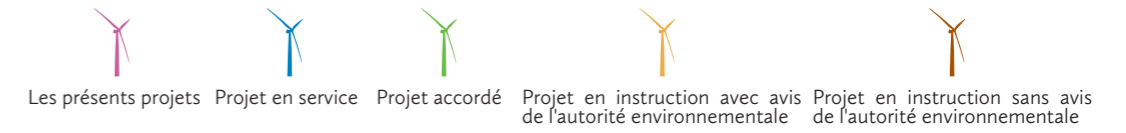
Dans le périmètre de 0 à 5 km, le secteur A est conservé car les éoliennes du parc construit de Blanc Mont sont toutes visibles. Le secteur B est supprimé car les éoliennes des projets de Corbillon Est et Ouest ne sont pas visibles, masquées par le boisement. Enfin, les secteurs C et D sont conservés car les éoliennes du parc construit de Croixrault et du projet en instruction avec avis d'AE de Ménesvillers sont toutes visibles.

Dans le périmètre de 5 à 10 km, les secteurs A' et B' sont supprimés car les projets accordés de Monsures, du Cornouiller et du Routis ne sont pas visibles, masqués par un boisement. Les secteurs C' et D' sont conservés car les éoliennes des parcs construits de Bois Nanette, Fond Saint-Clément, Cagneux et Fricamps ainsi que celles du projet accordé des Bleuets sont toutes visibles. Enfin, le secteur E' est supprimé car les éoliennes construites et accordées de Bougainville sont masquées par un boisement.

Le tableau de synthèse de l'étude d'encerclement théorique et réelle (fig. 243) indique donc logiquement une baisse du cumul angulaire entre le théorique et le réel, passant de 125° à 66°, soit une baisse de 59°. Le plus grand angle de respiration augmente de 33°, passant de 103° à 136°. L'indice de densité augmente.

L'étude d'encerclement théorique mettait en évidence un seuil d'alerte atteint pour les deux indicateurs importants (cumul angulaire et plus grand espace de respiration visuelle). Le cumul angulaire n'atteint plus le seuil d'alerte alors que c'est encore le cas pour le plus grand espace de respiration visuelle.

D'un point de vue plus sensible et paysager, l'encerclement ne semble pas avéré depuis ce point de vue. Le développement éolien est visible mais l'espace de respiration visuelle paraît important autour de l'observateur, d'autant plus que le parc éolien de Blanc Mont est très discret. Le cumul angulaire est sous le seuil d'alerte et cela se ressent également puisque hormis les éoliennes en instruction de Ménesvillers et du parc construit de Croixrault, le reste du contexte éolien est très discret. Il n'y a donc pas d'effet d'encerclement depuis ce point de vue et les éoliennes des projets de Corbillon Est et Ouest ne sont pas visibles.



■ **Esquisse filaire plein cadre avec indexation du contexte - Champ visuel horizontal de l'image : 120°**



■ **Esquisse filaire plein cadre avec indexation du contexte - Champ visuel horizontal de l'image : 120°**



■ **Esquisse filaire plein cadre avec indexation du contexte - Champ visuel horizontal de l'image : 120°**



■ Vue réaliste plein cadre - Champ visuel horizontal de l'image : 120°



■ Vue réaliste plein cadre - Champ visuel horizontal de l'image : 120°



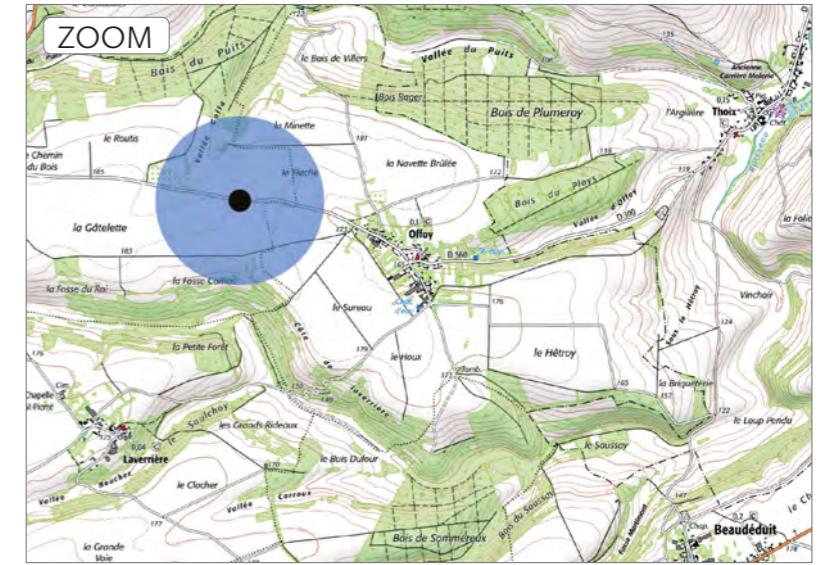
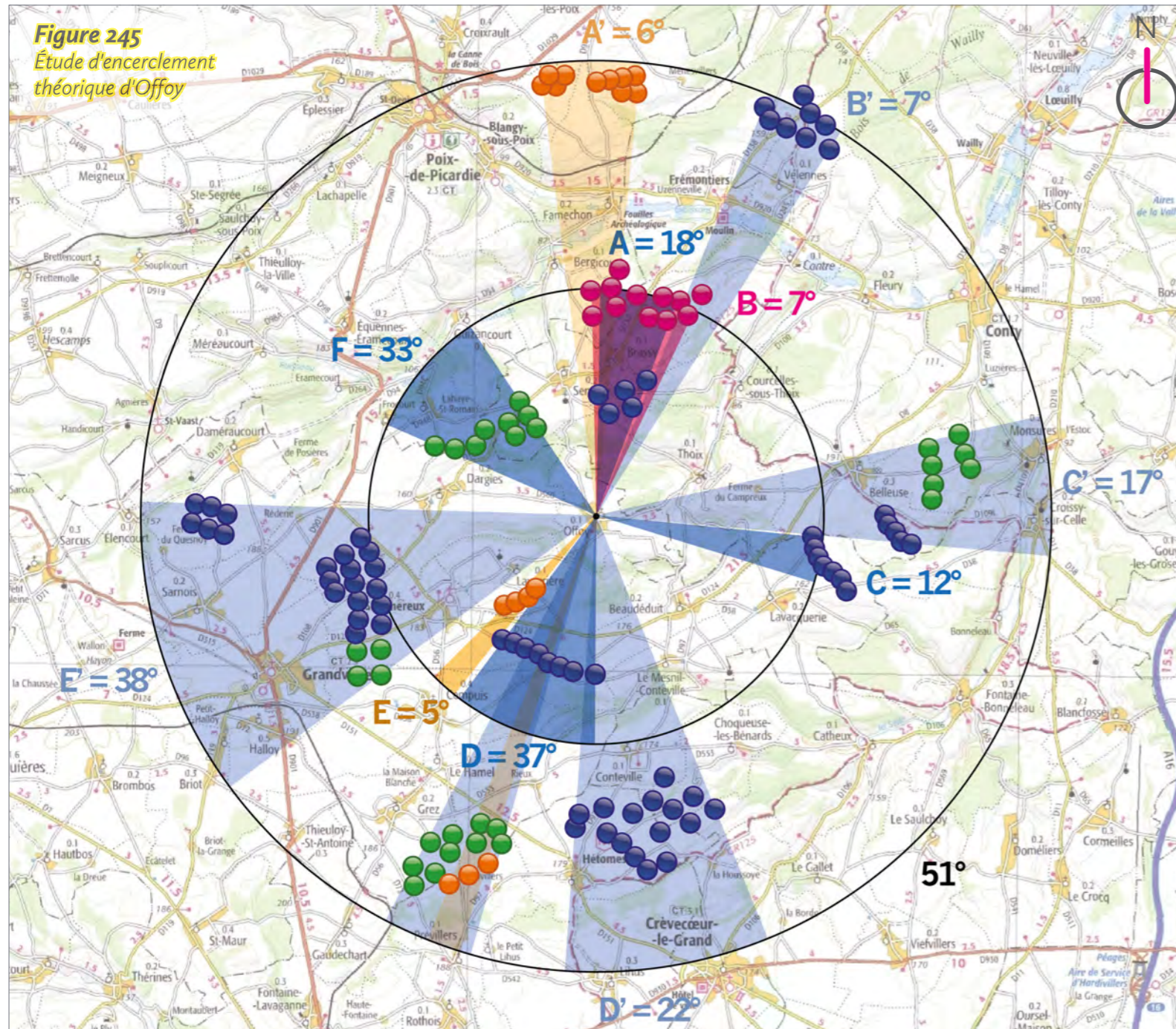
■ Vue réaliste plein cadre - Champ visuel horizontal de l'image : 120°



► PDV 31 Offoy : à l'ouest par la D 560

Date de prise de vue	Focale (équ. 24x36)	Latitude	Longitude	Altitude (NGF)
14/01/2022	Panoramique 360°	N 49°41'59,9"	E 02°01'23,0"	182 m
Distance à l'éolienne projetée la plus proche	Distance à l'éolienne projetée la plus éloignée	Nombre d'éoliennes des projets visibles	Lieu	
E1 : 4,2 km	E12 : 5,6 km	11	OFFOY - À l'ouest par la D 560	

Étude d'encerclement théorique



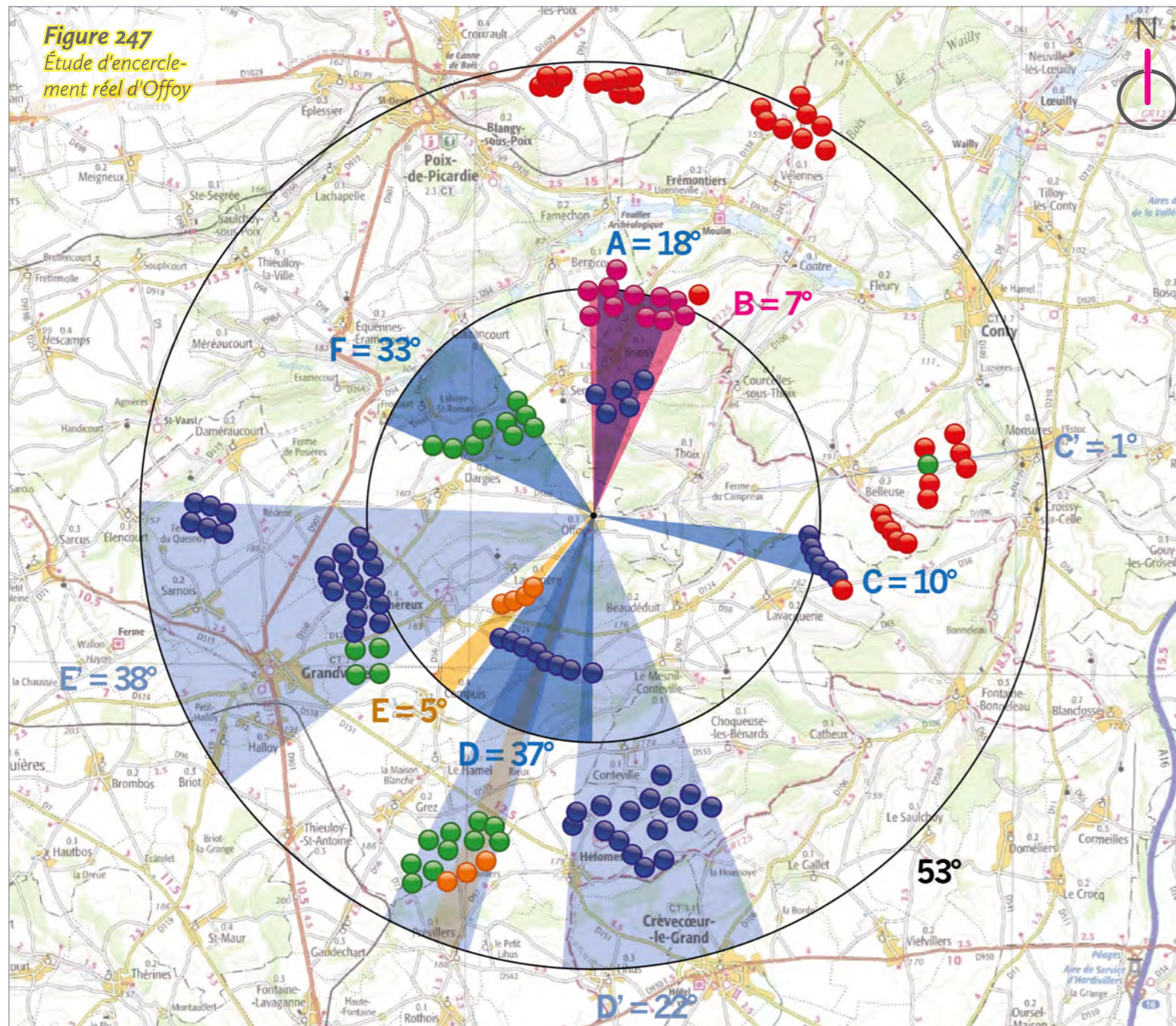
Commentaires

L'observateur se situe à l'ouest du village d'Offoy, le long de la D 560 en provenance de Dargies. Les vues au premier-plan sont dégagées car les grandes cultures ouvertes prennent place sur le plateau Picard. Les horizons sont bornés par les nombreux boisements alentour.



Figure 246
Tableau de synthèse de l'étude d'encerclement théorique et réelle

Village étudié	Secteur angulaire du projet dans les 5 km	Indice de densité	Seuil d'alerte	Cumul angulaire	Seuil d'alerte	Plus grand espace de respiration	Seuil d'alerte
Offoy théorique	7	0,22	Atteint	202	Atteint	51	Atteint
Offoy réel	7	0,25	Atteint	171	Atteint	53	Atteint



Commentaires

Depuis l'ouest du village d'Offoy, plusieurs parcs et projets éoliens sont masqués. Les éoliennes masquées, ou très peu incidentes, sont notées en rouge sur le diagramme ci-contre.

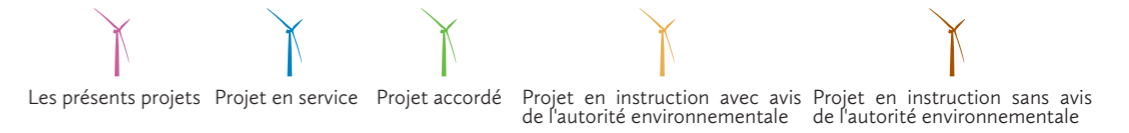
Dans le périmètre de 0 à 5 km, le secteur A est conservé car les éoliennes du parc construit de Blanc Mont sont toutes visibles. Le secteur B est conservé malgré le masquage de l'éolienne E 12 du projet de Corbillon Est par un boisement. Le secteur C est réduit car une éolienne du parc construit de Lavacquerie est masquée par un boisement. Enfin, les secteurs D, E et F sont conservés car toutes les éoliennes du parc construit de Marendeuil, des projets accordés du Cornouiller et du Routis ainsi que du projet en instruction avec avis d'AE de Champs Saint Pierre sont visibles depuis ce point de vue.

Dans le périmètre de 5 à 10 km, les secteurs A' et B' sont supprimés car les éoliennes du projet en instruction avec avis d'AE de Ménesvillers et du parc construit de Blanc Mont sont masquées par un boisement. Le secteur C' est fortement réduit car une seule éolienne du projet accordé de Monsures est visible et que le parc construit de Belleuse est masqué par un boisement. Enfin, les secteurs D' et E' sont conservés car les parcs construits d'Hétomesnil, du Mont Moyen, de Dargies, du Champ Vert, de Puchot et de Dameraucourt ainsi que le projet accordé de Sommereux et Cempuis sont tous visibles depuis ce point de vue.

Le tableau de synthèse de l'étude d'encerclement théorique et réelle (fig. 246) indique donc logiquement une baisse du cumul angulaire entre le théorique et le réel, passant de 202° à 171°, soit une baisse de 31°. Le plus grand angle de respiration augmente de 2°, passant de 51° à 53°. L'indice de densité augmente.

L'étude d'encerclement théorique mettait en évidence un seuil d'alerte atteint pour les deux indicateurs importants (cumul angulaire et plus grand espace de respiration visuelle), ce que confirme l'étude d'encerclement réel depuis ce point de vue.

D'un point de vue plus sensible et paysager, l'encerclement est bien présent depuis ce point de vue, avec des éoliennes visibles tout autour de l'observateur, sur différents plans. Les projets de Corbillon Est et Ouest prennent place dans un paysage déjà encadré depuis ce point de vue, en arrière-plan du parc construit du Chemin de l'Ormelet, et ne renforcent que légèrement cet effet en augmentant le cumul angulaire, mais sans réduire le plus grand espace de respiration visuelle disponible, en prenant place dans une portion du paysage déjà occupée par l'éolien.



■ **Esquisse filaire plein cadre avec indexation du contexte - Champ visuel horizontal de l'image : 120°**



■ **Esquisse filaire plein cadre avec indexation du contexte - Champ visuel horizontal de l'image : 120°**



■ **Esquisse filaire plein cadre avec indexation du contexte - Champ visuel horizontal de l'image : 120°**



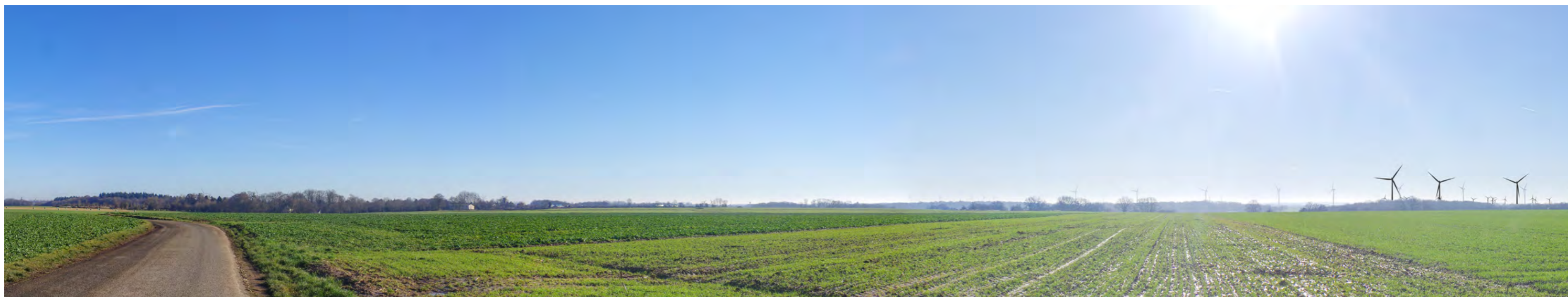
■ Vue réaliste plein cadre - Champ visuel horizontal de l'image : 120°



■ Vue réaliste plein cadre - Champ visuel horizontal de l'image : 120°



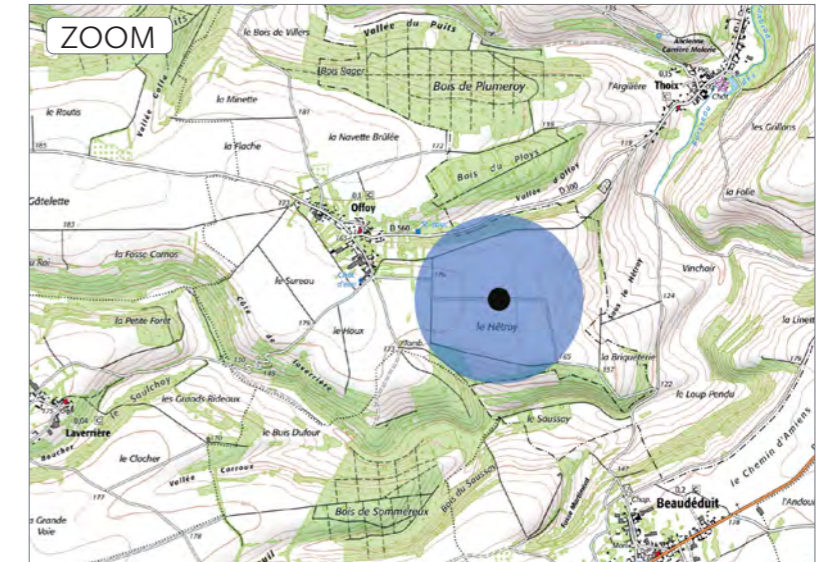
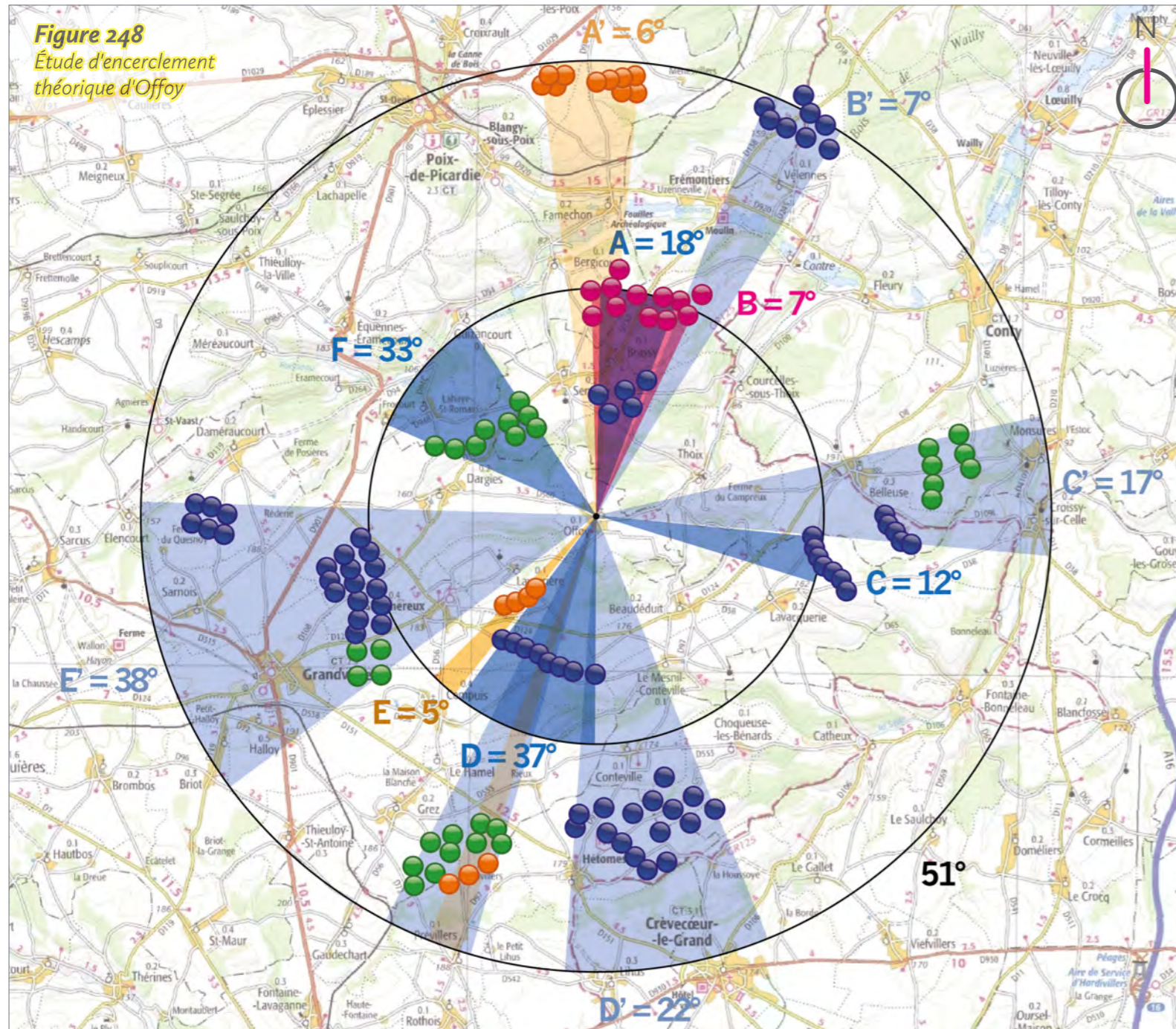
■ Vue réaliste plein cadre - Champ visuel horizontal de l'image : 120°



► PDV 32 Offoy : au sud-est par la route de Beaudéduit

Date de prise de vue	Focale (équ. 24x36)	Latitude	Longitude	Altitude (NGF)
14/01/2022	Panoramique 360°	N 49°41'35,3"	E 02°03'02,8"	173 m
Distance à l'éolienne projetée la plus proche	Distance à l'éolienne projetée la plus éloignée	Nombre d'éoliennes des projets visibles	Lieu	
E8 : 4,8 km	E5 : 5,9 km	4	OFFOY - Au sud-est par la route de Beaudéduit	

Étude d'encerclement théorique



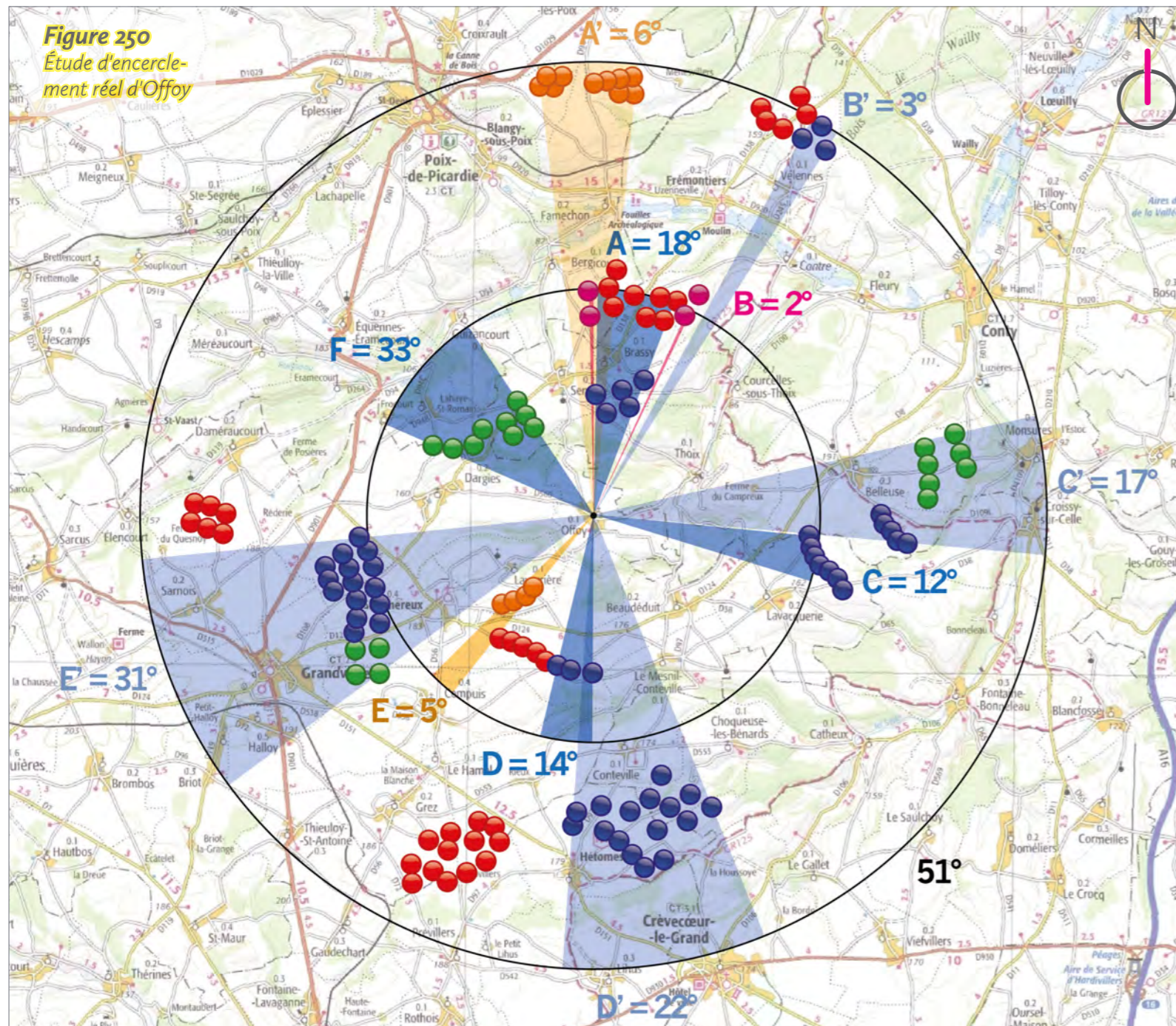
Commentaires

L'observateur se situe cette fois au sud-est du village d'Offoy, le long d'une route locale en direction de Beaudéduit. Les vues au premier-plan sont dégagées car les grandes cultures ouvertes prennent place sur le plateau Picard. Les horizons sont bornés par les nombreux boisements alentour. La vallée des Parquets est visible.



Figure 249
Tableau de synthèse de l'étude d'encerclement théorique et réelle

Village étudié	Secteur angulaire du projet dans les 5 km	Indice de densité	Seuil d'alerte	Cumul angulaire	Seuil d'alerte	Plus grand espace de respiration	Seuil d'alerte
Offoy théorique	7	0,22	Atteint	202	Atteint	51	Atteint
Offoy réel	2	0,20	Atteint	163	Atteint	51	Atteint



Commentaires

Depuis le sud-est du village d'Offoy, plusieurs parcs et projets éoliens sont masqués. Les éoliennes masquées, ou très peu incidentes, sont notées en rouge sur le diagramme ci-contre.

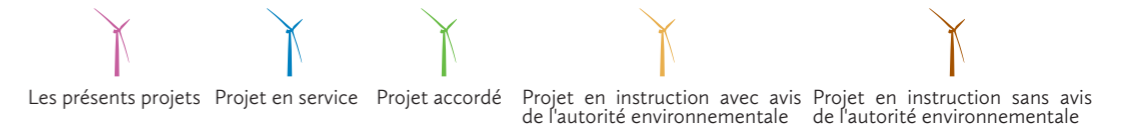
Dans le périmètre de 0 à 5 km, le secteur A est conservé car les éoliennes du parc construit de Blanc Mont sont toutes visibles. Le secteur B est réduit car plusieurs éoliennes des projets de Corbillon Est et Ouest sont masquées par l'effet conjoint du relief et d'un boisement. Le secteur C est conservé car toutes les éoliennes du parc construit de Lavacquerie sont ici visibles. Le secteur D est réduit car seules trois éoliennes du parc construit de Marendeuil sont visibles. Enfin, les secteurs E et F sont conservés car toutes les éoliennes des projets accordés du Cornouiller et du Routis ainsi que du projet en instruction avec avis d'AE de Champs Saint Pierre sont visibles depuis ce point de vue.

Dans le périmètre de 5 à 10 km, le secteur A' est conservé car les éoliennes du projet en instruction avec avis d'AE de Ménesvillers sont visibles. Le secteur B' est réduit car seules trois éoliennes du parc construit de Blanc Mont sont ici visibles. Le secteur C' est conservé car toutes les éoliennes du projet accordé de Monsures et du parc construit de Belleuse sont visibles depuis ce point de vue. Le secteur D' est conservé car les éoliennes des parcs construits d'Hétomesnil et du Mont Moyen sont toutes visibles. Enfin, le secteur E' est réduit car le parc construit de Dameraucourt est masqué par le relief.

Le tableau de synthèse de l'étude d'encerclement théorique et réelle (fig. 249) indique donc logiquement une baisse du cumul angulaire entre le théorique et le réel, passant de 202° à 163°, soit une baisse de 39°. Le plus grand angle de respiration n'évolue pas et reste à 51°. L'indice de densité diminue.

L'étude d'encerclement théorique mettait en évidence un seuil d'alerte atteint pour les deux indicateurs importants (cumul angulaire et plus grand espace de respiration visuelle), ce que confirme l'étude d'encerclement réel depuis ce point de vue.

D'un point de vue plus sensible et paysager, l'encerclement est bien présent depuis ce point de vue, avec des éoliennes visibles tout autour de l'observateur, sur différents plans. Les projets de Corbillon Est et Ouest prennent place dans un paysage déjà encerclé depuis ce point de vue, et renforcent à peine cet effet en augmentant très légèrement le cumul angulaire mais sans réduire le plus grand espace de respiration visuelle disponible en prenant place dans une portion du paysage déjà occupée par l'éolien. En effet, elles sont visibles dans le même angle visuel que les éoliennes du parc construit du Chemin de l'Ormelet.



■ **Esquisse filaire plein cadre avec indexation du contexte - Champ visuel horizontal de l'image : 120°**



■ **Esquisse filaire plein cadre avec indexation du contexte - Champ visuel horizontal de l'image : 120°**



■ **Esquisse filaire plein cadre avec indexation du contexte - Champ visuel horizontal de l'image : 120°**



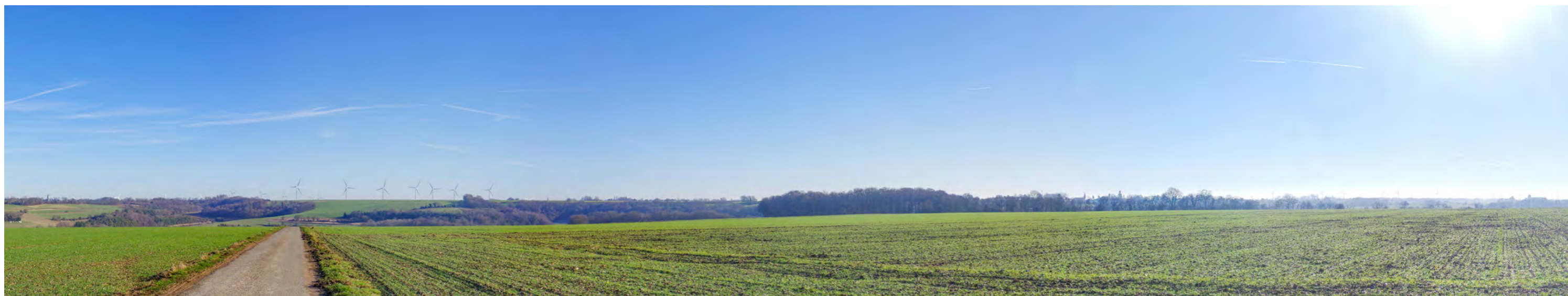
■ Vue réaliste plein cadre - Champ visuel horizontal de l'image : 120°



■ Vue réaliste plein cadre - Champ visuel horizontal de l'image : 120°



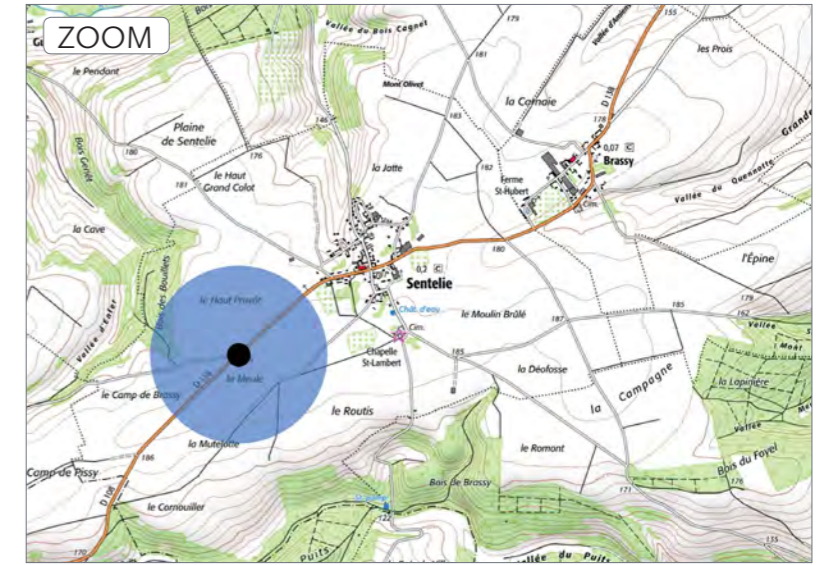
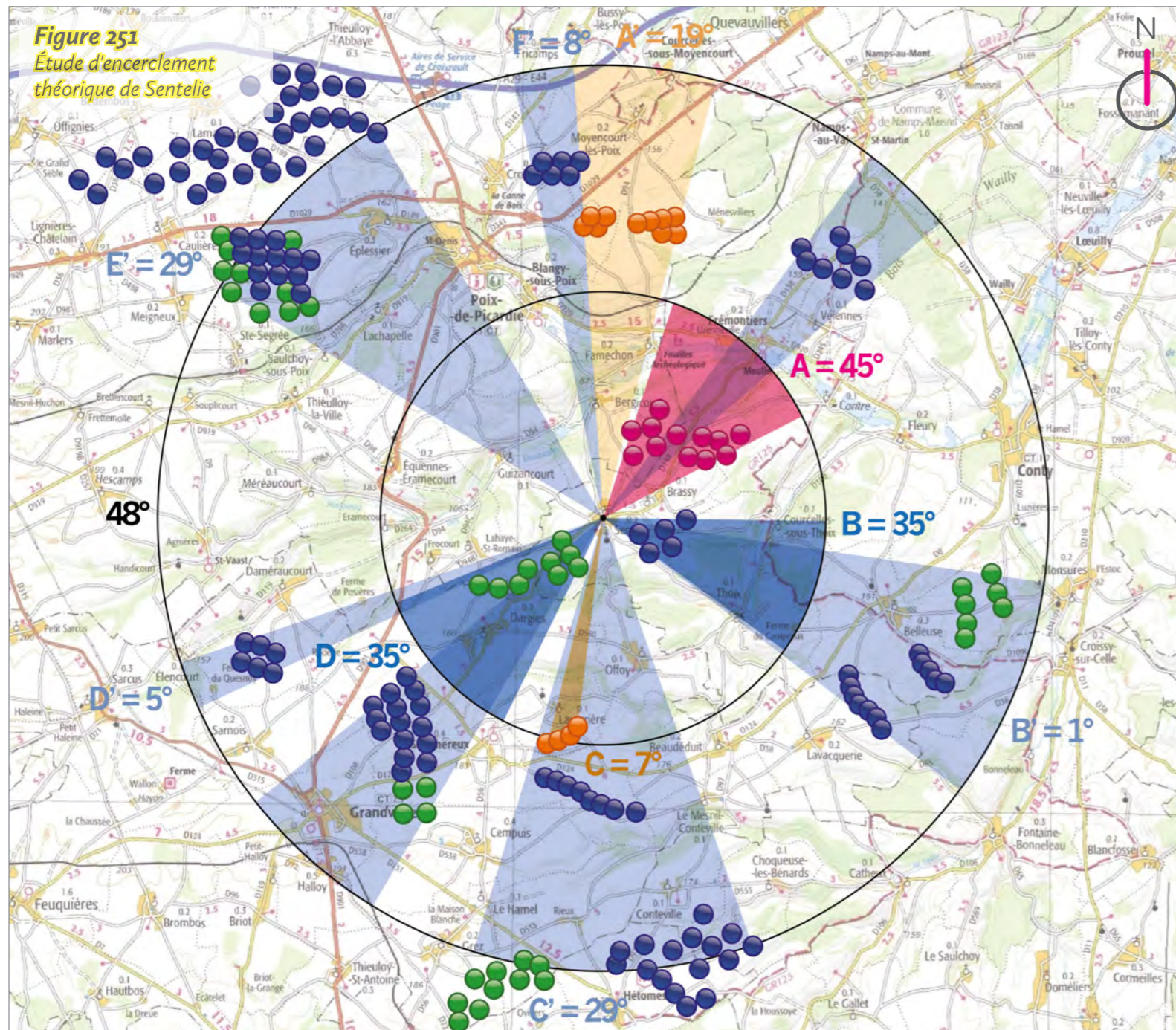
■ Vue réaliste plein cadre - Champ visuel horizontal de l'image : 120°



► **PDV 33** Sentelie : entrée est par la D 138

Date de prise de vue	Focale (équ. 24x36)	Latitude	Longitude	Altitude (NGF)
18/09/2019	Panoramique 360°	N 49°43'09,4"	E 02°00'55,9"	184 m
Distance à l'éolienne projetée la plus proche	Distance à l'éolienne projetée la plus éloignée	Nombre d'éoliennes des projets visibles	Lieu	
E1 : 2,4 km	E12 : 4,5 km	12	SENTELIE - Entrée est par la D 138	

Étude d'encerclement théorique



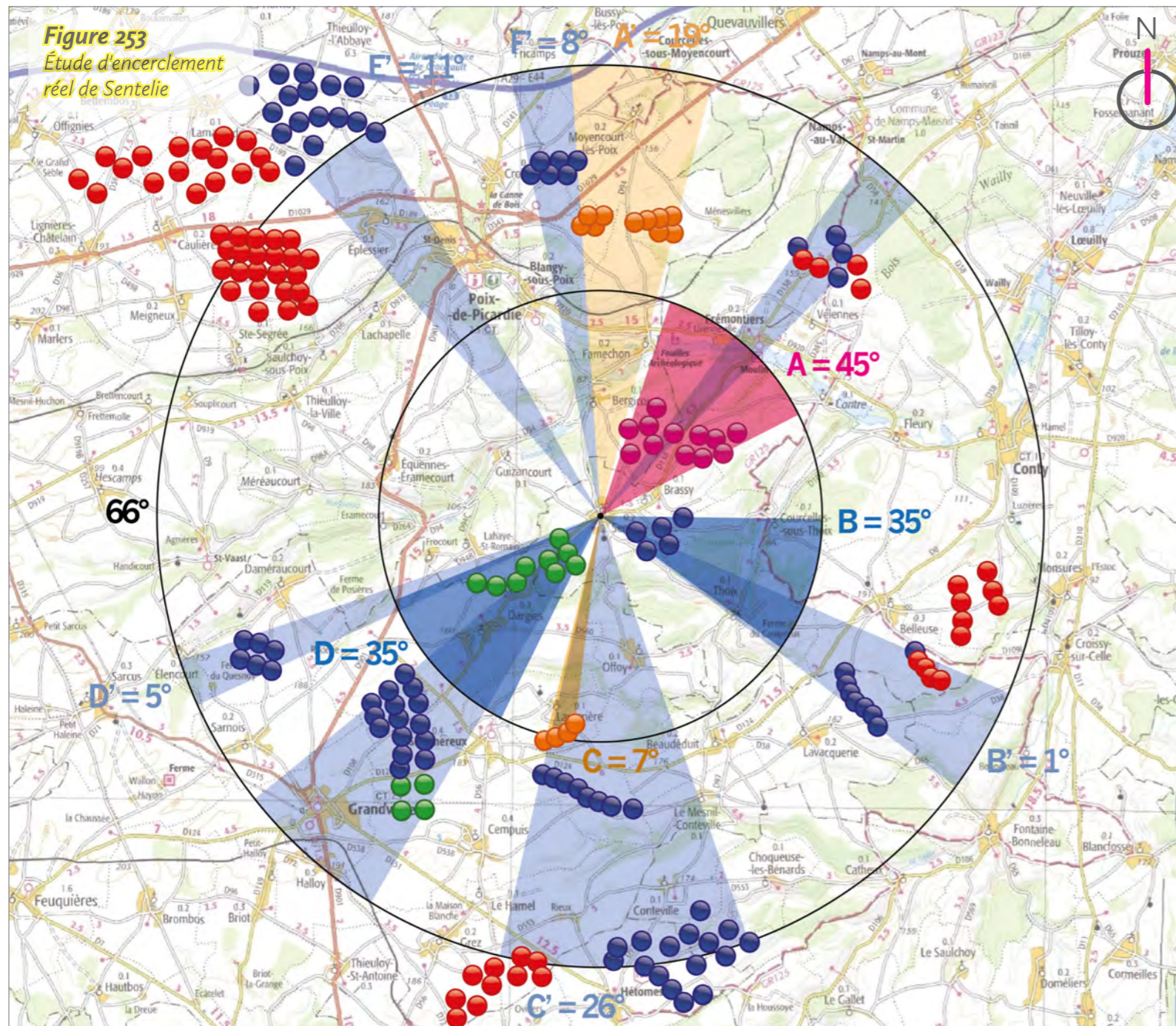
Commentaires

L'observateur se situe en entrée est de Sentelie, le long de la D 138, au niveau du croisement avec la route de Lahaye-Saint-Romain. Le paysage est ici très ouvert. Il correspond au plateau Picard, d'aspect tabulaire, occupé par de vastes cultures en openfield qui ouvrent les vues. Seules la silhouette urbaine de Sentelie et la végétation proche forment des filtres visuels importants.



Figure 252
Tableau de synthèse de l'étude d'encerclement théorique et réelle

Village étudié	Secteur angulaire du projet dans les 5 km	Indice de densité	Seuil d'alerte	Cumul angulaire	Seuil d'alerte	Plus grand espace de respiration	Seuil d'alerte
Sentelie théorique	45	0,14	Atteint	213	Atteint	48	Atteint
Sentelie réel	45	0,16	Atteint	192	Atteint	66	Atteint








Commentaires

Depuis l'entrée est de Sentelie, plusieurs parcs et projets éoliens sont masqués. Les éoliennes masquées, ou très peu incidentes, sont notées en rouge sur le diagramme ci-contre.

Dans le périmètre de 0 à 5 km, le **secteur A** est conservé car toutes les éoliennes des projets de Corbillon Est et Ouest sont visibles. Le **secteur B** est conservé car les éoliennes du parc du Chemin de l'Ormelet sont toutes visibles depuis ce point de vue. Le **secteur C** est conservé car les éoliennes du projet en instruction avec avis d'AE des Champs Saint-Pierre. Enfin, pour les mêmes raisons, le **secteur D** est conservé. **Il comprend les éoliennes des projets accordés du Cornouiller du Routis.**

Dans le périmètre de 5 à 10 km, le **secteur A' est conservé car les éoliennes du projet en instruction avec avis d'AE de Ménesvillers sont toutes visibles depuis ce point de vue.** Le **secteur B'** est conservé malgré le fait que plusieurs éoliennes du projet accordé de Monsures et du parc construit de Belleuse sont masquées par le relief et la végétation. **Le secteur C' est réduit car les éoliennes des parcs construits d'Hétomesnil et de Marendeuil sont visibles mais pas celles du projet accordé du Grez et Le Hamel.** Le **secteur D'** est conservé car les éoliennes du parc construit de Dameraucourt sont visibles depuis ce point de vue. **Le secteur E' est réduit** car les éoliennes du projet accordé du Fond du Moulin et des parcs construits d'Éplessier et de Cagneux sont masquées par la végétation. De plus, dans ce secteur, plusieurs éoliennes du parc construit du Fond Saint-Clément sont également masquées par ce même boisement. **Enfin, le secteur F' est conservé car les éoliennes du parc construit de Croixrault sont ici visibles.**

Le tableau de synthèse de l'étude d'encerclement théorique et réelle (*fig. 252*) indique donc logiquement une baisse du cumul angulaire entre le théorique et le réel, passant de **213° à 192°, soit une baisse de 21°.** Le plus grand angle de respiration augmente de 18°, passant de **48° à 66°.** **En revanche, l'indice de densité augmente.** L'étude d'encerclement théorique mettait en évidence un seuil d'alerte atteint pour le cumul angulaire, qui était supérieur au seuil d'alerte de 120°, mais également pour le plus grand espace de respiration, qui était inférieur au seuil d'alerte de **160°.** L'étude d'encerclement réel depuis ce point de vue montre une situation identique, avec les deux seuils d'alerte dépassés. Selon cette méthode d'encerclement, il y a donc un effet d'encerclement avéré. D'un point de vue qualitatif, il est vrai que la présence éolienne est significative depuis ce point de vue, avec des éoliennes visibles tout autour de l'observateur et sur plusieurs plans différents. L'effet d'encerclement est réel. Si les projets de Corbillon Est et Ouest participent à augmenter cet effet d'encerclement, ils prennent place dans un contexte éolien déjà très dense, et qui crée déjà un effet d'encerclement depuis ce point de vue. Les deux projets accentuent cet effet d'encerclement car ils prennent place dans un espace auparavant vierge d'éoliennes, contribuant à réduire le plus grand espace de respiration visuelle.

-  Les présents projets
-  Projet en service
-  Projet accordé
-  Projet en instruction avec avis de l'autorité environnementale
-  Projet en instruction sans avis de l'autorité environnementale

■ Esquisse filaire plein cadre avec indexation du contexte - Champ visuel horizontal de l'image : 120°



■ Esquisse filaire plein cadre avec indexation du contexte - Champ visuel horizontal de l'image : 120°



■ Esquisse filaire plein cadre avec indexation du contexte - Champ visuel horizontal de l'image : 120°



■ Vue réaliste plein cadre - Champ visuel horizontal de l'image : 120°



■ Vue réaliste plein cadre - Champ visuel horizontal de l'image : 120°



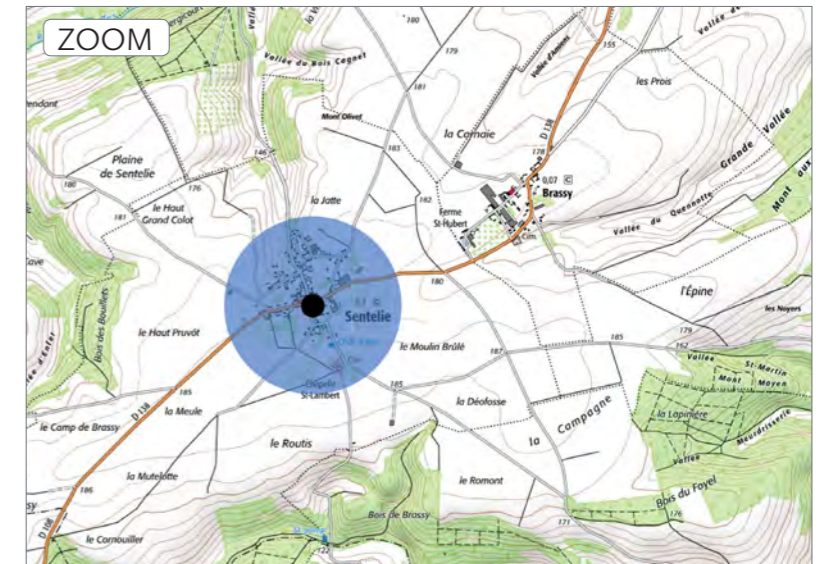
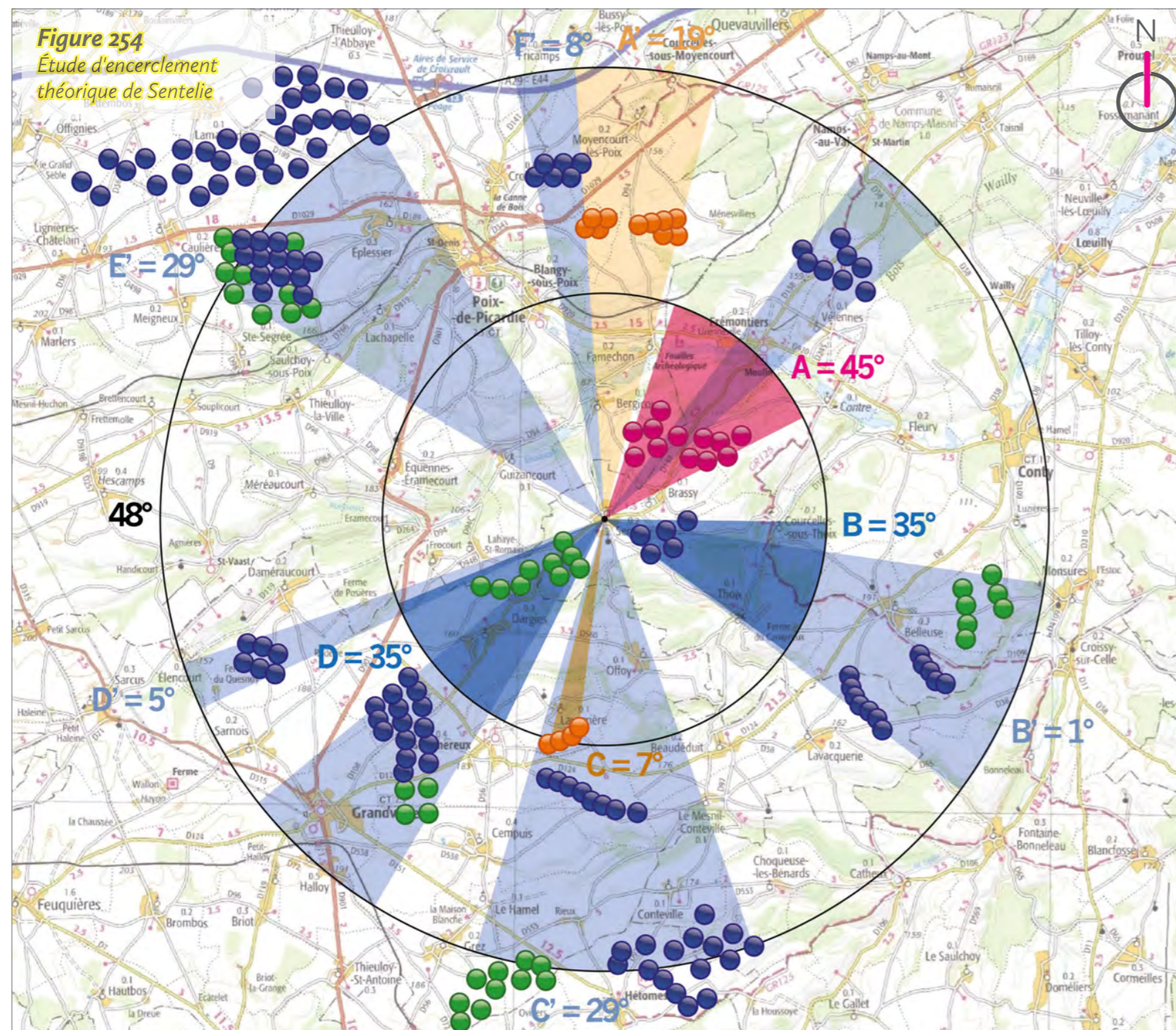
■ Vue réaliste plein cadre - Champ visuel horizontal de l'image : 120°



► **PDV 34** Sentelie : au croisement de la Grande rue et de la rue de Brassy

Date de prise de vue	Focale (équ. 24x36)	Latitude	Longitude	Altitude (NGF)
18/09/2019	Panoramique 360°	N 49°43'25,5"	E 02°01'36,0"	183 m
Distance à l'éolienne projetée la plus proche	Distance à l'éolienne projetée la plus éloignée	Nombre d'éoliennes des projets visibles	Lieu	
E1 : 1,6 km	E12 : 3,6 km	1	SENTELIE - Au croisement de la Grande rue et de la rue de Brassy	

Étude d'encerclement théorique



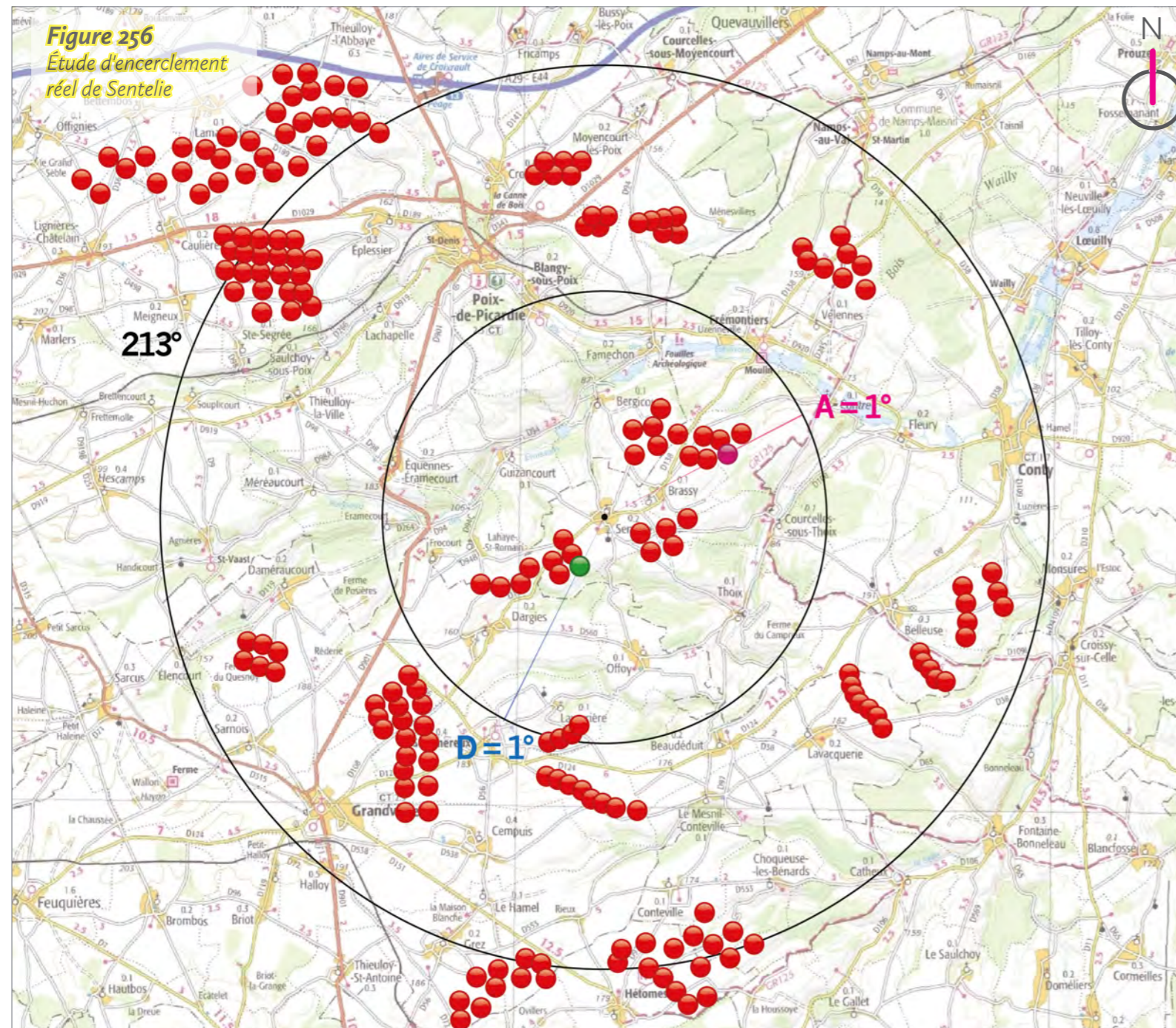
Commentaires

L'observateur se situe cette fois à l'intérieur du village de Sentelie, au niveau du croisement entre la Grande Rue et la Rue de Brassy, qui sont les deux routes principales de Sentelie. Les vues sont logiquement plus refermées, du fait du bâti et de la végétation du village.



Figure 255
Tableau de synthèse de l'étude d'encerclement théorique et réelle

Village étudié	Secteur angulaire du projet dans les 5 km	Indice de densité	Seuil d'alerte	Cumul angulaire	Seuil d'alerte	Plus grand espace de respiration	Seuil d'alerte
Sentelie théorique	45	0,14	Atteint	213	Atteint	48	Atteint
Sentelie réel	1	1,00	Atteint	2	En-dessous	213	En-dessous



Commentaires

Depuis le centre de Sentelie, plusieurs parcs et projets éoliens sont masqués. Les éoliennes masquées, ou très peu incidentes, sont notées en rouge sur le diagramme ci-contre.

Dans le périmètre de 0 à 5 km, le **secteur A** est fortement réduit car une seule éolienne du projet de Corbillon Est est visible depuis ce point de vue. Les autres éoliennes du projet de Corbillon Est sont masquées par le bâti, tout comme l'ensemble du projet de Corbillon Ouest. Les **secteurs B et C** sont supprimés car les éoliennes du parc construit du Chemin de l'Ormelet et du projet en instruction des Champs Saint-Pierre sont masquées par le bâti. Le **secteur D** est fortement réduit car **les éoliennes du projet accordé du Routis**, et cinq des six éoliennes du projet accordé du Cornouiller sont masquées par le bâti.

Dans le périmètre de 5 à 10 km, tous les secteurs sont supprimés car l'ensemble des éoliennes est masqué par le relief et le bâti.

Le tableau de synthèse de l'étude d'encerclement théorique et réelle (**fig. 255**) indique donc logiquement une baisse du cumul angulaire entre le théorique et le réel, passant de **213° à 2°**, soit **une baisse de 211°**. Le plus grand angle de respiration augmente de **165°, passant de 48° à 213°**. En revanche, l'indice de densité augmente. Cela est dû à une formule mathématique qui paraît donc peu pertinente. En effet, pour calculer l'indice de densité, c'est le rapport entre le nombre d'éoliennes dans le périmètre de 0 à 5 km sur le cumul angulaire. Cet indice est donc peu pertinent pris seul.

L'étude d'encerclement théorique mettait en évidence un seuil d'alerte atteint pour les deux indicateurs importants (cumul angulaire et plus grand espace de respiration visuelle). Le cumul angulaire, qui était supérieur au seuil d'alerte de 120°, n'est plus atteint selon l'étude d'encerclement réel depuis ce point de vue. Il en est de même avec le plus grand espace de respiration visuelle, qui repasse sous le seuil d'alerte de **160°**. Ainsi, le risque d'effet d'encerclement que mettait en évidence l'étude d'encerclement théorique n'existe pas d'après l'étude d'encerclement réel.

Les présents projets Projet en service Projet accordé Projet en instruction avec avis de l'autorité environnementale Projet en instruction sans avis de l'autorité environnementale

■ Esquisse filaire plein cadre avec indexation du contexte - Champ visuel horizontal de l'image : 120°



■ Esquisse filaire plein cadre avec indexation du contexte - Champ visuel horizontal de l'image : 120°



■ Esquisse filaire plein cadre avec indexation du contexte - Champ visuel horizontal de l'image : 120°



■ Vue réaliste plein cadre - Champ visuel horizontal de l'image : 120°



■ Vue réaliste plein cadre - Champ visuel horizontal de l'image : 120°



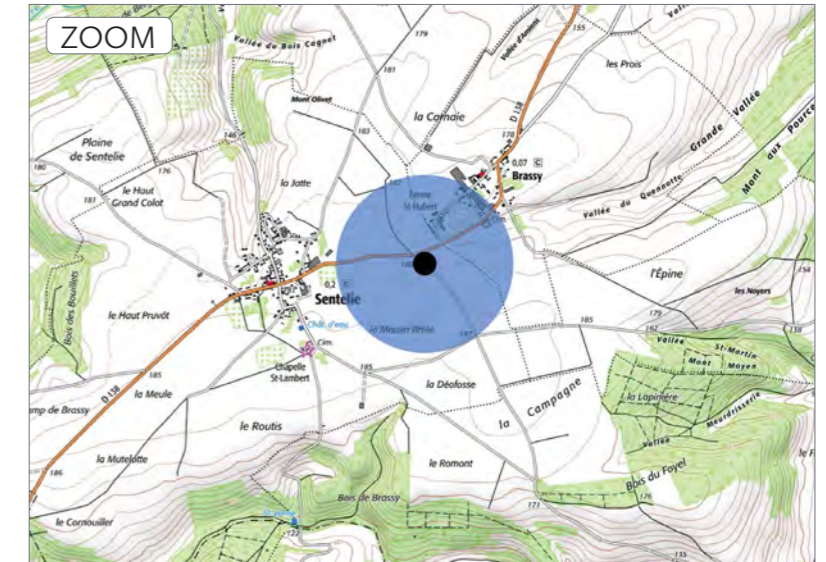
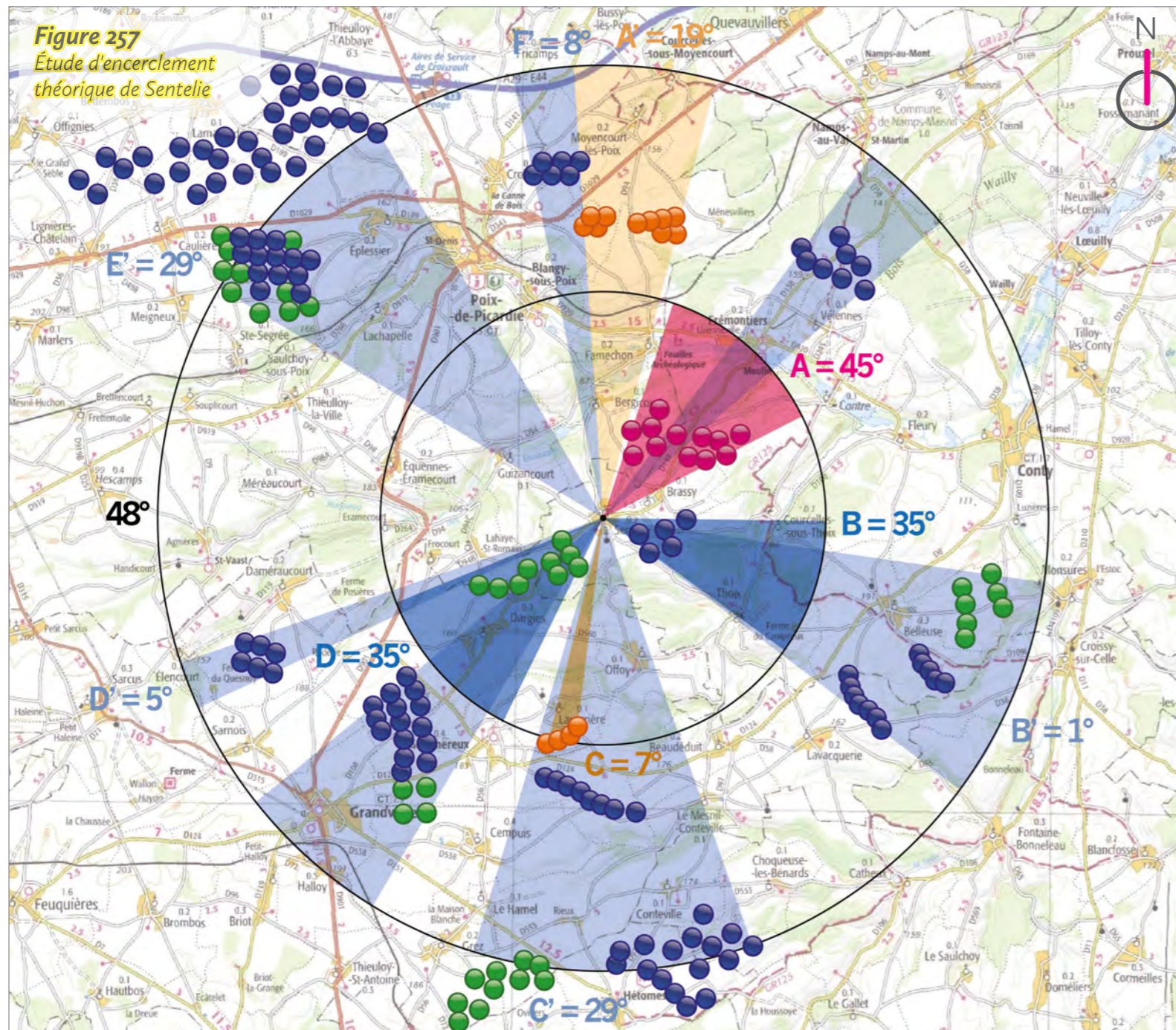
■ Vue réaliste plein cadre - Champ visuel horizontal de l'image : 120°



► **PDV 35 Sentelie** : sortie ouest par la D 138

Date de prise de vue	Focale (équ. 24x36)	Latitude	Longitude	Altitude (NGF)
18/09/2019	Panoramique 360°	N 49°43'30,6"	E 02°02'18,4"	179 m
Distance à l'éolienne projetée la plus proche	Distance à l'éolienne projetée la plus éloignée	Nombre d'éoliennes des projets visibles	Lieu	
E1 : 1,3 km	E12 : 2,8 km	10	SENTELIE - Sortie ouest par la D 138	

Étude d'encerclement théorique



Commentaires

L'observateur se situe à l'ouest de Sentelie, le long de la D 138, vers Brassy. Les vues sont très ouvertes car l'observateur se trouve cette fois sur le plateau Picard proche du site des projets, et plus dans le fond de la vallée des Évoissons.

Les seuls filtres visuels sont les deux silhouettes urbaines des villages de Sentelie et Brassy. Ailleurs, le plateau d'aspect tabulaire, dépourvu de boisements, offre des vues lointaines et profondes.

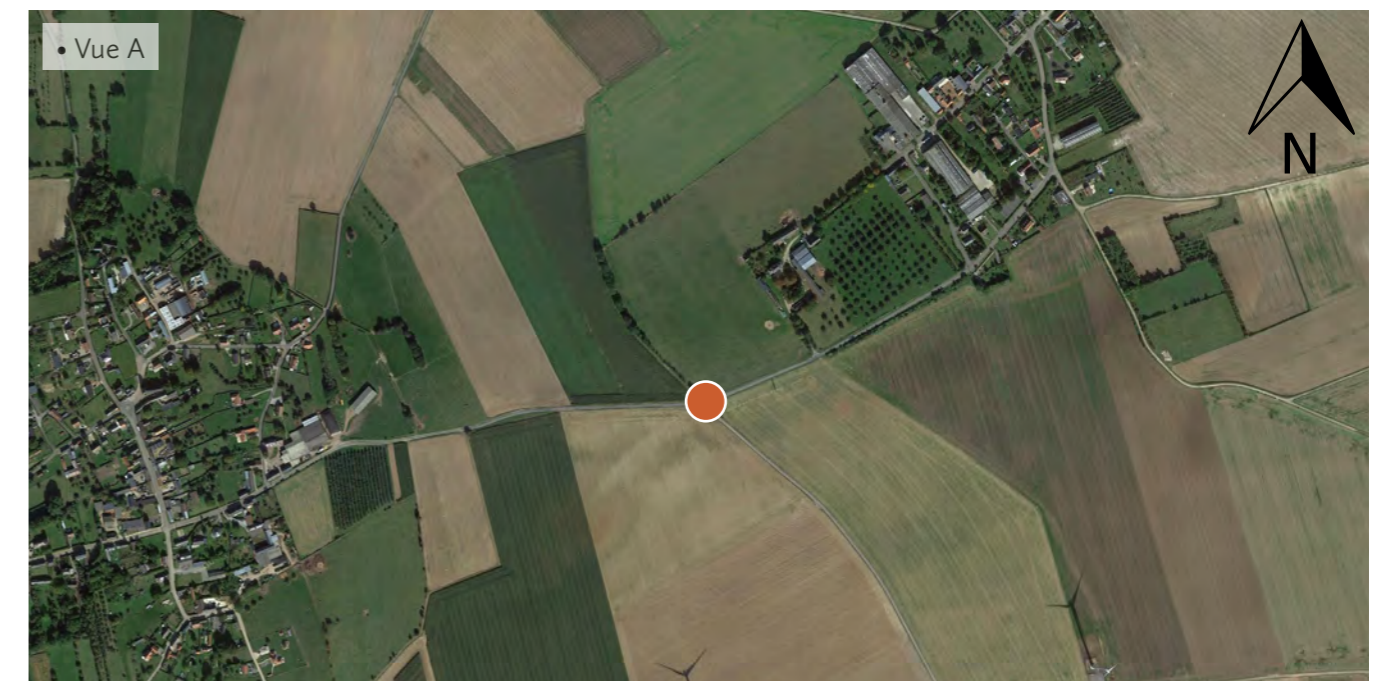
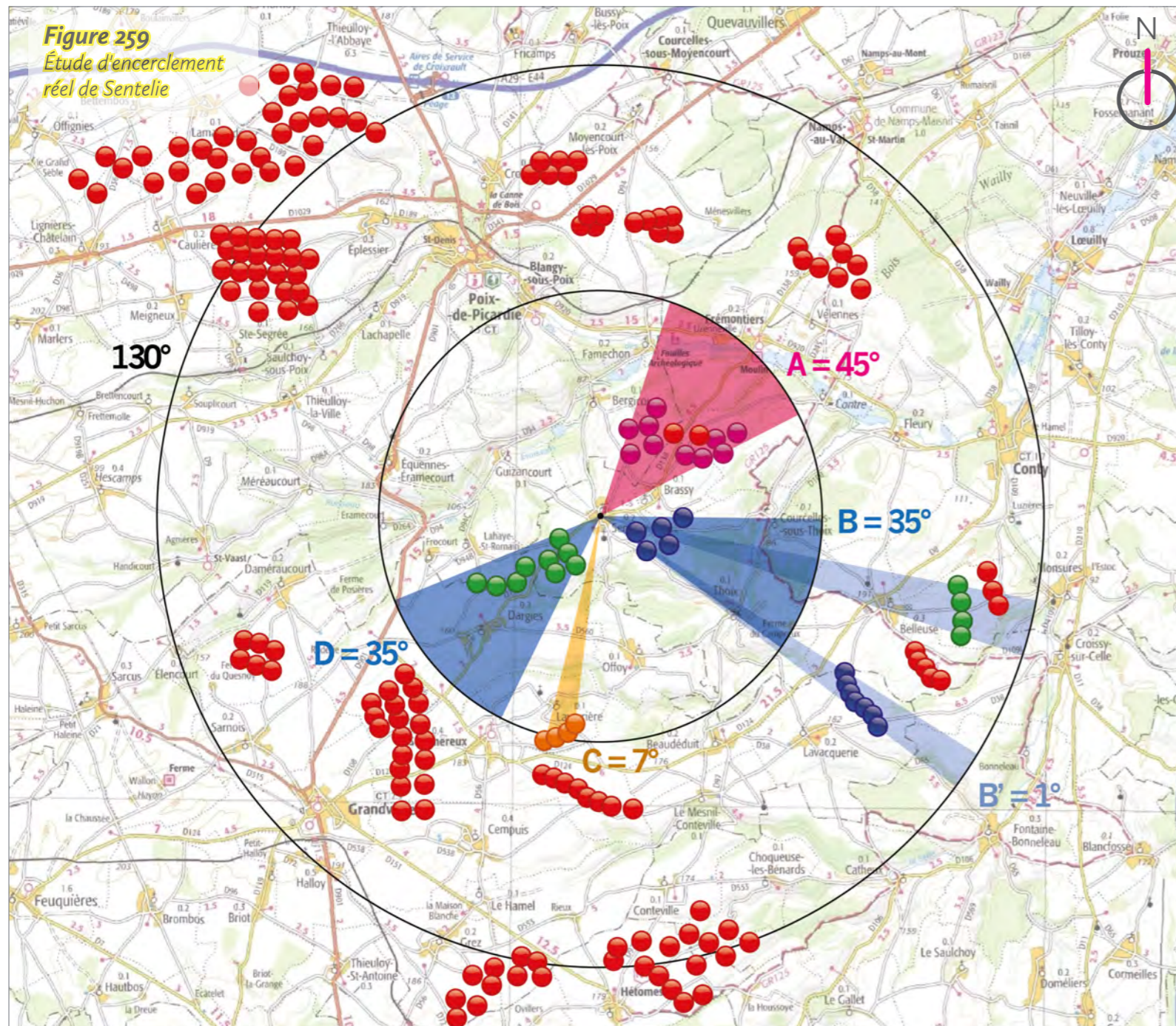


Figure 258
Tableau de synthèse de l'étude d'encerclement théorique et réelle

Village étudié	Secteur angulaire du projet dans les 5 km	Indice de densité	Seuil d'alerte	Cumul angulaire	Seuil d'alerte	Plus grand espace de respiration	Seuil d'alerte
Sentelie théorique	45	0,14	Atteint	213	Atteint	48	Atteint
Sentelie réel	45	0,23	Atteint	123	Atteint	130	Atteint



Commentaires

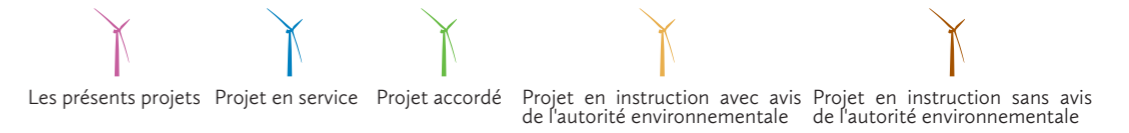
Depuis la sortie ouest de Sentelie, plusieurs parcs et projets éoliens sont masqués. Les éoliennes masquées, ou très peu incidentes, sont notées en rouge sur le diagramme ci-contre.

Dans le périmètre de 0 à 5 km, le secteur A est conservé malgré le masquage des éoliennes E6 et E9 du projet de Corbillon Est. Le secteur B est conservé car les éoliennes du parc de Chemin de l'Ormelet sont toutes visibles depuis ce point de vue. Le secteur C est conservé car le projet en instruction avec avis d'AE du Champs Saint Pierre est entièrement visible. Enfin, pour les mêmes raisons, le secteur D est conservé. Il comprend les éoliennes des projets accordés du Cornouiller et du Routis.

Dans le périmètre de 5 à 10 km, le secteur A' est supprimé car les éoliennes du projet en instruction avec avis d'AE de Ménesvillers sont masquées par le relief et la végétation. Le secteur B' est conservé malgré le masquage de trois éoliennes du projet accordé de Monsures et des éoliennes du parc de Belleuse par l'effet conjoint du relief et de la végétation car le parc construit de Lavacquerie est visible. Enfin, les secteurs C', D', E' et F' sont supprimés car les éoliennes des parcs et projets correspondants sont toutes masquées depuis ce point de vue.

Le tableau de synthèse de l'étude d'encerclement théorique et réelle (fig. 258) indique donc logiquement une baisse du cumul angulaire entre le théorique et le réel, passant de 213° à 123°, soit une baisse de 90°. Le plus grand angle de respiration augmente de 82°, passant de 48° à 130°. En revanche, l'indice de densité augmente. Cela est dû à une formule mathématique qui paraît donc peu pertinente. En effet, pour calculer l'indice de densité, c'est le rapport entre le nombre d'éoliennes dans le périmètre de 0 à 5 km sur le cumul angulaire. Cet indice est donc peu pertinent pris seul.

L'étude d'encerclement théorique mettait en évidence un seuil d'alerte atteint pour le cumul angulaire, qui était supérieur au seuil d'alerte de 120°, mais également pour le plus grand espace de respiration, qui était inférieur au seuil d'alerte de 160°. L'étude d'encerclement réel depuis ce point de vue montre une situation identique, avec les deux seuils d'alerte dépassés. Toutefois, la valeur du cumul angulaire est proche du seuil d'alerte. D'un point de vue qualitatif, il est vrai que la présence éolienne est significative depuis ce point de vue, avec des éoliennes visibles tout autour de l'observateur et sur plusieurs plans différents. L'effet d'encerclement est réel. Si les projets de Corbillon Est et Ouest participent à augmenter cet effet d'encerclement, ils prennent place dans un contexte éolien déjà très dense, et qui crée déjà un effet d'encerclement depuis ce point de vue. Les deux projets accentuent cet effet d'encerclement car ils prennent place dans un espace auparavant vierge d'éoliennes, contribuant à réduire le plus grand espace de respiration visuelle.



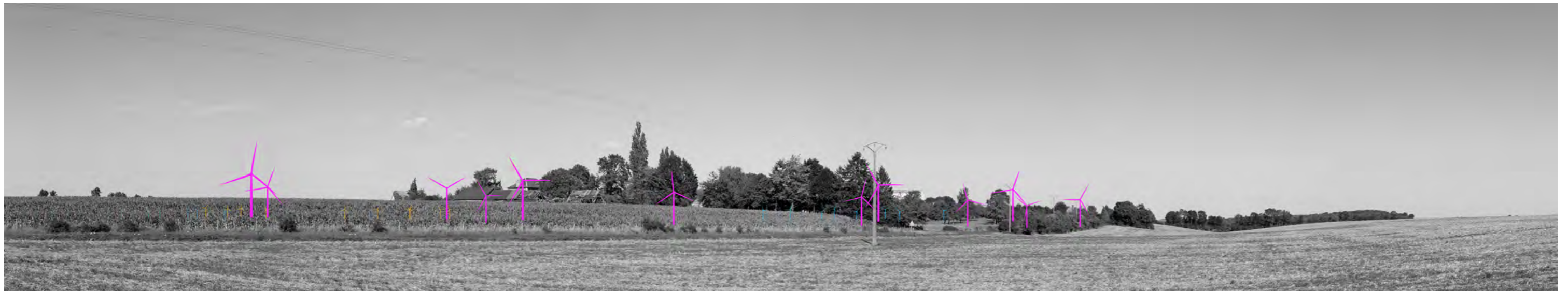
■ **Esquisse filaire plein cadre avec indexation du contexte - Champ visuel horizontal de l'image : 120°**



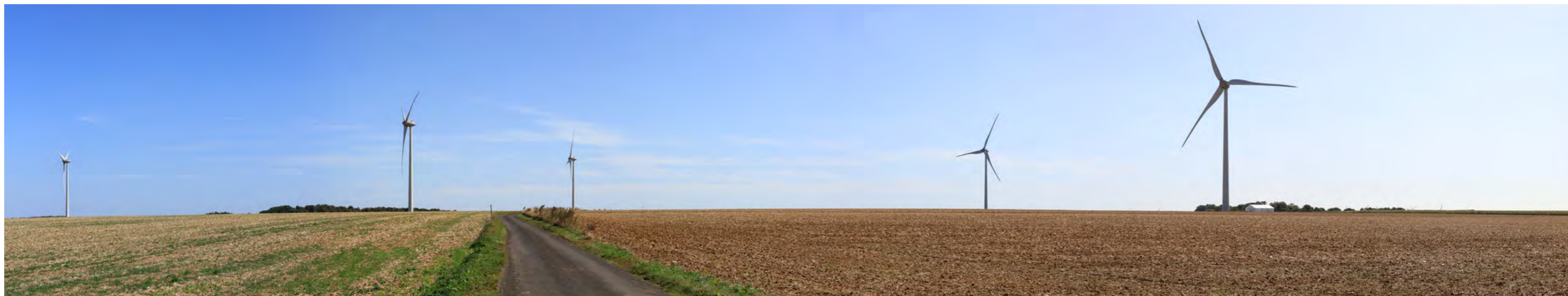
■ **Esquisse filaire plein cadre avec indexation du contexte - Champ visuel horizontal de l'image : 120°**



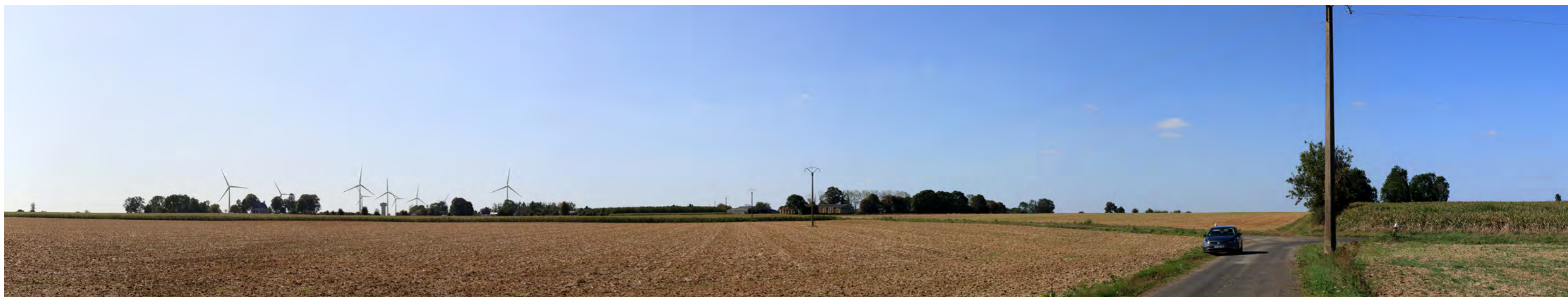
■ **Esquisse filaire plein cadre avec indexation du contexte - Champ visuel horizontal de l'image : 120°**



■ Vue réaliste plein cadre - Champ visuel horizontal de l'image : 120°



■ Vue réaliste plein cadre - Champ visuel horizontal de l'image : 120°



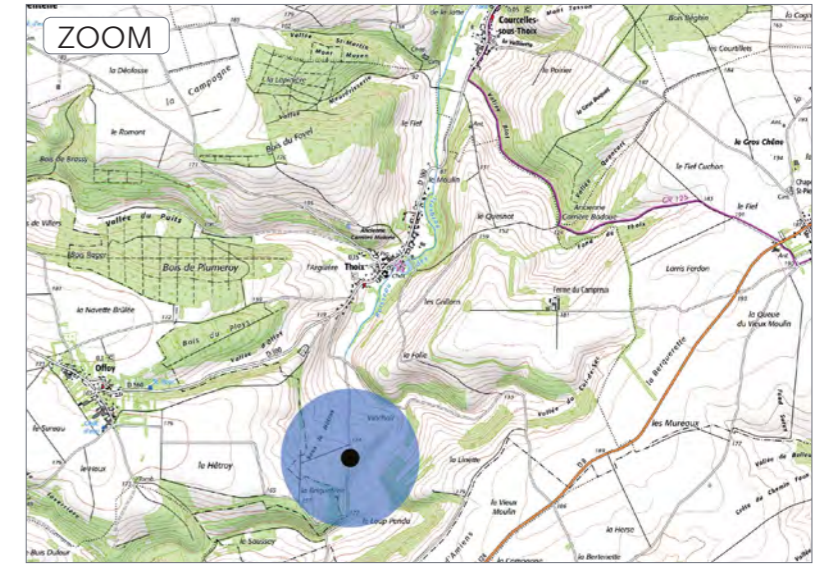
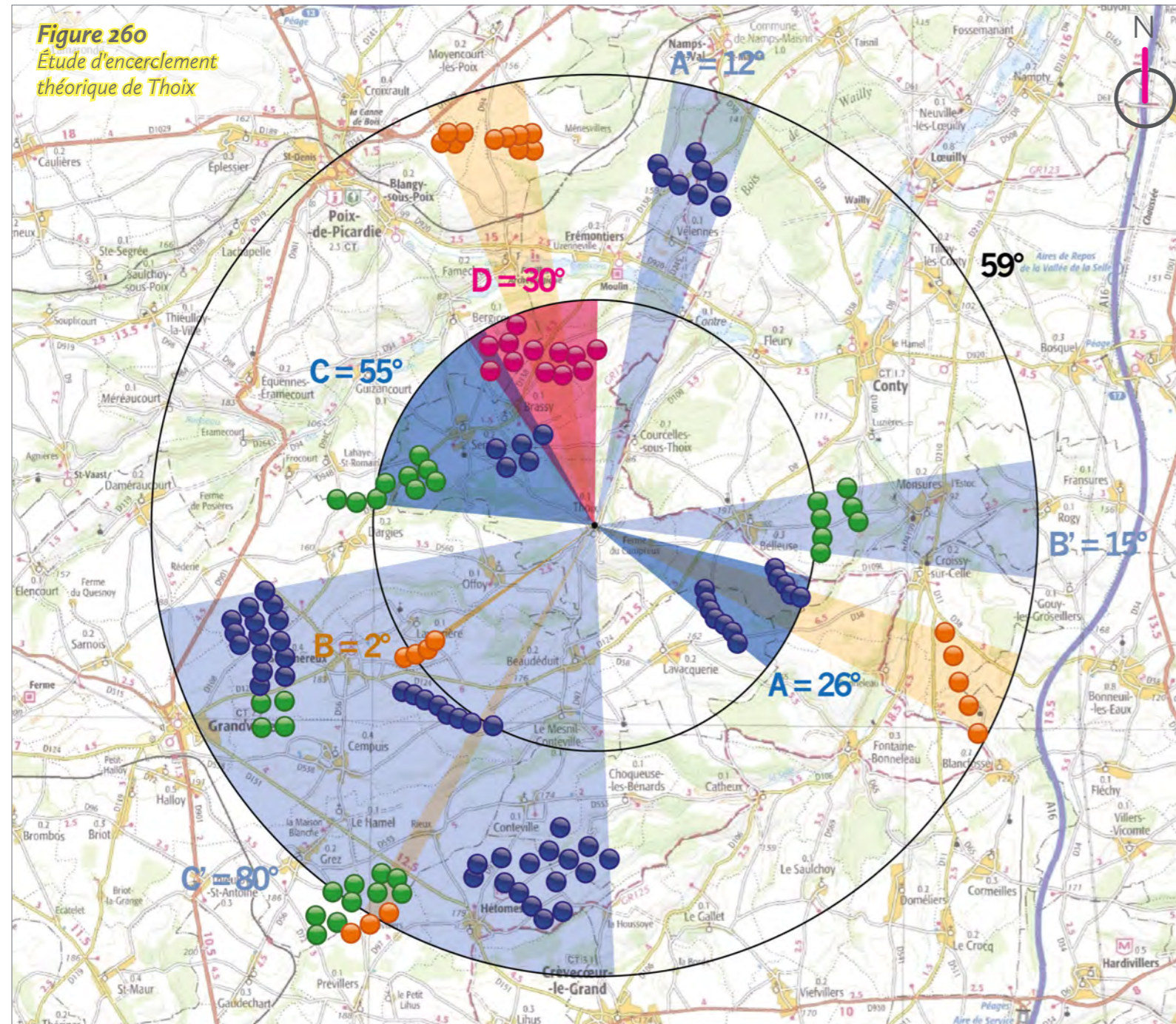
■ Vue réaliste plein cadre - Champ visuel horizontal de l'image : 120°



► **PDV 36 Thoix : au sud par la route de Beaudéduit**

Date de prise de vue	Focale (équ. 24x36)	Latitude	Longitude	Altitude (NGF)
14/01/2022	Panoramique 360°	N 49°41'32,0"	E 02°03'53,7"	127 m
Distance à l'éolienne projetée la plus proche	Distance à l'éolienne projetée la plus éloignée	Nombre d'éoliennes des projets visibles	Lieu	
E8 : 4,9 km	E5 : 6,1 km	7	THOIX - Au sud par la route de Beaudéduit	

Étude d'encerclement théorique



Commentaires

L'observateur se situe au sud du village de Thoix, le long d'une route locale en provenance de Beaudéduit. Les vues sont limitées par les reliefs alentour liés à la vallée des Parquets.

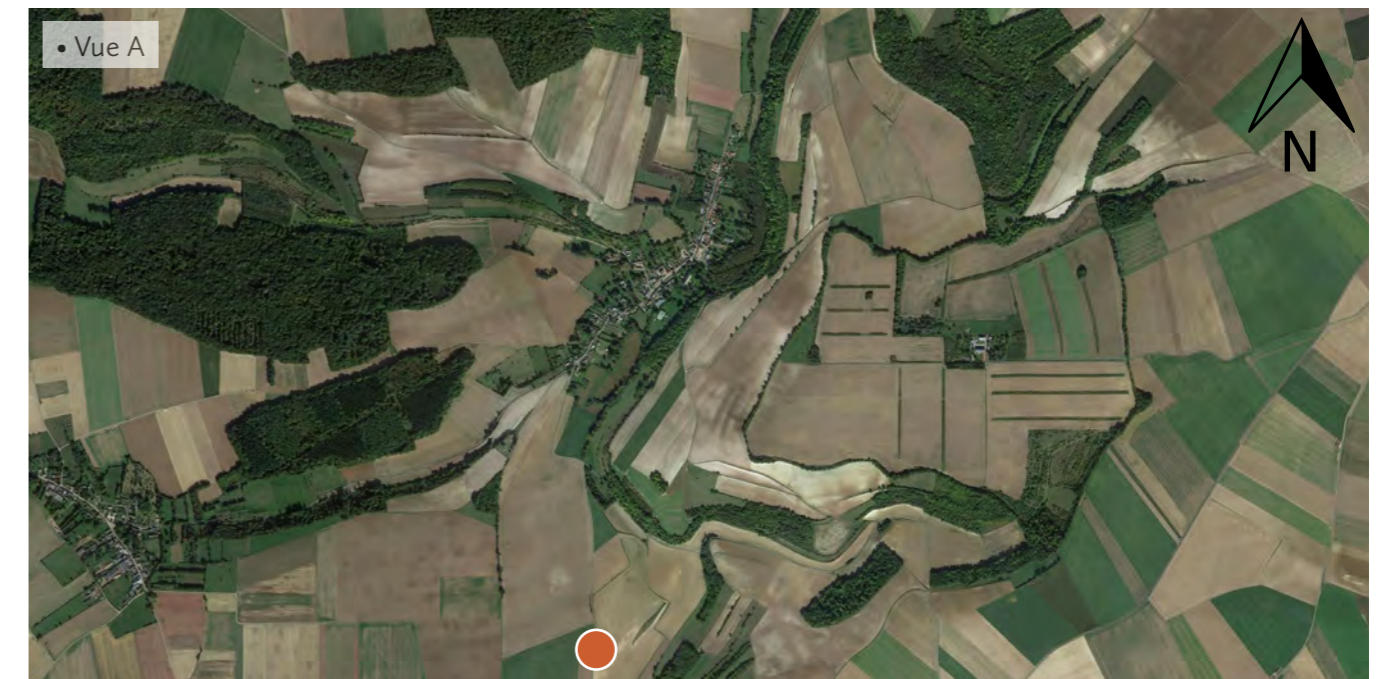
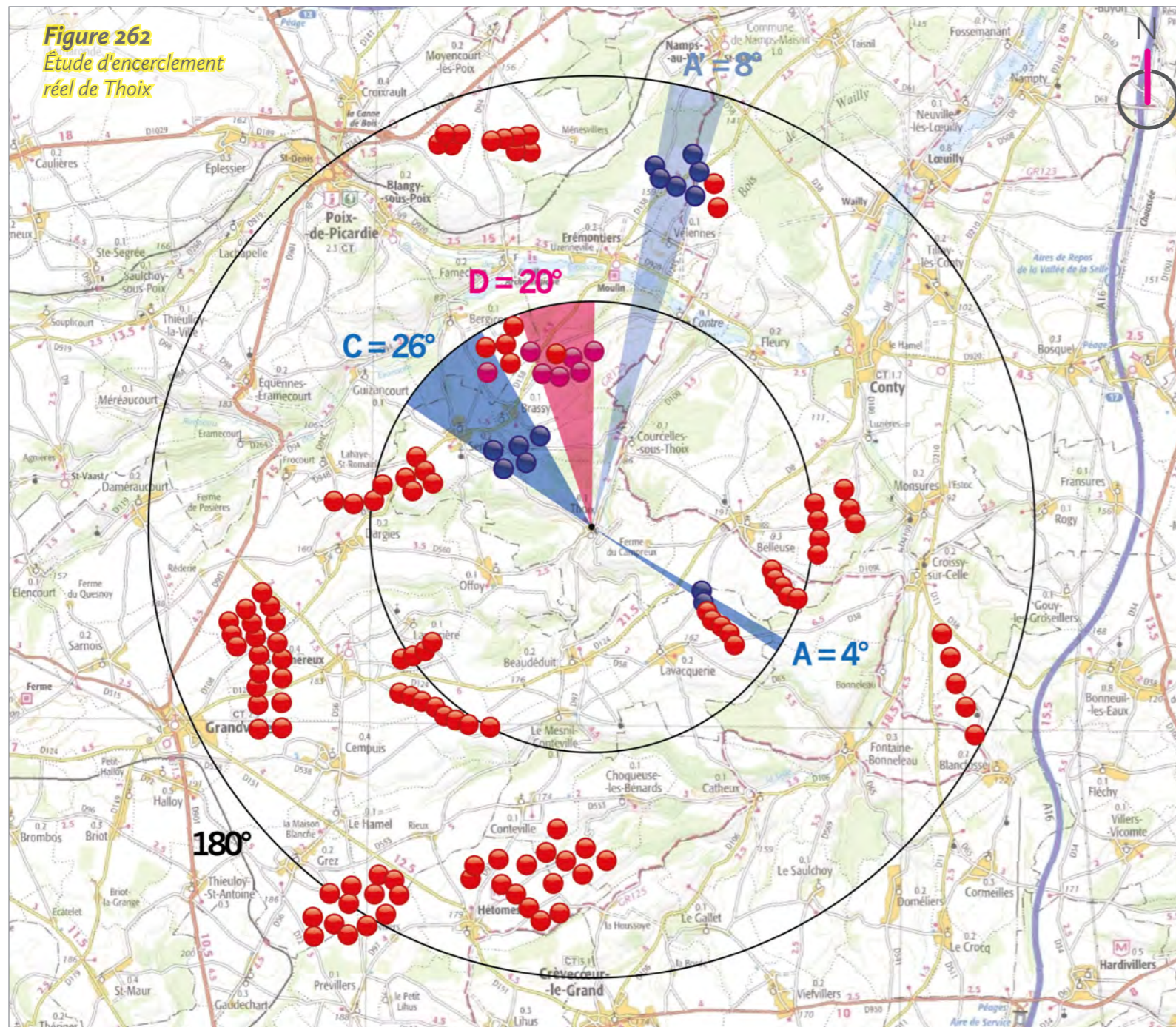


Figure 261
Tableau de synthèse de l'étude d'encerclement théorique et réelle

Village étudié	Secteur angulaire du projet dans les 5 km	Indice de densité	Seuil d'alerte	Cumul angulaire	Seuil d'alerte	Plus grand espace de respiration	Seuil d'alerte
Thoix théorique	30	0,22	Atteint	220	Atteint	59	Atteint
Thoix réel	20	0,24	Atteint	58	En-dessous	180	En-dessous



Commentaires

Depuis l'entrée sud de Thoix, plusieurs parcs et projets éoliens sont masqués. Les éoliennes masquées, ou très peu incidentes, sont notées en rouge sur le diagramme ci-contre.

Dans le périmètre de 0 à 5 km, le secteur A est réduit car seules deux éoliennes du parc construit de Lavacquerie sont visibles. Le secteur B est supprimé car les éoliennes du projet en instruction avec avis d'AE de Champs Saint Pierre sont masquées par le relief. Le secteur C est réduit car les projets accordés du Routis et du Cornouiller sont masqués par le relief. Enfin, le secteur D est également réduit car des éoliennes des projets de Corbillon Est et Ouest sont masquées par l'effet conjoint du relief et de la végétation.

Dans le périmètre de 5 à 10 km, toutes les éoliennes sont masquées et leurs secteurs supprimés à l'exception de quelques éoliennes du parc construit de Blanc Mont qui entraînent une réduction du secteur A.

Le tableau de synthèse de l'étude d'encerclement théorique et réelle (fig. 261) indique donc logiquement une baisse du cumul angulaire entre le théorique et le réel, passant de 220° à 58°, soit une baisse de 162°. Le plus grand angle de respiration augmente de 121°, passant de 59° à 180°. En revanche, l'indice de densité augmente. Cela est dû à une formule mathématique qui paraît donc peu pertinente. En effet, pour calculer l'indice de densité, c'est le rapport entre le nombre d'éoliennes dans le périmètre de 0 à 5 km sur le cumul angulaire. Cet indice est donc peu pertinent pris seul.

L'étude d'encerclement théorique mettait en évidence un seuil d'alerte atteint pour les deux indicateurs importants (cumul angulaire et plus grand espace de respiration visuelle). Le cumul angulaire, qui était supérieur au seuil d'alerte de 120°, n'est plus atteint selon l'étude d'encerclement réel depuis ce point de vue. Il en est de même avec le plus grand espace de respiration visuelle, qui repasse sous le seuil d'alerte de 160°. Ainsi, le risque d'effet d'encerclement que mettait en évidence l'étude d'encerclement théorique n'existe pas d'après l'étude d'encerclement réel.



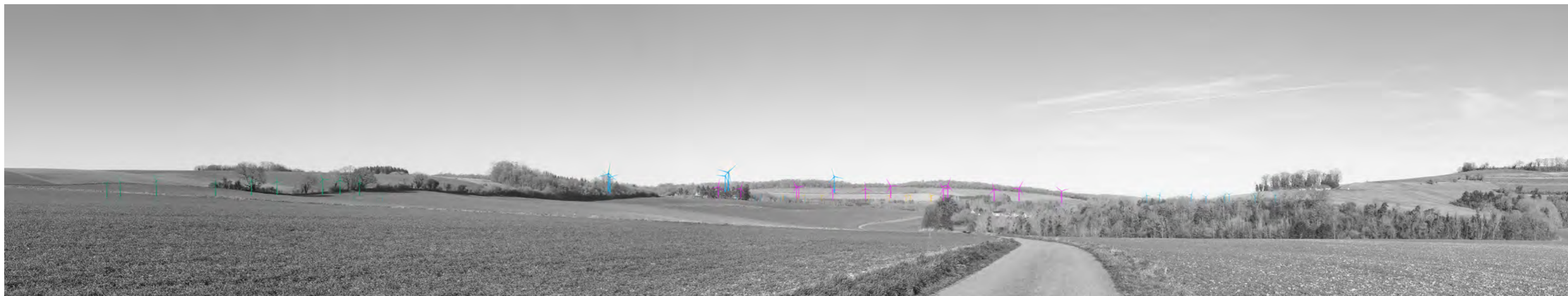
■ **Esquisse filaire plein cadre avec indexation du contexte - Champ visuel horizontal de l'image : 120°**



■ **Esquisse filaire plein cadre avec indexation du contexte - Champ visuel horizontal de l'image : 120°**



■ **Esquisse filaire plein cadre avec indexation du contexte - Champ visuel horizontal de l'image : 120°**



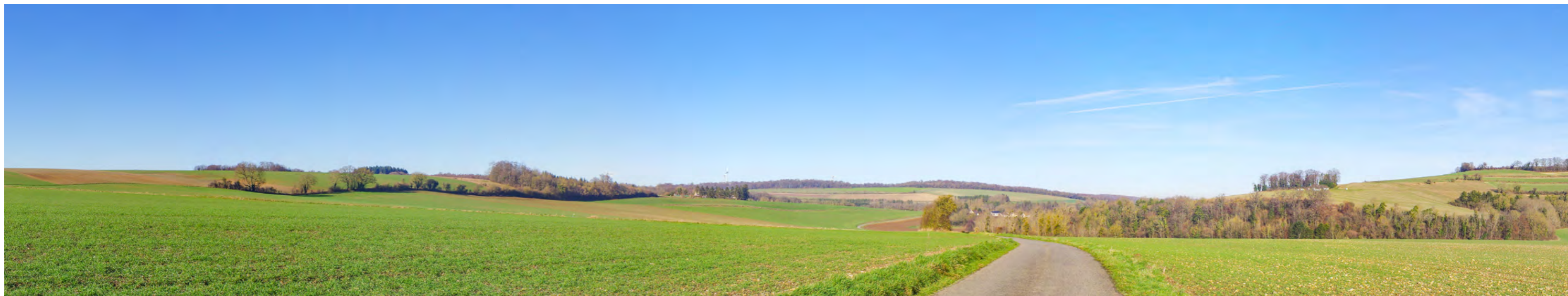
■ Vue réaliste plein cadre - Champ visuel horizontal de l'image : 120°



■ Vue réaliste plein cadre - Champ visuel horizontal de l'image : 120°



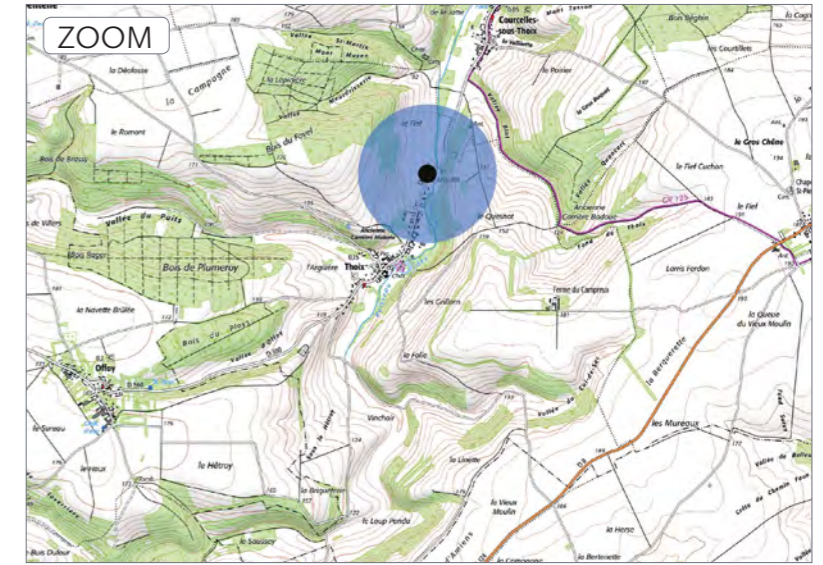
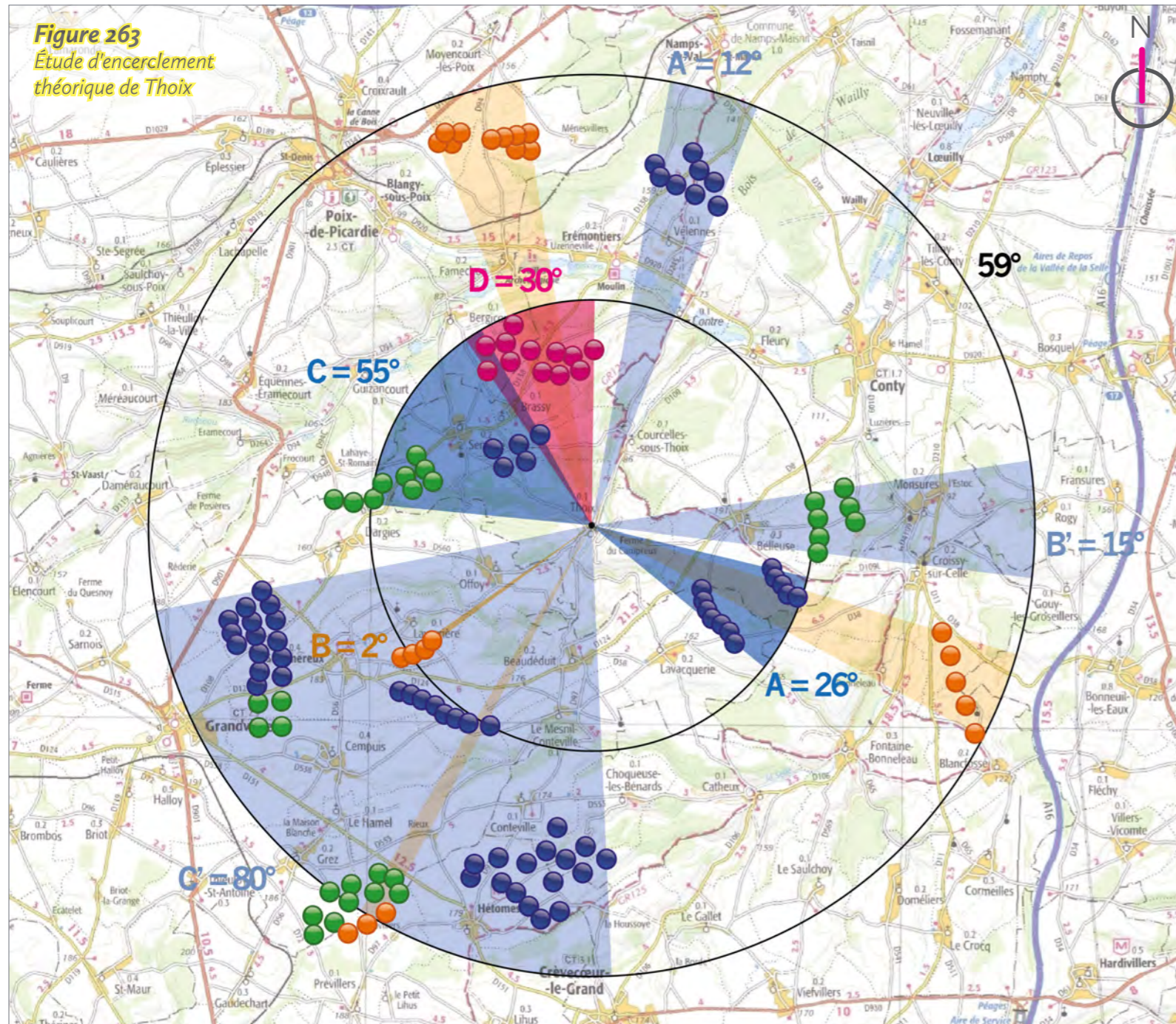
■ Vue réaliste plein cadre - Champ visuel horizontal de l'image : 120°



► PDV 37 Thois : au nord par la rue du Moulin

Date de prise de vue	Focale (équ. 24x36)	Latitude	Longitude	Altitude (NGF)
14/01/2022	Panoramique 360°	N 49°42'42,5"	E 02°04'21,9"	86 m
Distance à l'éolienne projetée la plus proche	Distance à l'éolienne projetée la plus éloignée	Nombre d'éoliennes des projets visibles	Lieu	
E10 : 2,8 km	E5 : 4,3 km	2	THOIX - Au nord par la Rue du Moulin	

Étude d'encerclement théorique



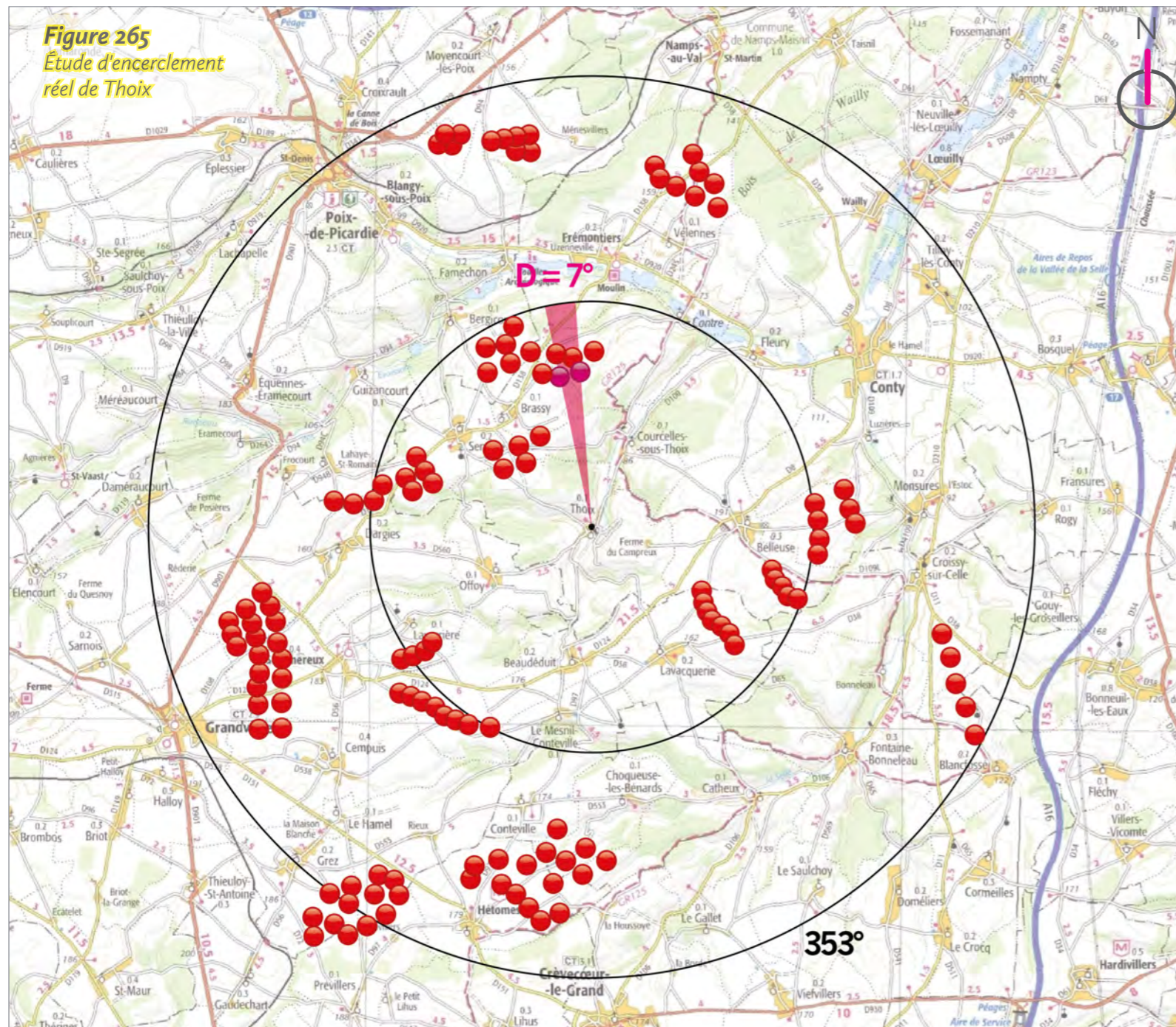
Commentaires

L'observateur se situe cette fois au nord du village de Thois, le long d'une route locale en direction de Courcelles-sous-Thois. Les vues sont limitées par les reliefs alentour liés à la vallée des Parquets.



Figure 264
Tableau de synthèse de l'étude d'encerclement théorique et réelle

Village étudié	Secteur angulaire du projet dans les 5 km	Indice de densité	Seuil d'alerte	Cumul angulaire	Seuil d'alerte	Plus grand espace de respiration	Seuil d'alerte
Thoix théorique	30	0,22	Atteint	220	Atteint	59	Atteint
Thoix réel	7	0,29	Atteint	7	En-dessous	353	En-dessous



Commentaires

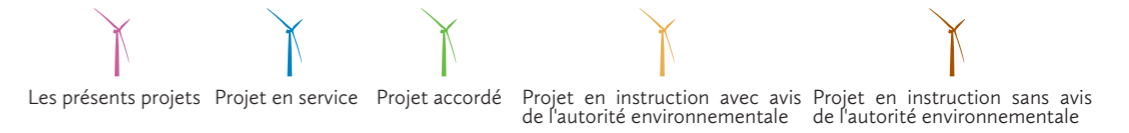
Depuis la sortie nord de Thoix, plusieurs parcs et projets éoliens sont masqués. Les éoliennes masquées, ou très peu incidentes, sont notées en rouge sur le diagramme ci-contre.

Dans le périmètre de 0 à 5 km, toutes les éoliennes sont masquées et leurs secteurs supprimés à l'exception de deux éoliennes (E 8 et E 10) du projet de Corbillon Est pour le secteur D.

Dans le périmètre de 5 à 10 km, tous les secteurs sont supprimés car l'ensemble des éoliennes est masqué.

Le tableau de synthèse de l'étude d'encerclement théorique et réelle (fig. 264) indique donc logiquement une baisse du cumul angulaire entre le théorique et le réel, passant de 220° à 7°, soit une baisse de 213°. Le plus grand angle de respiration augmente de 294°, passant de 59° à 353°. En revanche, l'indice de densité augmente. Cela est dû à une formule mathématique qui paraît donc peu pertinente. En effet, pour calculer l'indice de densité, c'est le rapport entre le nombre d'éoliennes dans le périmètre de 0 à 5 km sur le cumul angulaire. Cet indice est donc peu pertinent pris seul.

L'étude d'encerclement théorique mettait en évidence un seuil d'alerte atteint pour les deux indicateurs importants (cumul angulaire et plus grand espace de respiration visuelle). Le cumul angulaire, qui était supérieur au seuil d'alerte de 120°, n'est plus atteint selon l'étude d'encerclement réel depuis ce point de vue. Il en est de même avec le plus grand espace de respiration visuelle, qui repasse sous le seuil d'alerte de 160°. Ainsi, le risque d'effet d'encerclement que mettait en évidence l'étude d'encerclement théorique n'existe pas d'après l'étude d'encerclement réel.



■ **Esquisse filaire plein cadre avec indexation du contexte - Champ visuel horizontal de l'image : 120°**



■ **Esquisse filaire plein cadre avec indexation du contexte - Champ visuel horizontal de l'image : 120°**



■ **Esquisse filaire plein cadre avec indexation du contexte - Champ visuel horizontal de l'image : 120°**



■ Vue réaliste plein cadre - Champ visuel horizontal de l'image : 120°



■ Vue réaliste plein cadre - Champ visuel horizontal de l'image : 120°



■ Vue réaliste plein cadre - Champ visuel horizontal de l'image : 120°

